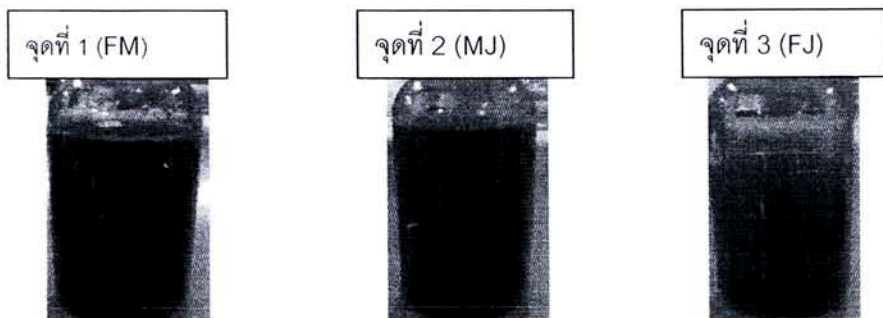


บทที่ 4

ผลการวิจัย

ชนิดและปริมาณของจุลินทรีย์ปนเปื้อนในกระบวนการผลิตน้ำตาลทราย

ผลการทดลองพบว่าตัวอย่างน้ำอ้อยจากห้อง 3 จุด คือ FM MJ และ FJ มีค่าพีเอชไม่แตกต่างกัน (5.2) และมีปริมาณของแบคทีเรียที่ละลายน้ำได้ทั้งหมดเท่ากับ 20 14.6 และ 14.8 ของศากบิกริช ตามลำดับ โดยน้ำอ้อย FM มีลักษณะน้ำขุ่นสีดำมีตะกอนมาก ส่วนน้ำอ้อย MJ ใสกว่าน้ำอ้อย FM เล็กน้อยมีสีออกน้ำตาลเข้ม ส่วนน้ำอ้อย FJ ใสที่สุดเมื่อเปรียบเทียบกับสองตัวอย่างแรกและมีสีน้ำตาลอ่อน (ภาพ 3)



ภาพ 3 ตัวอย่างน้ำอ้อยที่ทำการสูมเก็บตัวอย่างที่จุดต่าง ๆ ในระหว่างกระบวนการผลิตน้ำตาลทรายของโรงงานผลิตน้ำตาลทราย จังหวัดนครสวรรค์

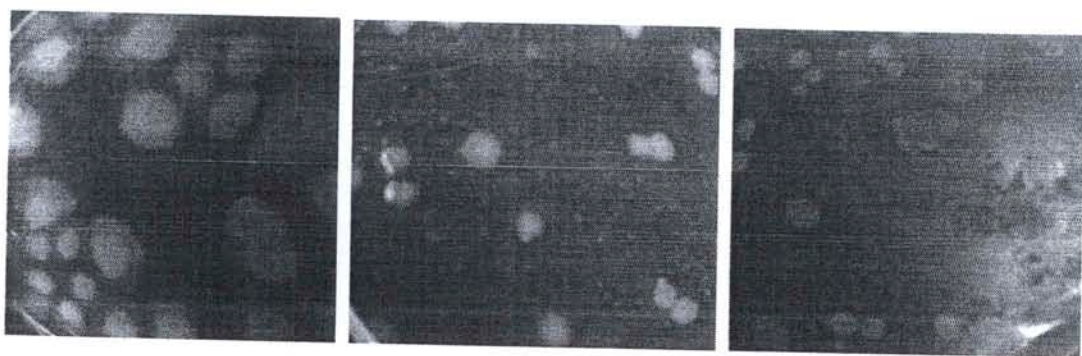
เมื่อนำตัวอย่างที่ได้มาวิเคราะห์หาปริมาณจุลินทรีย์ที่ปนเปื้อน ดังแสดงในตาราง 1 จะเห็นได้ว่าน้ำอ้อย FM มีปริมาณจุลินทรีย์ปนเปื้อนสูงสุด รองลงมาคือ MJ ส่วน FJ มีปริมาณจุลินทรีย์ปนเปื้อนต่ำที่สุด เนื่องจากในกระบวนการผลิตน้ำตาล อ้อยดิบจะผ่านการแยกส่วนที่ไม่ต้องการออกและทำความสะอาดเท่าที่จำเป็นก่อนเข้าสู่กระบวนการสารกัดน้ำอ้อย (Juice Extraction) โดยทำการสารกัดเอาน้ำหวานออกด้วยเครื่องรีดน้ำอ้อย ให้เป็นน้ำอ้อย FM จากนั้นหากอ้อยจะผ่านลูกทึบอีก 5 ชุด เพื่อทำการรีดน้ำอ้อยออกให้หมด น้ำอ้อยที่ออกจากลูกทึบแต่ละชุดจะถูกเก็บรวมไว้ในถังรวม ให้เป็นน้ำอ้อย MJ จากนั้นน้ำอ้อยที่ได้ทั้งหมดจะเข้าสู่กระบวนการกรองด้วยถังดักทราย (น้ำอ้อย FJ) และจึงเข้าสู่กระบวนการต้มเคี่ยวและตอกผลึกต่อไป ผลการทดลองที่ได้แสดงให้เห็นว่าน้ำอ้อย FJ มีปริมาณจุลินทรีย์ปนเปื้อนต่ำกว่าน้ำอ้อย FM และ MJ แสดงว่าการ

กรองสามารถลดการปนเปื้อนของจุลินทรีย์ได้บางส่วน จากตาราง 1 น้ำอ้อย FM MJ และ FJ มีปริมาณแบคทีเรียแผลคติกทั้งหมดสูงกว่าปริมาณจุลินทรีย์ทั้งหมด ทั้งนี้อาจเป็นผลมาจากการสภาวะของน้ำอ้อยซึ่งมีความเป็นกรด ($\text{pH } 5.2$) และมีน้ำตาลสูง (TSS ประมาณ 15 องศาบริกก์) ซึ่งเป็นสภาวะที่เหมาะสมต่อการเจริญของแบคทีเรียแผลคติก

ตาราง 1 ปริมาณจุลินทรีย์ปนเปื้อนในกระบวนการผลิตน้ำตาล ณ จุดต่างๆ

แหล่งเก็บ ตัวอย่าง	ปริมาณจุลินทรีย์ ($\log_{10} \text{cfu/ml}$)			
	จุลินทรีย์ ทั้งหมด(TPC)	ยีสต์และรา ทั้งหมด(TYM)	แบคทีเรียแผลคติก ทั้งหมด(TLAB)	<i>Leuconostoc</i> spp. ทั้งหมด
FM	9.58	5.40	11.18	8.78
MJ	9.61	5.79	11.61	8.73
FJ	8.86	5.75	11.97	8.70

เมื่อพิจารณาลักษณะทางสัณฐานวิทยาของจุลินทรีย์ที่ได้พบว่า โคโลนีบนอาหาร PCA มีลักษณะโคโลนีที่แตกต่างกันอยู่ 4 ประเภท คือ 1) โคโลนีที่มีลักษณะกลมสีขาว ขอบหยัก 2) โคโลนีที่มีลักษณะกลมป้านเป็นวง 3) โคโลนีที่มีลักษณะกลมเล็ก ผิวน้ำขาว และ 4) โคโลนีที่มีลักษณะกลม ขาว ผิวย่น (ภาพ 4) โคโลนีของยีสต์และรา มีลักษณะโคโลนีที่แตกต่างกัน 3 ประเภท คือ 1) โคโลนีที่มีลักษณะกลม สีขาวนม 2) โคโลนีที่มีลักษณะกลมสีขาว ผิวย่น และ 3) โคโลนีที่มีลักษณะกลม ติดสีชมพู (ภาพ 5) โคโลนีของแบคทีเรียแผลคติก พบรักษณะโคโลนีที่แตกต่างกัน 3 ประเภท คือ 1) โคโลนีที่มีลักษณะกลม มันขาว 2) โคโลนีที่มีลักษณะขาวริ้ว สีขาวขุ่น และ 3) โคโลนีที่มีลักษณะกลมสีเหลือง (ภาพ 6) ส่วนโคโลนีของแบคทีเรียนในกลุ่ม *Leuconostoc* spp. พบรักษณะโคโลนี 3 ประเภท คือ 1) โคโลนีที่มีลักษณะกลมเหมือนหยดน้ำตาล 2) โคโลนีที่มีลักษณะกลมนูน เป็นก้อนแข็ง และ 3) โคโลนีที่มีลักษณะกลมสีขาวขุ่น (ภาพ 7)

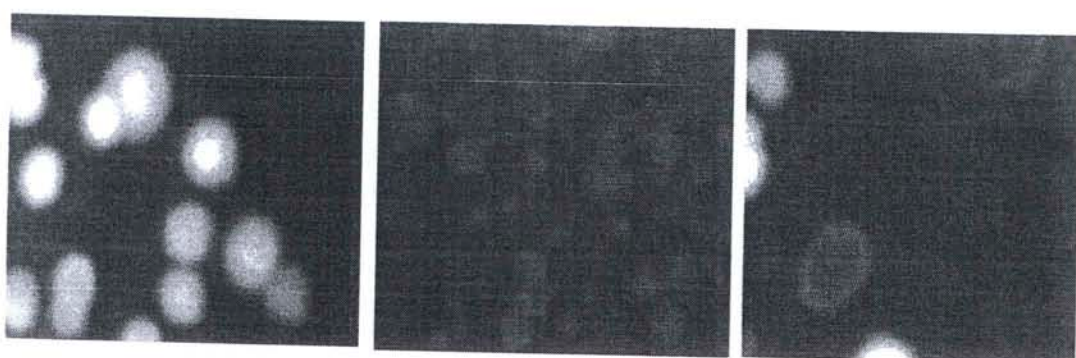


ก

ข

ค

ภาพ 4 ลักษณะโคโลนีของจุลินทรีย์ปันเปื้อนโดยเพาะเลี้ยงบนอาหารแข็ง PCA; ก คือ โคโลนีที่มีลักษณะกลมสีขาว มีขอบหยัก; ข คือโคโลนีที่มีลักษณะกลมปานเป็นวง และโคโลนีกลมเล็กมั่นวาว; ค คือโคโลนีที่มีลักษณะกลมสีขาว ผิวย่น

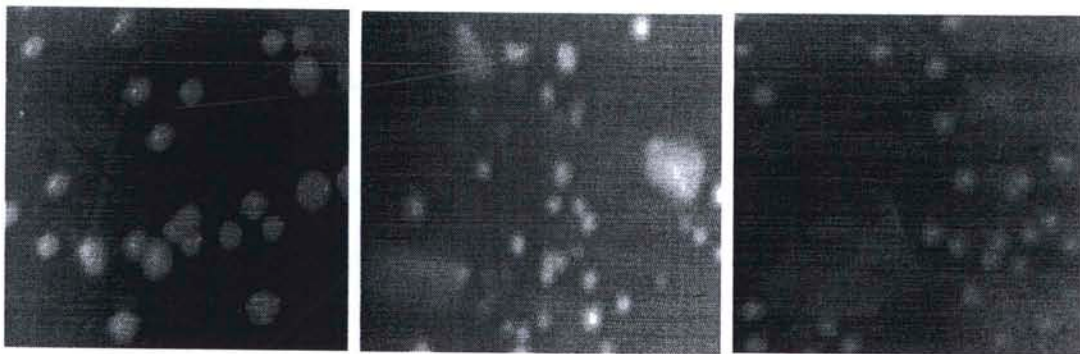


ก

ข

ค

ภาพ 5 ลักษณะโคโลนีของยีสต์และราโดยเพาะเลี้ยงบนอาหารแข็ง RBA; ก คือโคโลนีที่มีลักษณะกลมสีขาวนम; ข คือโคโลนีที่มีลักษณะกลมสีขาว ผิวย่น; ค คือโคโลนีที่มีลักษณะกลมติดสีชมพู

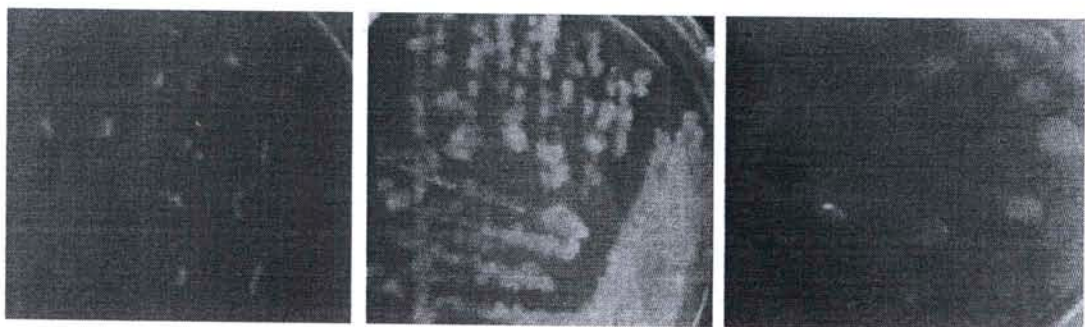


ก

ข

ค

ภาพ 6 ลักษณะโคโลนีของแบคทีเรียแลคติกโดยเพาะเลี้ยงบนอาหารแข็ง MRS; ก คือ โคโลนีที่มีลักษณะกลมมั่นวาว; ข คือโคโลนียาวริ สีขาวขุ่น; ค คือโคโลนีที่มีลักษณะกลมสีออกเหลือง



ก

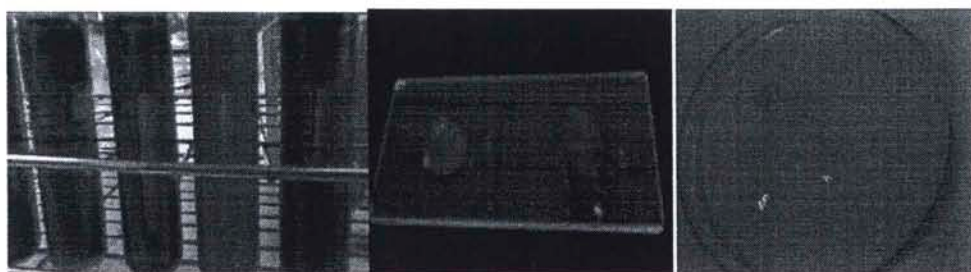
ข

ค

ภาพ 7 ลักษณะโคโลนีของแบคทีเรียในกลุ่ม *Leuconostoc* spp. ที่เพาะเลี้ยงบนอาหารแข็ง สูตร MRS ที่มีซูโครัส้อยละ 20 และแวนโคมัยชินความเข้มข้น 150 ไมโครกรัม/ มิลลิลิตร; ก คือโคโลนีที่มีลักษณะกลมเหมือนหยดน้ำตาล; ข คือโคโลนีกลมนูน เป็นก้อนแข็ง; ค คือโคโลนีที่มีลักษณะกลมสีขาวขุ่น

การคัดเลือกและทดสอบคุณสมบัติของแบคทีเรียแอลค็อกติก

ทำการคัดเลือกโคลินีที่มีลักษณะของ *Leuconostoc* spp. จากแต่ละกลุ่มตัวอย่าง โดยใช้อาหารคัดเลือกคืออาหารแข็ง MRS ที่มีการเติมซูโครัส้อยละ 20 และแวนคอมัยซิน 150 มิลิกรัมต่อมิลลิลิตร จากนั้นทำการทดสอบคุณสมบัติทางชีวเคมี (FM1- FM5 MJ1- MJ7 และ FJ1- FJ6) (ตาราง 2) ผลการทดสอบพบว่า ทุกโคลินีเป็นแบคทีเรียแกรมบวก มีรูปร่างคล้ายกันทั้งกลุ่มและท่อน ไม่สร้างเอนไซม์ctype เลส ทุกโคลินีมีการสร้างก้าซคาร์บอนไดออกไซด์ในอาหารเหลว MRS และเมื่อพิจารณาความสามารถในการเจริญเติบโตและการสร้างเอกซ์โพลีแซคคาไรด์ (Exopolysaccharide; EPS) ที่อุณหภูมิ 30 35 40 45 50 และ 55 องศาเซลเซียส พบว่า จุลินทรีย์ที่แยกได้สามารถเจริญเติบโตได้ดีที่อุณหภูมิ 30 35 และ 40 องศาเซลเซียส มีการเจริญเติบโตได้น้อยลงเมื่ออุณหภูมิ 45 องศาเซลเซียส และไม่พบการเจริญเติบโตที่อุณหภูมิ 50 และ 55 องศาเซลเซียส ในส่วนของการสามารถในการสร้าง EPS พบว่า FM4 FM5 MJ1 MJ5 และ FJ5 มีความสามารถในการสร้าง EPS ให้มากที่สุด จากข้อมูลนี้จึงทำการคัดเลือกจุลินทรีย์ดังกล่าวเพื่อส่งตรวจวิเคราะห์ระบุสายพันธุ์โดยเทคนิค 16sRNA และนำไปศึกษาระดับกิจกรรมเอนไซม์เด็กซ์แทรนซ์เรสต์อีปี นอกจากรายที่ได้ทำการสังเกตว่าอย่างโคลินีรหัส MJ6 MJ7 และ FJ6 เพื่อระบุสายพันธุ์โดยเทคนิค 16sRNA ด้วย ซึ่งแม้ว่าโคลินีดังกล่าวจะไม่มีสร้างโพลีแซคคาไรด์ หรือมีการสร้างโพลีแซคคาไรด์น้อย แต่โคลินีเหล่านี้มีลักษณะโคลินีและคุณสมบัติทางชีวเคมีคล้ายกับแบคทีเรียในกลุ่มของ *Leuconostoc* spp. คือ มีรูปร่างกลม เรียงเป็นคู่ (diplococcic) ไม่สร้างเอนไซม์ctype เลส และมีการสร้างก้าซคาร์บอนไดออกไซด์ในอาหารเหลว MRS



ภาพ 8 การทดสอบคุณสมบัติทางชีวเคมี; ก แสดงตัวอย่างการสร้างก้าซคาร์บอนไดออกไซด์ในอาหารเหลว MRS; ข แสดงตัวอย่างการไม่สร้างเอนไซม์ctype เลส; ค แสดงตัวอย่างการสร้างเอกซ์โพลีแซคคาไรด์ (Exopolysaccharide; EPS)

ตาราง 2 เมตริกการcharacteristics ของเชื้อราในพลังส์ Leuconostoc spp. ที่อยู่ห่างน้ำต่างๆ

ชื่อ ชนิด และ สายพันธุ์	แมร์คัม	shape	Biochemical test	อุณหภูมิ 30 °C		อุณหภูมิ 35 °C		อุณหภูมิ 40 °C		อุณหภูมิ 45 °C		อุณหภูมิ 50 °C	
				catalase	ferment	Growth	EPS	Growth	EPS	Growth	EPS	Growth	EPS
<i>L.</i> mesenteroides													
TISTR473		กลม	-	+	++	+++	++	+++	++	+	+	-	-
จุลทรรศน์ 1													
FM 1	บาก	กลม	-	+	++	+	++	+	++	+	+	-	-
FM 2	บาก	ห่อหนา	-	+	++	+	++	+	++	+	+	-	-
FM 3	บาก	ห่อหนา	-	+	++	+	++	+	++	+	+	-	-
FM 4	บาก	กลม	-	+	++	+++	++	+++	++	+	+	-	-
FM 5	บาก	ห่อหนา	-	+	++	+++	++	+++	++	+	+	-	-
จุลทรรศน์ 2													
MJ1	บาก	กลม	-	+	++	+++	+	++	+	++	+	-	-
MJ2	บาก	ห่อหนา	-	+	++	+	++	+	++	+	+	-	-
MJ3	บาก	กลม	-	+	++	+	++	+	++	+	+	-	-
MJ4	บาก	ห่อหนา	-	+	++	++	+	++	+	++	+	-	-
MJ5	บาก	ห่อหนา	-	+	++	+++	++	+++	++	+	+	-	-
MJ6	บาก	ห่อหนา	-	+	++	+	++	+	++	+	+	-	-

แหล่ง ชอย.	ลักษณะ	shape	Biochemical test			อุณหภูมิ 30 °C			อุณหภูมิ 35 °C			อุณหภูมิ 40 °C			อุณหภูมิ 50 °C		
			catalase	ferment	Growth	EPS	Growth	EPS	Growth	EPS	Growth	EPS	Growth	EPS	Growth	EPS	
จุดที่ 3																	
MJ7	บาง	ห่ยน	-	+	++	+	++	+	++	+	++	+	++	+	+	+	
FJ1	บาง	กลม	-	+	++	+	++	+	++	+	++	+	++	+	+	-	
FJ2	บาง	ห่ยน	-	+	++	+	++	+	++	+	++	+	++	+	+	-	
FJ3	บาง	กลม	-	+	++	+	++	+	++	+	++	+	++	+	+	-	
FJ4	บาง	กลม	-	+	++	+	++	+	++	+	++	+	++	+	+	-	
FJ5	บาง	ห่ยน	-	+	++	+	++	+	++	+	++	+	++	+	+	-	
FJ6	บาง	ห่ยน	-	+	++	+	++	+	++	+	++	+	++	+	+	-	

หมายเหตุ: ข้อมูลตาราง 2 เครื่องหมาย

ให้ผลเป็นบวก หรือมีการเจริญเติบโต หรือมีการสร้าง EPS

- + หมายถึง ไม่มีการเจริญเติบโต ได้ หรือ มีการเจริญเติบโตได้ดี หรือมีการเจริญเติบโตได้ดีมาก หรือมีการเจริญเติบโตได้ดีมาก หรือมีการเจริญเติบโตได้ดีมาก หรือมีการเจริญเติบโตได้ดีมาก หรือมีการเจริญเติบโตได้ดีมาก
- ++ หมายถึง ไม่มีการเจริญเติบโต ได้ หรือ มีการเจริญเติบโตได้ดี หรือมีการเจริญเติบโตได้ดีมาก หรือมีการเจริญเติบโตได้ดีมาก หรือมีการเจริญเติบโตได้ดีมาก หรือมีการเจริญเติบโตได้ดีมาก หรือมีการเจริญเติบโตได้ดีมาก
- +++ หมายถึง ไม่มีการเจริญเติบโต ได้ หรือ มีการเจริญเติบโตได้ดี หรือมีการเจริญเติบโตได้ดีมาก หรือมีการเจริญเติบโตได้ดีมาก หรือมีการเจริญเติบโตได้ดีมาก หรือมีการเจริญเติบโตได้ดีมาก หรือมีการเจริญเติบโตได้ดีมาก
- หมายถึง ให้ผลเป็นลบ หรือ ไม่มีการเจริญเติบโตหรือสร้าง EPS

การระบุสายพันธุ์ของจุลินทรีย์ที่แยกได้จากการกระบวนการผลิตน้ำตาล

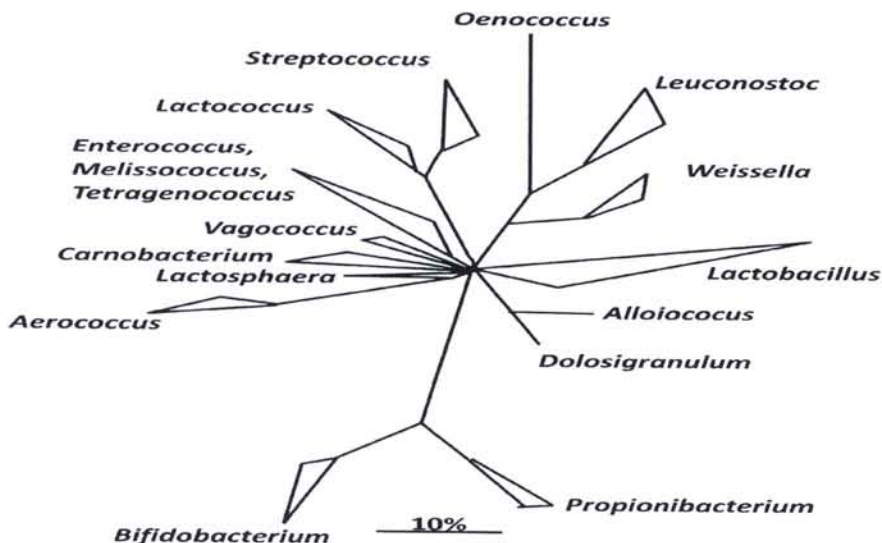
ผลการส่งตัวอย่างจุลินทรีย์ 8 โคลินี คือ FM4 FM5 MJ1 MJ5 MJ6 MJ7 FJ5 และ FJ6 เพื่อระบุสายพันธุ์โดยใช้เทคนิคการวิเคราะห์ชนิด 16S ribosomal RNA gene sequencing ที่ศูนย์พันธุวิศวกรรมแห่งชาติ จังหวัดปทุมธานี พบว่า แบคทีเรียรหัส FM4 FM5 MJ1 MJ5 และ FJ5 มีความคล้ายคลึงกับ *Weissella cibaria* โดยมีความเหมือน 100 % ซึ่งแบคทีเรียสายพันธุ์นี้เป็นแบคทีเรียในกลุ่มของแบคทีเรียแลคติก มีรูปร่างทั้งกลมและท่อน จากอนุกรมวิธานของแบคทีเรียแลคติก พบว่า *Weissella* มีลักษณะคล้าย *Leuconostoc* (leuconosdoc – like bacteria) รูปร่างเซลล์เป็นรูปท่อนและกลม มีสเปชีสซึ่งเดิมอยู่ในสกุล *Leuconostoc* และ *Lactobacillus* (Stiles and Holzapfel, 1997, pp. 16-19) (ภาพ 9) โดยในสกุลของ *Weissella* ประกอบไปด้วยกลุ่มของ heterofermentative *Leuconostoc*-like lactic acid bacteria (Collins, et al., 1993, pp. 595–603) ซึ่งมี 12 สปีชีส์ ได้แก่ *Weissella confusa* *Weissella halotolerans* *Weissella hellenica* *Weissella kandleri* *Weissella minor* *Weissella paramesenteroides* *Weissella viridescens* (Collins, et al., 1993) *Weissella thailandensis* (Tanasupawat, et al., 2000, pp. 1479–1485) *Weissella cibaria* (Björkroth, et al., 2002, pp. 141–148) *Weissella kimchii* (Choi, et al., 2002, pp. 507–511) *Weissella soli* (Magnusson, et al., 2002, pp. 831–834) และ *Weissella koreensis* (Lee, et al., 2002, p. 1260) มีรายงานว่ามีการตรวจพบ *Weissella confusa* และ *Weissella cibaria* ในอ้อย (Hammes and Vogel, 1995; Björkroth, et al., 2002, pp. 141–148) ส่วนแบคทีเรียรหัส FJ6 มีความคล้ายคลึงกับ *Lactobacillus fermentum* โดยมีความเหมือน 99.70% และแบคทีเรียรหัส MJ6 และ MJ7 มีความคล้ายคลึงกับ *Lactobacillus paracasei* subsp. *Tolerans* โดยมีความเหมือน 99.90 และ 100 % ตามลำดับ (ตาราง 3)

แบคทีเรียแลคติกสามารถผลิต Oligopolysaccharides และ homopolysaccharides จากซูโคโรสได้ โดยมีการรายงานว่าแบคทีเรียแลคติกสกุล *Leuconostoc* *Streptococcus* *Lactobacillus* และ *Weissella* สามารถผลิตโพลีเมอร์กลูแคน (glucans) และฟรุคแทน (fructans) ได้ (Monsan, et al., 2001, pp. 675–685; Björkroth and Holzapfel, 2006, pp. 267–319; Van Hicum, et al., 2006, pp. 157–176) จากการศึกษาของ Bounaix, et al. (2010, pp. 18–26) พบว่า แบคทีเรียแลคติกสกุล *Weissella* ที่แยกได้จากเบื้องหนัก (sourdoughs) ได้แก่ *Weissella cibaria* และ *Weissella confusa* มีความสามารถในการสังเคราะห์เอนไซม์เด็กแทرنซูเรสทำให้สามารถผลิต linear dextrans containing α -(1 → 6) glucose จากซูโคโรสได้ ดังนั้นจากการทดลองที่ได้จึงได้ทำการเลือกจุลินทรีย์ทั้ง 3 สายพันธุ์นี้ไปทำการทดลองในขั้นต่อไป

จากผลการทดลองที่ได้สามารถสังเกตได้ว่าไม่พบ *Leuconostoc mesenteroides* ในกระบวนการผลิตน้ำตาลทรายของโรงงานแห่งนี้ ซึ่งเป็นที่น่าแปลกใจ เนื่องจาก *Leuconostoc mesenteroides* เป็นแบคทีเรียที่มีบทบาทสำคัญในกระบวนการผลิตน้ำตาล (Eggleston, 2002, p. 98; Eggleston and Harper, 2006; Solomon, 2000; Yusof Shinan and Osman, 2000, p. 399) อย่างไรก็ตามผลการทดลองที่ได้แสดงให้เห็นว่าการจำแนก *L. mesenteroides* TISTR 473 ในกระบวนการผลิตน้ำตาลทรายไม่สามารถใช้เพียงอาหารคัดเลือกและการทดสอบคุณสมบัติทางชีวเคมีของแบคทีเรียในกลุ่ม *Leuconostoc* spp. อันประกอบด้วยการดูลักษณะทางสัณฐานวิทยา ไม่สร้างเอนไซม์ctype-แอล สร้างก้าซคาร์บอนไดออกไซด์ในอาหารเหลว MRS และการทนต่อแวนโคมัยชิน 150 ไม่โครงการต่อมิลลิลิตร รวมถึงความสามารถในการผลิตเอนไซม์เด็กซ์แทรนซูเครสได้ และการสร้าง EPS ในอาหารที่มีซูโครสเป็นส่วนประกอบได้ นอกจากนี้แบคทีเรียที่แยกได้จากการทดลองนี้มีลักษณะที่ใกล้เคียงกับ *L. mesenteroides* หากแต่เมื่อนำไประบุสายพันธุ์โดยเทคนิค 16S RNA gene sequencing กลับพบว่าโคลินีดังกล่าว คือ *Weissella cibaria* ซึ่งเป็นแบคทีเรียที่มีความคล้ายคลึงกับ *L. mesenteroides* และสามารถสร้างเอนไซม์เด็กซ์แทรนซูเครสและ EPS ได้ แสดงว่าการใช้เพียงอาหารคัดเลือก คุณสมบัติทางชีวเคมี ความสามารถในการผลิตเอนไซม์เด็กซ์แทรนซูเครส และความสามารถในการสร้าง EPS ไม่สามารถแยกแบคทีเรียกลุ่มของ *Leuconostoc* spp. กับ *Weissella* spp. ออกจากกันได้ เมื่อจาก *Weissella* spp. เป็นแบคทีเรียที่มีลักษณะคล้ายคลึงกับแบคทีเรียสกุล *Leuconostoc* spp.มาก ดังนั้นในการจำแนกแบคทีเรียสองสกุลออกจากกันอาจจำเป็นต้องมีวิธีการใหม่ที่สามารถระบุถึงความแตกต่างในระดับพันธุกรรมหรือ การแสดงออกอื่นๆ ซึ่งเป็นอีกหัวข้อหนึ่งที่น่าสนใจสำหรับผู้ที่ต้องการทราบถึงความแตกต่างของแบคทีเรียทั้งสองสกุลนี้

ตาราง 3 การจำแนกสายพันธุ์จุลทรรศน์ที่แยกได้

Sample Code	Method of identification	Identify as	% similarity
FM4	Partial 16S rDNA sequencing	<i>Weissella cibaria</i>	100.00%
FM5	Partial 16S rDNA sequencing	<i>Weissella cibaria</i>	100.00%
FJ5	Partial 16S rDNA sequencing	<i>Weissella cibaria</i>	100.00%
FJ6	Full 16S rDNA sequencing	<i>Lactobacillus fermentum</i>	99.70%
MJ1	Partial 16S rDNA sequencing	<i>Weissella cibaria</i>	100.00%
MJ5	Partial 16S rDNA sequencing	<i>Weissella cibaria</i>	100.00%
MJ6	Full 16S rDNA sequencing	<i>Lactobacillus paracasei</i> subsp. <i>Tolerans</i>	99.90%
MJ7	Full 16S rDNA sequencing	<i>Lactobacillus paracasei</i> subsp. <i>Tolerans</i>	100.00%



ภาพ 9 แผนภาพแสดงสายสัมพันธ์ทางวิวัฒนาการ (phylogenetic tree) ของแบคทีเรียแลคติกและแบคทีเรียแกรมบวก

ที่มา: Stiles and Holzapfel, 1997, p. 6; Schleifer and Ludwig, 1995

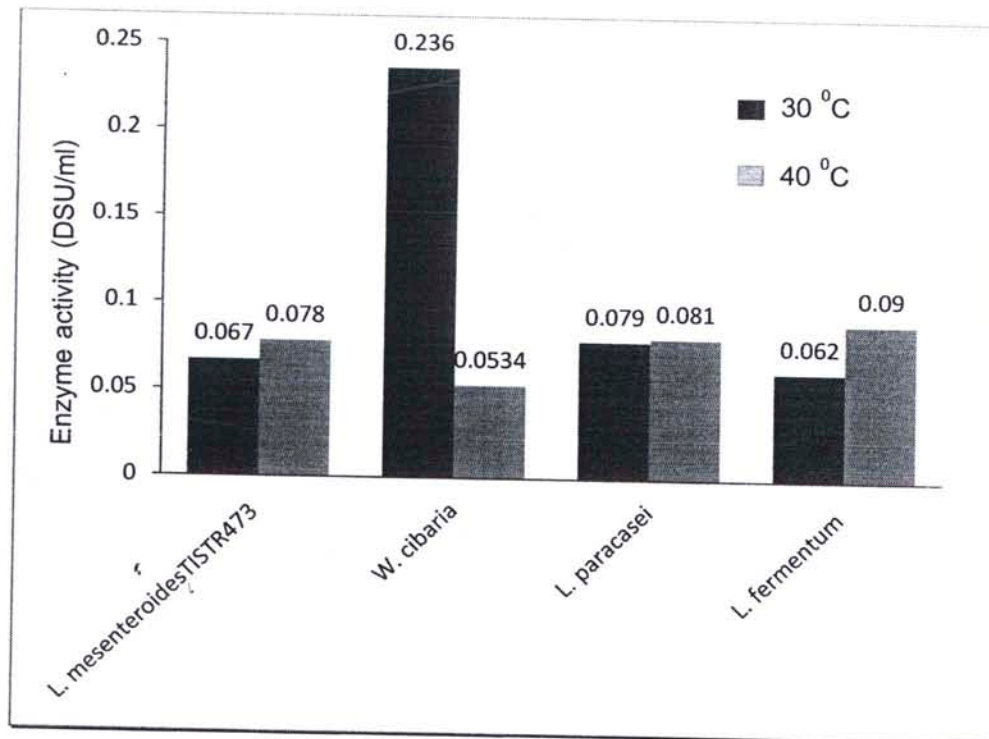
ระดับกิจกรรมของเอนไซม์เด็กซ์แทรนซูเครสของจุลินทรีย์ที่แยกได้

ทำการศึกษาระดับกิจกรรมเอนไซม์เด็กซ์แทรนซูเครสของจุลินทรีย์ที่แยกได้ 3 สายพันธุ์คือ *Weissella cibaria* *Lactobacillus paracasei* subsp. *Tolerans* และ *Lactobacillus fermentum* ที่อุณหภูมิ 30 และ 40 องศาเซลเซียส โดยเปรียบเทียบกับ *Leuconostoc mesenteroides* TISTR 473 ซึ่งเป็นเชื้อควบคุม พบร่วมกับที่อุณหภูมิ 30 องศาเซลเซียส *Weissella cibaria* มีระดับกิจกรรมเอนไซม์เด็กซ์แทรนซูเครสสูงสุด โดยวัดค่ากิจกรรมเอนไซม์เด็กซ์แทรนซูเครสได้ 0.236 หน่วยต่อมล. (ภาพ 10) รองลงมาคือ *Lactobacillus paracasei* subsp. *Tolerans* *Leuconostoc mesenteroides* TISTR 473 และ *Lactobacillus fermentum* โดยมีค่ากิจกรรมเอนไซม์เด็กซ์แทรนซูเครสเท่ากับ 0.079 0.067 และ 0.062 หน่วยต่อมล. ตามลำดับ นอกจากนี้ยังพบว่าจุลินทรีย์ทั้ง 4 สายพันธุ์ มีระดับกิจกรรมเอนไซม์เด็กซ์แทรนซูเครสไม่แตกต่างกันอย่างมีนัยสำคัญทางสถิติ ($p>0.05$) เช่นเดียวกับที่อุณหภูมิ 40 องศาเซลเซียส จุลินทรีย์ทั้ง 4 สายพันธุ์ มีระดับกิจกรรมเอนไซม์เด็กซ์แทรนซูเครสไม่แตกต่างกันอย่างมีนัยสำคัญทางสถิติ ($p>0.05$) เมื่อทำการเปรียบเทียบระหว่างระดับกิจกรรมเอนไซม์เด็กซ์แทรนซูเครสที่อุณหภูมิ 30 และ 40 องศาเซลเซียส ไม่แตกต่างกันอย่างมีนัยสำคัญทางสถิติ ($p>0.05$) โดยสามารถสังเกตได้ว่าที่อุณหภูมิ 30 องศาเซลเซียส จุลินทรีย์บางสายพันธุ์มีระดับกิจกรรมเอนไซม์เด็กซ์แทรนซูเครสสูงกว่าที่ 40 องศาเซลเซียส ทั้งนี้อาจเนื่องมาจากที่อุณหภูมิ 30 องศาเซลเซียส จุลินทรีย์สามารถเจริญเติบโตได้ดีกว่าที่อุณหภูมิ 40 องศาเซลเซียส กล่าวคือเมื่อเพาะเลี้ยงเป็นเวลา 16 ชั่วโมง ปริมาณเชื้อที่อุณหภูมิ 30 องศาเซลเซียสมีค่าประมาณ $8.00 \log_{10} \text{cfu/ml}$ ในขณะปริมาณเชื้อที่อุณหภูมิ 40 องศาเซลเซียสมีค่าประมาณ $6.00 \log_{10} \text{cfu/ml}$ ซึ่งสอดคล้องกับงานวิจัยของ Santos, et al. (2000) และ Chaplin and Bucke (1992) ที่รายงานว่าอุณหภูมิเป็นปัจจัยที่มีผลต่อการเจริญเติบโตของจุลินทรีย์และกิจกรรมเอนไซม์โดยอุณหภูมิที่เพิ่มขึ้นมีผลทำให้การเจริญเติบโตของจุลินทรีย์และกิจกรรมของเอนไซม์ลดลง

ดังนั้นจากผลการทดลองดังกล่าวจึงคัดเลือก *Weissella cibaria* ซึ่งมีระดับกิจกรรมเอนไซม์เด็กซ์แทรนซูเครสสูงสุดและมีการสร้างเอกสารโพลีแซคคาไรด์ได้มากที่สุดเมื่อเปรียบเทียบกับ *Lactobacillus paracasei* และ *Lactobacillus fermentum* ที่แยกได้จากในงานผลิตน้ำตาลมาทำการศึกษาในขั้นตอนต่อไปเปรียบเทียบกับ *Leuconostoc mesenteroides* TISTR 473 ซึ่งใช้เป็นเชื้อควบคุม

Weissella cibaria เป็นแบคทีเรียแกรมบวก (Gram-positive) รูปร่างเซลล์เป็นแท่งสั้นและกลมเรียงเป็นคู่ กว้าง $0.8 - 1.2 \mu\text{m}$ ยาว $1.5 - 2 \mu\text{m}$ ไม่เคลื่อนที่ มีเปลือกโดยไกลแคน

(Peptidoglycan) ชนิด A3 α , L-Lys-L-Ala(L-Ser)-L-Ala โคลินมีขานดเล็กและมีสีขาวเทา (greyish white) ไม่สร้างเอนไซม์คัตเตอเรส (catalase negative) สามารถเจริญได้ที่อุณหภูมิ 15 - 37 และ 45 องศาเซลเซียส แต่ไม่เจริญที่อุณหภูมิ 4 องศาเซลเซียส จัดอยู่ในกลุ่มเยอโรเฟอร์เมน เทพ (Heterofermentative) มีการผลิตกําชาร์บอนไดออกไซด์จากการหมักกลูโคส มีการสังเคราะห์ d-lactic acid isomers และ l-lactic acid isomers มีการสร้างเมื่อกจากการหมัก ชูโคส บางสายพันธุ์ไม่เจริญใน 8% NaCl แต่ทุกสายพันธุ์สามารถเจริญได้ใน 6.5% NaCl สามารถหมักคาร์บอไฮเดรตดังต่อไปนี้ได้ คือ แอล-อะราบินอส (L-Arabinose) ดี-ไซโลส (D-xylose) กลูโคส (glucose) ฟรุกโตส (fructose) แมโนโนส (mannose) เช็น-อะซิทิกกลูโคซามีน (N-acetylglucosamine) อะไมดาลิน (amygdaline) อาร์บูทีน (arbutine) เอสคูลิน (esculin) ชาลีซิน (salicin) เซลโลไบโอส (cellobiose) มอลโตส (maltose) แซคคาโรส (saccharose) และ เจนทิไบโอส(gentiobiose) จะไม่หมักสารดังต่อไปนี้ได้ คือ กลีเซอรอล (Glycerol) อิริทริทอล (erythritol) ดี-อะราบินอส (D-arabinose) ไรโบส (ribose) ไซโรส (L-xylose) อะดอนิโนทอล (adonitol) แบตา-เมทิล-ดี-ไซโลไซด์ (β -methyl-D-xyloside) กากแลคโตส (galactose) ซอร์บอส (sorbose) แรมนโนส (rhamnose) ดูริทอล (dulcitol) ซิโนซิทอล (inositol) แมนโนโนทอล (mannitol) ซอร์บิทอล (sorbitol) แอลฟ่า-เมทิล-ดี-แมโนโนไไซด์ (α -methyl-D-mannoside) แอลฟ่า-เมทิล-ดี-กลูโคไซด์ (α -methyl-D-glucoside) แลคโตส (lactose) เมลิบิโอส (melibiose) ทรีฮาโลส (trehalose) อินโนลิน (inulin) เมเลจิโตส (melezitose) رافฟิโนส (raffinose) อะมิดอน (amidon) ไกลโคเจน (glycogen) ไซลิทอล (xylitol) ทูรานอส (turanose) ดี-ໄลไซส (D-lyxose) ดี-แทกาโทส (D-tagatose) ดี-ฟูโคส (D-fucose) แอล-ฟูโคส (L-fucose) ดี-อะราบิทอล (D-arabitol) แอล-อะราบิทอล (L-arabitol) กลูโคเนต (gluconate) 2-คีโตกลูโคเนต (2-ketogluconate) และ 5-คีโตกลูโคเนต (5-ketogluconate) มี DNA base ratio เท่ากับ 44 - 45 mol% G-C (thermal denaturation method) *Weissella cibaria* สามารถแยกได้จากการผลิตกําลังอาหารหมัก (fermented food) เช่นแบงหมัก (sourdough) ปลาส้ม (Srionnual, et al., 2007, p. 2247) และตัวอย่างที่เกี่ยวข้องกับทางคลินิก ทั่วไป (Clinical Samples) ที่ได้จากมนุษย์และสัตว์ (Björkroth, et al., 2002, p. 147)



ภาพ 10 ระดับกิจกรรมของเอนไซม์ที่อุณหภูมิ 30 และ 40 องศาเซลเซียสของเชื้อแบคทีเรียแลคติกที่แยกได้โดยทำการเพาะเลี้ยงในน้ำอ้อยที่ไม่มีการปรับค่าพีเอช

การเจริญเติบโตของจุลินทรีย์ในอาหารเหลว MRS และในน้ำอ้อย

1. การเจริญเติบโตของ *Leuconostoc mesenteroides* TISTR 473 ในอาหารเหลว MRS และในน้ำอ้อย

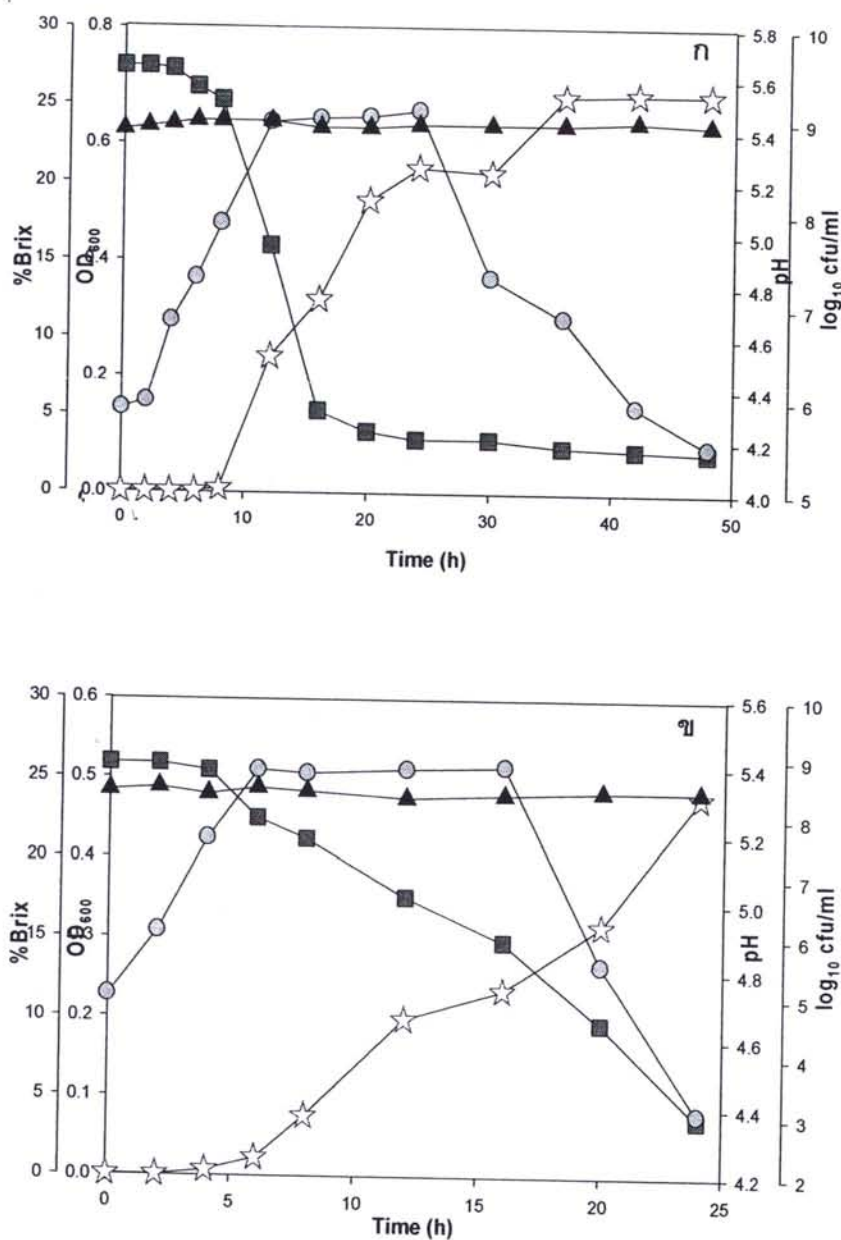
เมื่อทำการศึกษาการเจริญเติบโตของ *Leuconostoc mesenteroides* TISTR 473 (เชื้อควบคุม) ที่ทำการเพาะเลี้ยงในอาหาร MRS โดยเพิ่มสูตรร้อยละ 20 ไม่มีการควบคุมพีเอชในอาหารเหลว มีปริมาณเชื้อตั้งต้นประมาณ $5.0 - 6.0 \log_{10}$ cfu/ml บ่มที่อุณหภูมิ 30 องศาเซลเซียส เป็นเวลา 48 ชั่วโมง (ภาพ 11ก) พบว่า *L. mesenteroides* TISTR 473 สามารถเจริญเติบโตได้ดี มีช่วง log phase ในชั่วโมงที่ 2-12 หลังจากนั้นจะเข้าสู่ช่วง stationary phase ในชั่วโมงที่ 12 – 24 มีปริมาณเชื้อสูงสุดโดยเฉลี่ยประมาณ $9.0 \log_{10}$ cfu/ml หลังจากชั่วโมงที่ 24 จะเข้าสู่ช่วง Death phases ซึ่งปริมาณเชื้อมีการลดลงอย่างรวดเร็ว โดยในชั่วโมงที่ 48 มีปริมาณเชื้อเหลือรอดประมาณ $5.0 \log_{10}$ cfu/ml ในส่วนของค่าพีเอชในอาหารเหลวมีการลดลงอย่างรวดเร็วในช่วง log phase ซึ่งลดลงจาก pH 5.65 มาอยู่ในระดับที่ pH 4 ในช่วงชั่วโมงที่ 12 หลังจากนั้นจะเข้าสู่ช่วง stationary phase ค่าพีเอชมีการลดลงเล็กน้อยจนเกือบคงที่ที่ pH 4 จนครบระยะเวลาในการเพาะเลี้ยงเชือที่ 48 ชั่วโมง โดยการลดลงของพีเอชในอาหารเหลวเกิดจากการที่ *L. mesenteroides* TISTR 473 เป็นแบคทีเรียในกลุ่มแบคทีเรียแลคติกที่มีความสามารถในการผลิตกรดแลคติก โดยกรดแลคติกที่แบคทีเรียสร้างขึ้นทำให้ค่าพีเอชในอาหารเหลวลดลง

การเพาะเลี้ยงเชื้อ *L. mesenteroides* TISTR 473 ในอาหารเหลว MRS โดยเพิ่มสูตรร้อยละ 20 ไม่มีการควบคุมพีเอชในอาหารเหลว บ่มที่อุณหภูมิ 40 องศาเซลเซียส เป็นเวลา 48 ชั่วโมง มีปริมาณเชื้อตั้งต้นประมาณ $5.0 - 6.0 \log_{10}$ cfu/ml (ภาพ 11ข) พบว่า *L. mesenteroides* TISTR 473 ยังคงสามารถเจริญได้ดี มีช่วง log phase อยู่ในชั่วโมงที่ 1-6 มีปริมาณเชื้อสูงสุดประมาณ $8.0 \log_{10}$ cfu/ml เข้าสู่ช่วง stationary phase ที่ชั่วโมงที่ 8 - 16 หลังจากชั่วโมงที่ 16 - 24 จะเข้าสู่ช่วง death phase และหลังจากชั่วโมงที่ 24 - 48 จะพบไม่การเจริญของ *L. mesenteroides* TISTR 473 โดยปริมาณเชื้อที่เหลือรอดในชั่วโมงที่ 24 คือประมาณ $3.0 \log_{10}$ cfu/ml ในส่วนของค่าพีเอชในอาหารเหลวมีการลดลงอย่างรวดเร็วจาก pH 5.4 มาอยู่ในระดับ pH 4 ส่วนปริมาณของเชื้อที่สามารถละลายได้ไม่มีการเปลี่ยนแปลงมากนักทั้งการเพาะเลี้ยงที่อุณหภูมิ 30 และ 40 องศาเซลเซียส โดยมีปริมาณของเชื้อที่สามารถละลายได้เฉลี่ยประมาณ 24 เปอร์เซ็นต์

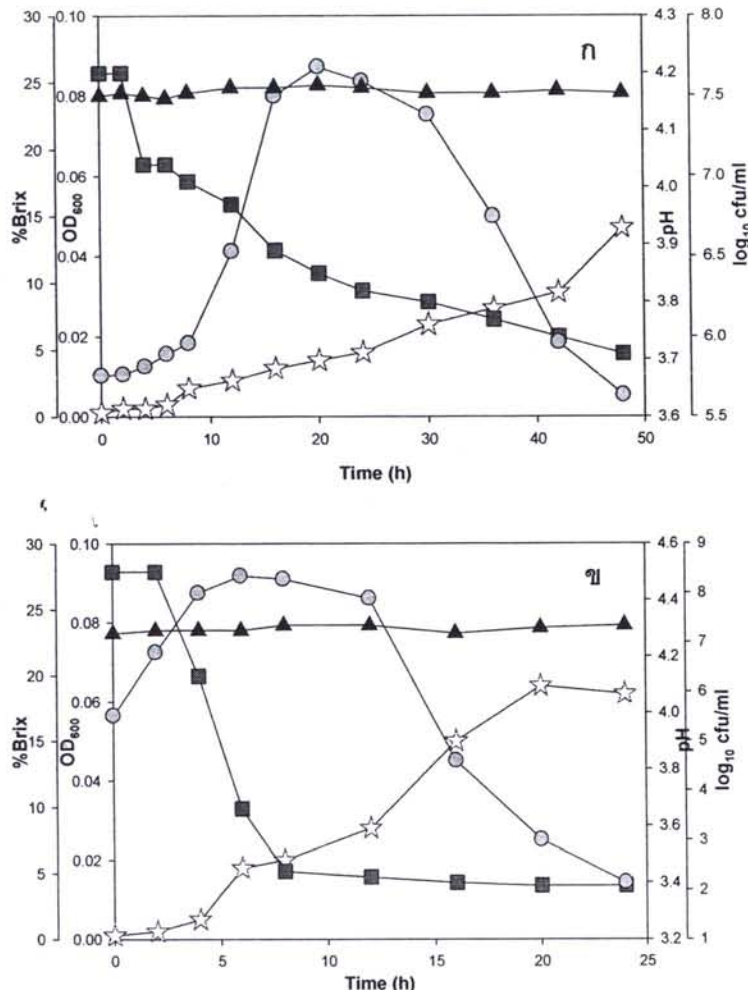
การเจริญเติบโตของเชื้อ *L. mesenteroides* TISTR 473 ที่ทำการเพาะเลี้ยงในน้ำอ้อย บ่มที่อุณหภูมิ 30 องศาเซลเซียส ไม่มีการควบคุมพีเอชโดยมีปริมาณเชื้อตั้งต้นประมาณ $5 - 6 \log_{10}$ cfu/ml (ภาพ 12ก) พบว่า ในชั่วโมงที่ 0 - 8 *L. mesenteroides* TISTR 473 สามารถเจริญ

เติบโตได้ดี โดยจะค่อยๆ เพิ่มจำนวนมากขึ้น มีช่วง log phase ในช่วง惰期ที่ 8 - 16 มีปริมาณเชื้อสูงสุดประมาณ $7.0 \log_{10} \text{cfu/ml}$ เข้าสู่ช่วง stationary phase ในช่วง惰期ที่ 16 - 30 หลังจากนั้นเข้าสู่ช่วง death phase ในช่วง惰期ที่ 30 โดยปริมาณจุลินทรีย์มีการลดลงอย่างรวดเร็ว ในช่วง惰期สุดท้ายของการเพาะเลี้ยงมีปริมาณเชื้อเหลือรอบประมาณ $5.0 \log_{10} \text{cfu/ml}$ ในส่วนของค่า pH เช่นน้ำอ้อยมีการลดลงอย่างต่อเนื่อง โดยลดลงจาก pH 4.2 จนถึงในระดับ pH 3.7

การเจริญเติบโตของ *L. mesenteroides* TISTR 473 ที่ทำการเพาะเลี้ยงในน้ำอ้อย บ่มที่อุณหภูมิ 40 องศาเซลเซียส ไม่มีการควบคุมพิเชิงโดยมีปริมาณเชื้อตั้นประมาณ 5 - 6 $\log_{10} \text{cfu/ml}$ ทำการเพาะเลี้ยงเป็นเวลา 48 ชั่วโมง (ภาพ 12x) พบว่า *L. mesenteroides* TISTR 473 มีช่วง log phase อยู่ในช่วง惰期ที่ 6 - 8 โดยมีปริมาณเชื้อสูงสุดประมาณ $8.0 \log_{10} \text{cfu/ml}$ หลังจากช่วง惰期ที่ 12 *L. mesenteroides* TISTR 473 มีปริมาณลดลงอย่างรวดเร็ว โดยในช่วง惰期ที่ 24 มีปริมาณเชื้อต่ำสุดที่ประมาณ $2.0 \log_{10} \text{cfu/ml}$ และหลังจากช่วง惰期ที่ 24 เป็นต้นไปไม่พบการเจริญของเชื้อ *L. mesenteroides* TISTR 473 ในส่วนของค่า pH เช่นน้ำอ้อยมีการลดลงอย่างรวดเร็วในช่วง惰期ที่ 2 - 8 จากค่า pH 4.4 ลดลงมาเหลือ pH 3.4 และหลังจากช่วง惰期ที่ 8 มีการเปลี่ยนแปลงของพิเชิงเพียงเล็กน้อยตลอดช่วงการเพาะเลี้ยง ส่วนของปริมาณของเชื้อที่สามารถละลายได้จะไม่มีการเปลี่ยนแปลงมากนักตลอดช่วงการเพาะเลี้ยง โดยมีปริมาณของเชื้อที่สามารถละลายได้เฉลี่ยประมาณ 24 เปอร์เซ็นต์ ทั้งการเพาะเลี้ยงที่อุณหภูมิ 30 และ 40 องศาเซลเซียส



ภาพ 11 การเจริญเติบโตของเชื้อ *Leuconostoc mesenteroides* TISTR 473 ในอาหารเลี้ยง เชื้อ MRS ที่เพิ่มซูโคโรส 20 ที่อุณหภูมิ 30 องศาเซลเซียส (ก); ที่อุณหภูมิ 40 องศาเซลเซียส (ข); OD₆₀₀ (—★—) pH (—■—) \log_{10} cfu/ml (—○—) และ %Brix (—▲—)



ภาพ 12 การเจริญเติบโตของเชื้อ *Leuconostoc mesenteroides* TISTR473 ในน้ำอ้อยที่ อุณหภูมิ 30 องศาเซลเซียส (ก) และที่อุณหภูมิ 40 องศาเซลเซียส (ข); OD₆₀₀ (★) pH (■) log₁₀ cfu/ml (○) และ %Brix (▲)

2. การเจริญเติบโตของ *Weissella cibaria* ในอาหารเหลว MRS และในน้ำอ้อย

การเจริญเติบโตของ *Weissella cibaria* ในอาหาร MRS ที่เพิ่มชูครอสรอยละ 20 บ่ม ที่อุณหภูมิ 30 องศาเซลเซียส ไม่มีการควบคุมค่าพีเอชในอาหารเหลว มีปริมาณเชื้อตั้งต้นประมาณ 5 – 6 log₁₀cfu/ml ทำการเพาะเลี้ยงเป็นเวลา 48 ชั่วโมง (ภาพ 13ก) พบว่า *W. cibaria* สามารถ เจริญเติบโตได้ดี โดยมีการเจริญเติบโตสูงสุดที่ 16 ชั่วโมง โดยมีปริมาณเชื้อสูงสุดประมาณ 9.0 log₁₀cfu/ml มีช่วง log phase อยู่ในระหว่างชั่วโมงที่ 2 - 8 หลังจากชั่วโมงที่ 12-24 จะเข้าสู่ช่วง

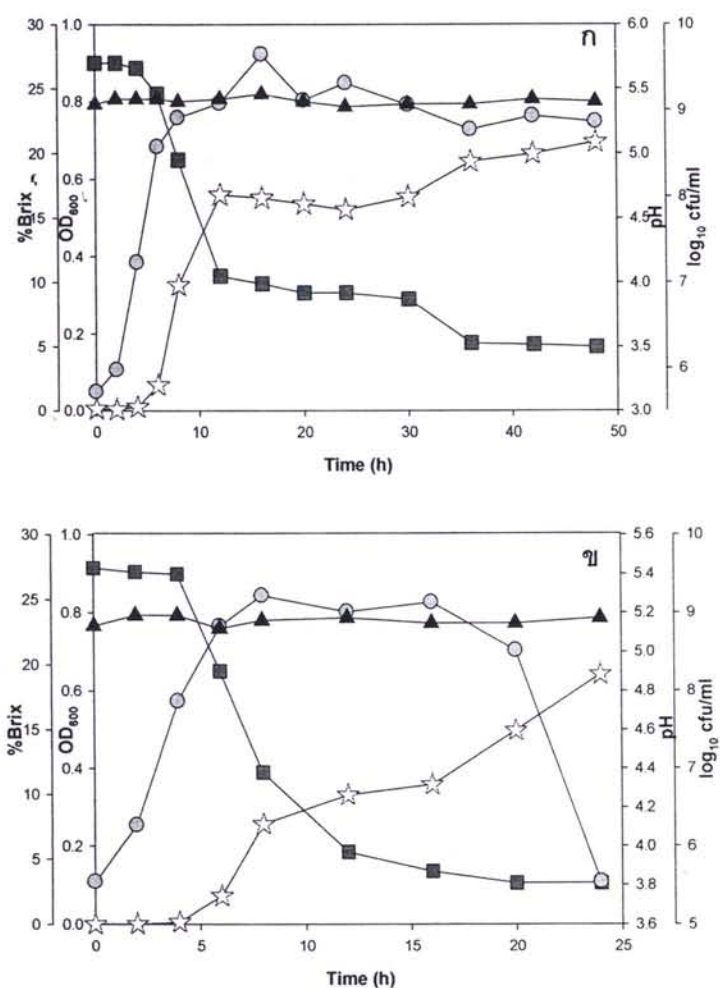
stationary phase หลังจากชั่วโมงที่ 24 เปริมาณเชื้อมีแนวโน้มลดลง โดยในชั่วโมงที่ 48 มีเปริมาณจุลินทรีย์เหลือร้อยละ 8.0 \log_{10} cfu/ml ในส่วนของค่าพีเอชในอาหารเหลวมีการลดลงอย่างรวดเร็วในช่วง log phase ซึ่งลดลงจาก pH 5.7 มาอยู่ในระดับที่ pH 4 ในชั่วโมงที่ 12 หลังจากเข้าสู่ช่วง stationary phase ค่าพีเอชมีการลดลงเล็กน้อยจนครบระยะเวลาในการเพาะเลี้ยงเชื้อที่ 48 ชั่วโมง

การเพาะเลี้ยงเชื้อ *W. cibaria* ในอาหาร MRS ที่เพิ่มน้ำครอส้อยละ 20 ไม่มีการควบคุมค่าพีเอชโดยมีเปริมาณเชื้อตั้งต้นประมาณ 5.0 – 6.0 \log_{10} cfu/ml บ่มที่อุณหภูมิ 40 องศาเซลเซียส เป็นเวลา 48 ชั่วโมง (ภาพ 13x) พบร้า *W. cibaria* มีช่วง log phase อยู่ในชั่วโมงที่ 1 - 6 มีการเจริญเติบโตสูงสุดที่ชั่วโมงที่ 8 โดยมีเปริมาณเชื้อประมาณ 9.0 \log_{10} cfu/ml จากนั้นเข้าสู่ช่วง stationary phase ที่ชั่วโมงที่ 8 - 16 หลังจากชั่วโมงที่ 16 - 24 จะเข้าสู่ช่วง death phase และไม่พบการเจริญของเชื้อ *W. cibaria* หลังจากชั่วโมงที่ 24 - 48 ส่วนค่าพีเอชในอาหารเหลวมีการลดลงอย่างรวดเร็วจาก pH 5.4 มาอยู่ในระดับ pH 3.8 หลังจากชั่วโมงที่ 4 จนถึงชั่วโมงที่ 16 หลังจากนั้นพีเอชจะค่อยๆ ลดลงจนครบระยะเวลาในการเพาะเลี้ยง ในส่วนของเปริมาณของแข็งที่สามารถละลายได้มีการเปลี่ยนแปลงเพียงเล็กน้อยจนเกือบจะไม่มีการเปลี่ยนแปลงตลอดช่วงระยะเวลาในการหมัก โดยมีเปริมาณของแข็งที่สามารถละลายได้เฉลี่ยเท่ากับ 24 เปอร์เซ็นต์ ทั้งการเพาะเลี้ยงที่อุณหภูมิ 30 และ 40 องศาเซลเซียส

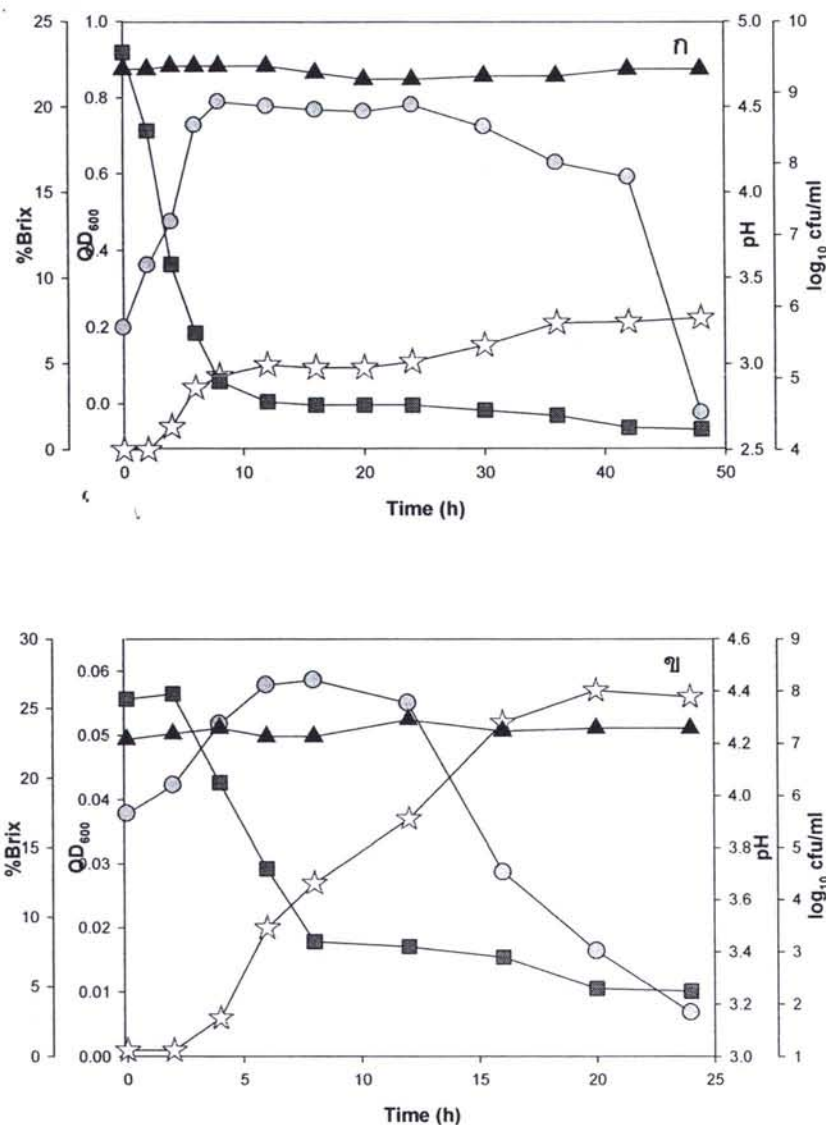
การเจริญเติบโตของ *W. cibaria* ที่ทำการเพาะเลี้ยงในน้ำอ้อย ไม่มีการควบคุมพีเอชในน้ำอ้อย ทำการเพาะเลี้ยงที่อุณหภูมิ 30 องศาเซลเซียส เป็นเวลา 48 ชั่วโมง โดยมีเปริมาณเชื้อตั้งต้นประมาณ 5 – 6 \log_{10} cfu/ml (ภาพ 14g) พบร้า *W. cibaria* สามารถเติบโตได้ มีช่วง log phase อยู่ในชั่วโมงที่ 1 - 6 จุลินทรีย์มีการเจริญเติบโตอย่างรวดเร็ว มีการเจริญสูงสุดที่ 12 - 20 ชั่วโมง โดยมีเปริมาณเชื้อสูงสุดประมาณ 8.0 \log_{10} cfu/ml จากนั้นเข้าสู่ช่วง stationary phase ในชั่วโมงที่ 12 - 24 และหลังจากชั่วโมงที่ 30 จะเข้าสู่ช่วง death phase โดยมีเปริมาณจุลินทรีย์ลดลงอย่างรวดเร็วและในชั่วโมงที่ 48 มีเปริมาณเชื้อเหลือร้อยละ 4.0 \log_{10} cfu/ml ในส่วนของค่าพีเอชในน้ำอ้อยมีการลดลงอย่างรวดเร็วในช่วง Log phase และตั้งแต่ชั่วโมงที่ 12 เป็นต้นไปจนถึงชั่วโมงสุดท้ายของกระบวนการหมักพีเอชจะค่อยๆ ลดลง

การเจริญเติบโตของเชื้อ *W. cibaria* ในน้ำอ้อย ที่อุณหภูมิ 40 องศาเซลเซียส ไม่มีการควบคุมพีเอชในน้ำอ้อย มีเปริมาณเชื้อตั้งต้นประมาณ 5 – 6 \log_{10} cfu/ml โดยทำการเพาะเลี้ยงเป็นเวลา 48 ชั่วโมง (ภาพ 14x) พบร้า *W. cibaria* ยังคงสามารถเจริญเติบโตได้ดี โดยมีเปริมาณเชื้อสูงสุดประมาณ 8.0 \log_{10} cfu/ml ในชั่วโมงที่ 6 - 8 และหลังจากชั่วโมงที่ 12 *W. cibaria* มี

ปริมาณลดลงอย่างรวดเร็ว โดยมีปริมาณเชื้อต่ำสุดที่ประมาณ $1.0 \log_{10} \text{cfu/ml}$ ในชั่วโมงที่ 24 และหลัง จากชั่วโมงที่ 24 เป็นต้นไปไม่พบการเจริญของเชื้อ *W. cibaria* ในส่วนของค่าพีเอชในน้ำอ้อย มีการลดลงอย่างรวดเร็วในชั่วโมงที่ 2-8 โดยลดจาก pH 4 ลงมาในระดับ pH 3.4 และหลังจาก ชั่วโมงที่ 12 ค่าพีเอชจะค่อยๆ ลดลงจนครบรอบระยะเวลาในการเพาะเลี้ยง ในส่วนของปริมาณของแข็ง ที่สามารถละลายได้จะไม่มีการเปลี่ยนแปลงมากนัก โดยมีปริมาณของแข็งที่สามารถละลายโดยได้ เคลื่อนย้ายประมาณ 23 เปอร์เซ็นต์ หั้งการเพาะเลี้ยงที่อุณหภูมิ 30 และ 40 องศาเซลเซียส



ภาพ 13 การเจริญเติบโตของเชื้อ *Weissella cibaria*; เพาะเลี้ยงในอาหารเลี้ยงเชื้อ MRS ที่เพิ่มซูโครัสร้อยละ 20 ที่อุณหภูมิ 30 องศาเซลเซียส (g); ในอาหารเลี้ยงเชื้อ MRS ที่เพิ่มซูโครัสร้อยละ 20 ที่อุณหภูมิ 40 องศาเซลเซียส (x); OD₆₀₀ (—★—) pH (—■—) log₁₀ cfu/ml (—○—) และ %Brix (—▲—)



ภาพ 14 การเจริญเติบโตของเชื้อ *Weissella cibaria*; เพาะเลี้ยงในน้ำอ้อย ที่อุณหภูมิ 30 องศาเซลเซียส (ก) และเพาะเลี้ยงในน้ำอ้อยที่อุณหภูมิ 40 องศาเซลเซียส (ข); OD_{600} (—★—) pH (—■—) \log_{10} cfu/ml (—○—) และ %Brix (—▲—)

จากการเพาะเลี้ยง *L. mesenteroides* TISTR 473 และ *W. cibaria* ในอาหารเลี้ยง เชื้อสำเร็จรูป MRS เพิ่มตู้ครอสรอยละ 20 เปรียบเทียบกับการเพาะเลี้ยงในน้ำอ้อย โดยไม่มีการควบคุมพิเศษ ซึ่งแหล่งอาหารเลี้ยงเชื้อทั้งสองมีปริมาณของแข็งที่สามารถละลายได้ (%Brix) ไม่แตกต่างกัน พบว่า ที่อุณหภูมิเดียวกัน จุลินทรีย์ทั้งสองสายพันธุ์สามารถเจริญเติบโตได้ดีทั้งใน

อาหารสำเร็จรูป MRS ที่เพิ่มชูโคร์ส้อยละ 20 และในน้ำอ้อย โดยมีปริมาณเชื้อสูงสุดที่ประมาณ $8.0 - 9.0 \log_{10} \text{cfu/ml}$ ทั้งที่อุณหภูมิ 30 และ 40 องศาเซลเซียส ซึ่งสอดคล้องกับปริมาณการปนเปื้อนของแบคทีเรียกลุ่ม *Leuconostoc* spp. ในกระบวนการผลิตน้ำตาล (ตาราง 2) ซึ่งมีปริมาณการปนเปื้อนสูงสุดโดยเฉลี่ยประมาณ $8.7 \log_{10} \text{cfu/ml}$ โดยที่อุณหภูมิ 30 องศาเซลเซียส จุลินทรีย์ทั้งสองสายพันธุ์ สามารถเจริญเติบโตได้ดีจนถึงชั่วโมงที่ 24 และยังคงสามารถเจริญได้จนถึงชั่วโมงที่ 48 ในขณะที่อุณหภูมิ 40 องศาเซลเซียส จุลินทรีย์ทั้งสองสายพันธุ์มีการเจริญเติบโตได้ดีจนถึงชั่วโมงที่ 12 แต่หลังจากนั้นจุลินทรีย์จะมีปริมาณลดลงอย่างรวดเร็ว และหลังจาก 24 ชั่วโมง มีปริมาณจุลินทรีย์ที่เหลือรอบอยู่น้อยมากหรือไม่พบการเจริญเติบโตของจุลินทรีย์เลย จากผลการทดลองแสดงให้เห็นว่าจุลินทรีย์ทั้งสองสายพันธุ์มีการเจริญเติบโตที่อุณหภูมิ 30 องศาเซลเซียส ได้ดีกว่าที่อุณหภูมิ 40 องศาเซลเซียส นั้นคืออุณหภูมิมีผลต่อการเจริญเติบโตของจุลินทรีย์ทั้งสองสายพันธุ์ โดยจุลินทรีย์จะสามารถเจริญได้ลดลงเมื่ออุณหภูมิเพิ่มขึ้น

เมื่อพิจารณาถึงค่าพีเอชของอาหารเลี้ยงเชื้อ โดยการทดลองในส่วนนี้จะไม่มีการควบคุมพีเอชของอาหารเลี้ยงเชื้อ ซึ่งในอาหารสำเร็จรูป MRS เพิ่มชูโคร์ส้อยละ 20 ที่นำมาเลี้ยงเชื้อในแต่ละครั้งจะมีค่าพีเอชเริ่มต้นเท่า ๆ กัน คือประมาณ 5.4 - 5.6 ในขณะที่ค่าพีเอชของน้ำอ้อยที่นำมาทำการทดลองแต่ละครั้งจะมีค่าพีเอชไม่เท่ากันขึ้นอยู่กับสภาพแวดล้อมและฤดูกาลของการปลูกอ้อยในช่วงเวลาต่างๆ ซึ่งจากสิ่งที่สังเกตได้ในระหว่างการทดลองจะพบว่า การเลี้ยงจุลินทรีย์ทั้งสองสายพันธุ์ในอาหารสำเร็จรูป MRS ที่เพิ่มชูโคร์ส้อยละ 20 เมื่อจุลินทรีย์มีการเจริญเติบโตมากขึ้น อาหารเหลวจะมีลักษณะเหนียวหนืดมากขึ้นเรื่อยๆ ซึ่งเกิดจากการสร้างเยกอร์ไซโพลีแซคคาไรด์ (Exopolysaccharide) ของจุลินทรีย์ ในขณะที่การเลี้ยงจุลินทรีย์ทั้งสองสายพันธุ์ในน้ำอ้อยนั้น ในบางครั้งจะพบอาหารเหลวที่มีลักษณะเหนียวหนืด แต่ในบางครั้งก็ไม่พบลักษณะเหนียวหนืดของอาหารเหลว แต่จุลินทรีย์ยังคงมีการเจริญเติบโตได้ดีไม่แตกต่างกัน ปริมาณของแข็งที่ละลายได้ในน้ำอ้อยมีค่าไม่แตกต่างกันในแต่ละครั้งที่ทำการทดลอง แต่สิ่งที่แตกต่างกันคือ ค่าพีเอชในน้ำอ้อยที่นำมาเพาะเลี้ยงในแต่ละครั้ง โดยถ้าในน้ำอ้อยที่นำมาทำการทดลองมีค่าพีเอชเริ่มต้นมากกว่า pH 5 ขึ้นไป อาหารเหลวจะมีลักษณะเหนียวหนืดมากขึ้นเรื่อยๆ เมื่อจุลินทรีย์เจริญเติบโตมากขึ้น แต่ถ้าในน้ำอ้อยที่นำมาทำการทดลองมีค่าพีเอชเริ่มต้นน้อยกว่า pH 5 เมื่อจุลินทรีย์เจริญเติบโตมากขึ้น อาหารเหลวก็ยังคงไม่พบลักษณะเหนียวหนืด

ดังนั้นจากการทดลองแสดงว่าค่าพีเอชในอาหารเลี้ยงจุลินทรีย์มีผลต่อการสร้างเยกอร์ไซโพลีแซคคาไรด์ของจุลินทรีย์ โดยจากการศึกษาของ Santos, et al. (2000, pp. 179-180) พบว่าอุณหภูมิและพีเอชมีผลต่อการเจริญเติบโตและการผลิตเด็กซ์แทرنของเชื้อ *Leuconostoc*

mesenteroides NRRL B512(f) โดยที่อุณหภูมิ 35 องศาเซลเซียส เป็นอุณหภูมิที่เหมาะสมต่อการเจริญเติบโตและการผลิตเด็กซ์แทรน และ pH 6.7 เป็นพีเอชที่เหมาะสมต่อการเจริญเติบโตมากที่สุด แต่ที่ pH 5.5 เป็นพีเอชที่เหมาะสมต่อการสร้างเด็กซ์แทรนมากที่สุด และเมื่อพิจารณาถึงระยะเวลาในการเพาะเลี้ยงจุลินทรีย์ จากผลการทดลองจะเห็นได้ว่าจุลินทรีย์ทั้ง *L. mesenteroides* TISTR 473 และ *W. cibaria* สามารถเจริญได้ดีจนถึงช่วงที่ 24 หั้งที่อุณหภูมิ 30 และ 40 องศาเซลเซียส และหลังจากช่วงที่ 24 ไปประมาณมาจนจุลินทรีย์มีการลดลง ดังนั้นในการทดลองครั้งต่อไปจึงจะใช้ระยะเวลาในการเพาะเลี้ยงเพียง 24 ชั่วโมงและทำการควบคุมพีเอชของน้ำข้ออย่างที่นำมาทำการศึกษา โดยปรับค่าพีเอชให้อยู่ในช่วง pH 5.0 - 5.5 เพื่อให้เหมาะสมต่อการเจริญเติบโตและการสร้างเด็กซ์แทรนของ *L. mesenteroides* TISTR 473 และ *W. Cibaria* มากที่สุด

ผลของอุณหภูมิต่อการเติบโต ระดับกิจกรรมเอนไซม์เด็กซ์แทรนซูเครส ปริมาณซูโคเรส ปริมาณเด็กซ์แทรนและปริมาณฟรอก็อตสของ *W. cibaria* และ *L. mesenteroides* TISTR473 ในน้ำอ้อย

1. ผลของอุณหภูมิต่อการเติบโตของ *W. cibaria* และ *L. mesenteroides* TISTR 473

การศึกษาผลของอุณหภูมิต่อการเจริญเติบโตของ *W. cibaria* ซึ่งเป็นจุลินทรีย์ที่แยกได้จากการผลิตน้ำตาล ที่อุณหภูมิ 3 ระดับ คือ 20 30 และ 40 องศาเซลเซียส ทำการเพาะเลี้ยงในน้ำอ้อยที่ปรับพีเอชให้อยู่ในช่วง 5.0 – 5.5 และให้อากาศโดยการเขย่า (200 รอบต่อนาที) ปริมาณเชื้อตั้งต้นโดยเฉลี่ยประมาณ 5 – 6 \log_{10} cfu/ml ทำการเพาะเลี้ยงเป็นเวลา 24 ชั่วโมง พบว่าที่อุณหภูมิ 20 องศาเซลเซียส *W. cibaria* สามารถเจริญเติบโตได้ดีและมีการเพิ่มปริมาณขึ้นอย่างต่อเนื่องในช่วงชั่วโมงที่ 0 – 8 เข้าสู่ช่วง stationary phase ในช่วงที่ 8 และมีปริมาณเชื้อคงที่จนถึงชั่วโมงที่ 24 โดยมีปริมาณเชื้อสูงสุดเท่ากับ 9.23 \log_{10} cfu/ml ซึ่งเพิ่มขึ้น 3.70 \log_{10} cfu/ml และมีสัดส่วนปริมาณจุลินทรีย์ต่อปริมาณจุลินทรีย์เริ่มต้น ($\log N/N_0$) เท่ากับ 1.79 (ภาพ 15ก)

ที่ อุณหภูมิ 30 องศาเซลเซียส *W. cibaria* ยังคงสามารถเจริญเติบโตได้ดีโดยมีช่วง log phase อยู่ในระหว่างชั่วโมงที่ 0 - 8 หลังจากนั้นจึงเข้าสู่ช่วง stationary phase และในชั่วโมงที่ 24 มีปริมาณจุลินทรีย์สูงสุด 8.68 \log_{10} cfu/ml โดยเพิ่มขึ้น 3.17 \log_{10} cfu/ml และมีสัดส่วนปริมาณจุลินทรีย์ต่อปริมาณจุลินทรีย์เริ่มต้น ($\log N/N_0$) เท่ากับ 1.57

ในขณะที่อุณหภูมิ 40 องศาเซลเซียส *W. cibaria* สามารถเจริญเติบโตและเพิ่มจำนวนขึ้นจนถึงชั่วโมงที่ 6 โดยมีปริมาณเชื้อ $9.70 \log_{10} \text{cfu/ml}$ หลังจากนั้นจุลินทรีย์มีการลดลงอย่างรวดเร็ว โดยในชั่วโมงที่ 24 มีปริมาณเชื้อเหลือรอดเท่ากับ $1.39 \log_{10} \text{cfu/ml}$ ซึ่งปริมาณจุลินทรีย์ในชั่วโมงสุดท้ายลดลงจากปริมาณเชื้อตั้งต้นถึง $4.51 \log_{10} \text{cfu/ml}$ และเมื่อพิจารณาสัดส่วนปริมาณจุลินทรีย์ต่อปริมาณจุลินทรีย์เริ่มต้น ($\log N/N_0$) เมื่อเวลา 24 ชั่วโมงพบว่ามีค่าเท่ากับ 0.2

จากการศึกษาผลของอุณหภูมิต่อการเจริญเติบโตของ *L. mesenteroides* TISTR 473 ภายใต้สภาวะการเพาะเลี้ยงเดียวกันกับ *W. cibaria* พบว่า *L. mesenteroides* TISTR 473 สามารถเจริญเติบโตได้ดีที่อุณหภูมิ 20 องศาเซลเซียส มีการเพิ่มปริมาณอย่างต่อเนื่องในช่วง log phase ตั้งแต่ชั่วโมงที่ 0 – 8 หลังจากชั่วโมงที่ 8 ปริมาณเชื้อเริ่มคงที่เป็นช่วง stationary phase จนถึงชั่วโมงที่ 24 มีปริมาณเชื้อสูงสุดเท่ากับ $9.00 \log_{10} \text{cfu/ml}$ ซึ่งเพิ่มขึ้น $3.08 \log_{10} \text{cfu/ml}$ และมีสัดส่วนปริมาณจุลินทรีย์ต่อปริมาณจุลินทรีย์เริ่มต้น ($\log N/N_0$) เท่ากับ 1.52 (ภาพ 15)

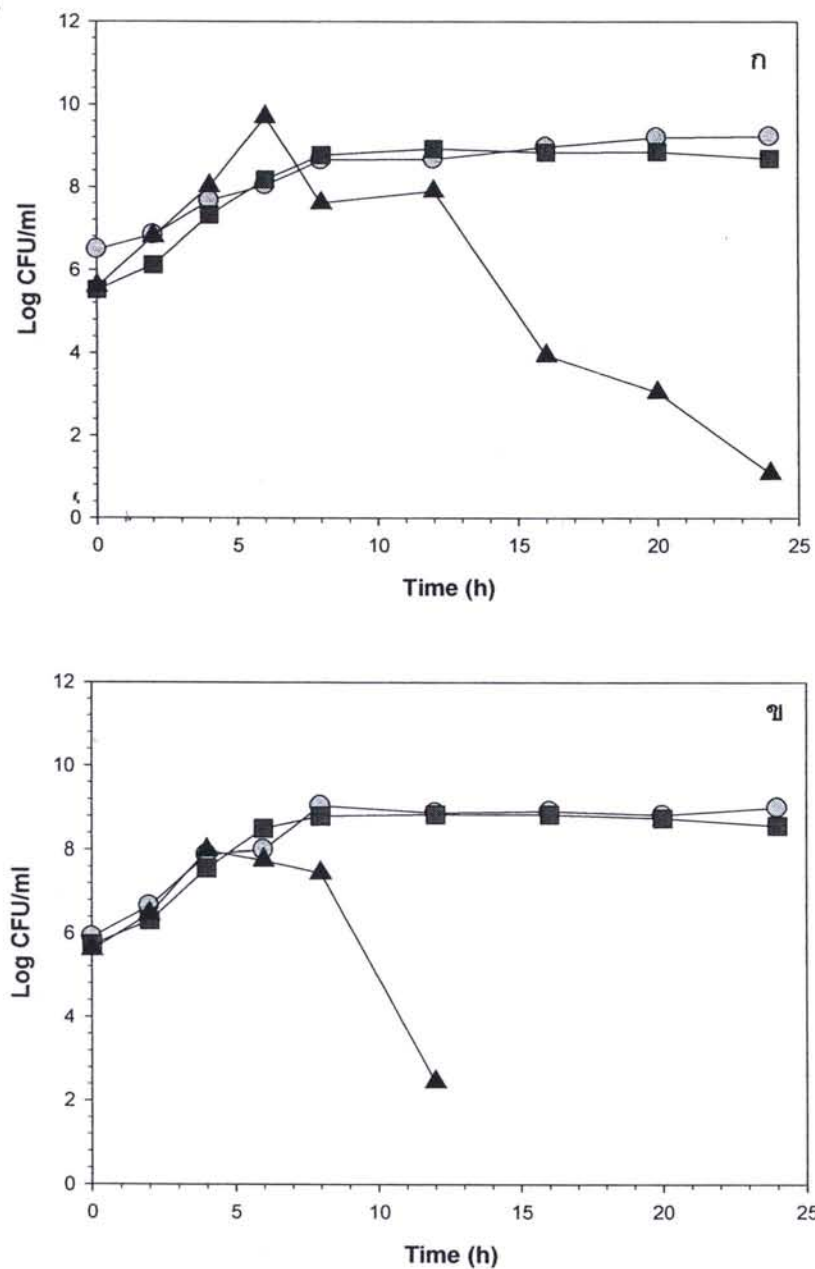
ส่วนที่ อุณหภูมิ 30 องศาเซลเซียส *L. mesenteroides* TISTR 473 ยังคงสามารถเจริญเติบโตได้ดี ในช่วงชั่วโมงที่ 0 – 6 มีการเพิ่มปริมาณขึ้นอย่างต่อเนื่อง และเข้าสู่ช่วง stationary phase ในชั่วโมงที่ 8 โดยมีปริมาณเชื้อคงที่จนถึงชั่วโมงที่ 24 และมีปริมาณเชื้อสูงสุดเท่ากับ $8.57 \log_{10} \text{cfu/ml}$ ซึ่งเพิ่มขึ้น $2.84 \log_{10} \text{cfu/ml}$ และมีสัดส่วนปริมาณจุลินทรีย์ต่อปริมาณจุลินทรีย์เริ่มต้น ($\log N/N_0$) เท่ากับ 1.50

ในขณะที่อุณหภูมิ 40 องศาเซลเซียส *L. mesenteroides* TISTR 473 สามารถเจริญเติบโตและเพิ่มจำนวนขึ้นจนถึงชั่วโมงที่ 6 โดยมีปริมาณเชื้อเท่ากับ $7.75 \log_{10} \text{cfu/ml}$ หลังจากนั้นจุลินทรีย์มีการลดลงอย่างรวดเร็ว โดยในชั่วโมงที่ 12 มีปริมาณเชื้อเหลือรอดเท่ากับ $2.46 \log_{10} \text{cfu/ml}$ ซึ่งปริมาณจุลินทรีย์ในชั่วโมงที่ 12 ลดลงจากปริมาณเชื้อตั้งต้นถึง $3.15 \log_{10} \text{cfu/ml}$ และไม่พบการเจริญเติบโตของจุลินทรีย์หลังชั่วโมงที่ 16 โดยเมื่อพิจารณาสัดส่วนปริมาณจุลินทรีย์ต่อปริมาณจุลินทรีย์เริ่มต้น ($\log N/N_0$) เมื่อเวลา 12 ชั่วโมงพบว่ามีค่าเท่ากับ 0.44

เมื่อทำการเปรียบเทียบผลของอุณหภูมิต่ออัตราการเจริญเติบโตของ *W. cibaria* กับ *L. mesenteroides* TISTR 473 ซึ่งเป็นเชื้อควบคุมเนื่องจากเป็นเชื้อที่มีรายงานว่ามีการทึบปิดเป็นอนุตสาหกรรมน้ำตาลและสามารถสร้างเด็กซ์แทรนได้ จากผลการทดลองพบว่าจุลินทรีย์ทั้งสองสายพันธุ์มีความสามารถในการเจริญในน้ำอ้อยที่คล้ายคลึงกัน นั่นคือสามารถเจริญเติบโตได้ที่ อุณหภูมิ 20 และ 30 องศาเซลเซียส ส่วนที่ อุณหภูมิ 40 องศาเซลเซียส จุลินทรีย์ทั้งคู่เจริญได้ในช่วง

0 – 6 ชั่วโมงแรก จากนั้นเจริญได้น้อยลง *W. cibaria* มีปริมาณลดลงเรื่อยๆ จนถึงชั่วโมงที่ 24 แต่ไม่พบการเจริญของ *L. mesenteroides* TISTR 473 หลังจากชั่วโมงที่ 16 (ภาพ 15x) เมื่อเปรียบเทียบสัดส่วนปริมาณจุลินทรีย์ต่อปริมาณจุลินทรีย์เริ่มต้น ($\log N/N_0$) (ตาราง 4) พบว่า ที่อุณหภูมิ 20 30 และ 40 องศาเซลเซียส *W. cibaria* มีสัดส่วนปริมาณจุลินทรีย์ต่อปริมาณจุลินทรีย์เริ่มต้น ($\log N/N_0$) เท่ากับ 1.79 ± 0.00 1.57 ± 0.14 และ 0.2 ± 0.03 ตามลำดับ ส่วน *L. mesenteroides* TISTR 473 มีสัดส่วนปริมาณจุลินทรีย์ต่อปริมาณจุลินทรีย์เริ่มต้น ($\log N/N_0$) ที่อุณหภูมิ 20 30 และ 40 องศาเซลเซียสเท่ากับ 1.52 ± 0.00 1.50 ± 0.11 และ 0.44 ± 0.06 ตามลำดับ

ผลการทดลองซึ่งให้เห็นว่าอุณหภูมิที่เหมาะสมต่อขบยังการเติบโตของ *W. cibaria* ที่สุดคือที่อุณหภูมิ 40 องศาเซลเซียส ในขณะที่อุณหภูมิ 20 และ 30 องศาเซลเซียส เหมาะสมต่อการเจริญเติบโตของจุลินทรีย์ ซึ่งผลการทดลองที่ได้มีความสอดคล้องกับงานวิจัยของ Santos, et al. (2000, pp. 177-188) ที่ทำการศึกษาสภาพภาวะการ萌芽ที่เหมาะสมที่สุดสำหรับการผลิตเด็กซ์แทรนและฟรอกโตส ปัจจัยที่ทำการศึกษาได้แก่ผลของอุณหภูมิ พื้นที่ ความเข้มข้นของซูโครสเริ่มต้น และการให้อาหารต่อการผลิตของเด็กซ์แทรนและฟรอกโตส โดยใช้ *L. mesenteroides* NRRL-B 512(F) และจากการทดลองพบว่า *L. mesenteroides* NRRL-B 512(F) สามารถเจริญได้ดีที่อุณหภูมิในช่วง 20 – 30 องศาเซลเซียส และที่อุณหภูมิ 40 องศาเซลเซียส ไม่พบการเจริญของเชื้อแบคทีเรียเกิดขึ้น โดยอุณหภูมิที่สูงขึ้นมีผลทำให้การเจริญเติบโตของจุลินทรีย์ลดลง



ภาพ 15 รูปแบบการเจริญเติบโตของ *Weissella cibaria* (n) และ *Leucunostoc mesenteroides* TISTR 473 (x) ในน้ำอ้อย (pH 5.0-5.5) ที่อุณหภูมิ 20 (—○—) 30 (—■—) และ 40 (—▲—) องศาเซลเซียส

ตาราง 4 สัดส่วนการเพิ่มปริมาณของ และ *W. cibaria* และ *L. mesenteroides* TISTR473 ที่ อุณหภูมิต่างๆ

Strain	สัดส่วนปริมาณจุลินทรีย์ต่อปริมาณจุลินทรีย์เริ่มต้น (logN/N ₀)		
	20 ⁰ C	30 ⁰ C	40 ⁰ C
<i>W. cibaria</i>	1.79±0.00 ^a	1.57±0.14 ^b	0.24±0.03 ^c
<i>L. mesenteroides</i> TISTR 473	1.52±0.00 ^a	1.50±0.11 ^a	0.44±0.06 ^b

หมายเหตุ: อักษรตัวพิมพ์เล็กขึ้นบایในแนวนอนที่ต่างกันแสดงถึงความแตกต่างทางสถิติ ที่ระดับ ความเชื่อมั่น 95%

2. ผลของอุณหภูมิต่อระดับกิจกรรมเอนไซม์เด็กซ์แทرنซูเครสของ *Weissella cibaria* และ *Leuconostoc mesenteroides* TISTR 473

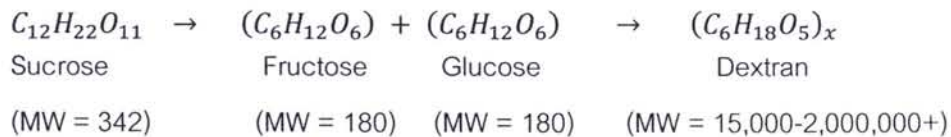
ทำการเพาะเลี้ยง *W. cibaria* ที่อุณหภูมิ 20 30 และ 40 องศาเซลเซียส ในน้ำอ้อย (pH 5.0 – 5.5) ให้อาภาคโดยการขยายตัวที่ 200 รอบต่อนาที โดยมีปริมาณเชื้อตั้งต้นโดยเฉลี่ยประมาณ 5 – 6 log₁₀cfu/ml เป็นเวลา 24 ชั่วโมง เพื่อศึกษาระดับกิจกรรมเอนไซม์เด็กซ์แทرنซูเครส พบว่า *W. cibaria* มีกิจกรรมเอนไซม์เด็กซ์แทرنซูเครสสูงสุดที่ 20 องศาเซลเซียส ($p<0.05$) โดยมีระดับกิจกรรมเอนไซม์เท่ากับ 2.89 DSU/ml รองลงมาคือที่อุณหภูมิ 30 และ 40 องศาเซลเซียส โดยมีระดับกิจกรรมเอนไซม์เท่ากับ 0.77 DSU/ml และ 0.12 DSU/ml ตามลำดับ เมื่อพิจารณาอัตราการผลิตเอนไซม์เด็กซ์แทرنซูเครสพบว่า *W. cibaria* มีอัตราการผลิตเอนไซม์เด็กซ์แทرنซูเครสที่อุณหภูมิ 20 30 และ 40 องศาเซลเซียส เท่ากับ $0.12 \text{ DSU ml}^{-1} \text{ h}^{-1}$ $0.03 \text{ DSU ml}^{-1} \text{ h}^{-1}$ และ $0.005 \text{ DSU ml}^{-1} \text{ h}^{-1}$ ตามลำดับ (ตาราง 5)

จากการศึกษาระดับกิจกรรมเอนไซม์เด็กซ์แทرنซูเครสของ *L. mesenteroides* TISTR 473 พบว่า ที่อุณหภูมิ 20 องศาเซลเซียส *L. mesenteroides* TISTR 473 มีกิจกรรมเอนไซม์เด็กซ์แทرنซูเครสสูงสุด เท่ากับ 1.94 DSU/ml รองลงมาคือที่อุณหภูมิ 30 และ 40 องศาเซลเซียส โดยมีระดับกิจกรรมเอนไซม์เท่ากับ 0.74 DSU/ml และ 0.02 DSU/ml ตามลำดับ เมื่อพิจารณาอัตราการผลิตเอนไซม์เด็กซ์แทرنซูเครส พบว่า ที่อุณหภูมิ 20 30 และ 40 องศาเซลเซียส

L. mesenteroides TISTR 473 มีอัตราการผลิตเอนไซม์เด็กซ์แทرنชูแครส เท่ากับ 0.08 DSUml⁻¹h⁻¹ 0.03 DSUml⁻¹h⁻¹ และ 0.001 DSUml⁻¹h⁻¹ ตามลำดับ

เมื่อทำการเปรียบเทียบผลของอุณหภูมิต่อระดับกิจกรรมเอนไซม์เด็กซ์แทرنชูแครส ของ *W. cibaria* และ *L. mesenteroides* TISTR 473 พบร่วมกันที่อุณหภูมิ 20 องศาเซลเซียส รองลงมาคือที่อุณหภูมิ 30 องศาเซลเซียส และต่ำที่สุดที่ 40 องศาเซลเซียส โดยที่อุณหภูมิที่ 20 และ 40 องศาเซลเซียส *W. cibaria* มีระดับกิจกรรมเอนไซม์เด็กซ์แทرنชูแครสสูงกว่า *L. mesenteroides* TISTR 473 อย่างมีนัยสำคัญทางสถิติ ($p<0.05$) และฉลุ่นที่ต่างกันที่อุณหภูมิ 30 องศาเซลเซียส ($p>0.05$) ที่อุณหภูมิ 30 องศาเซลเซียส

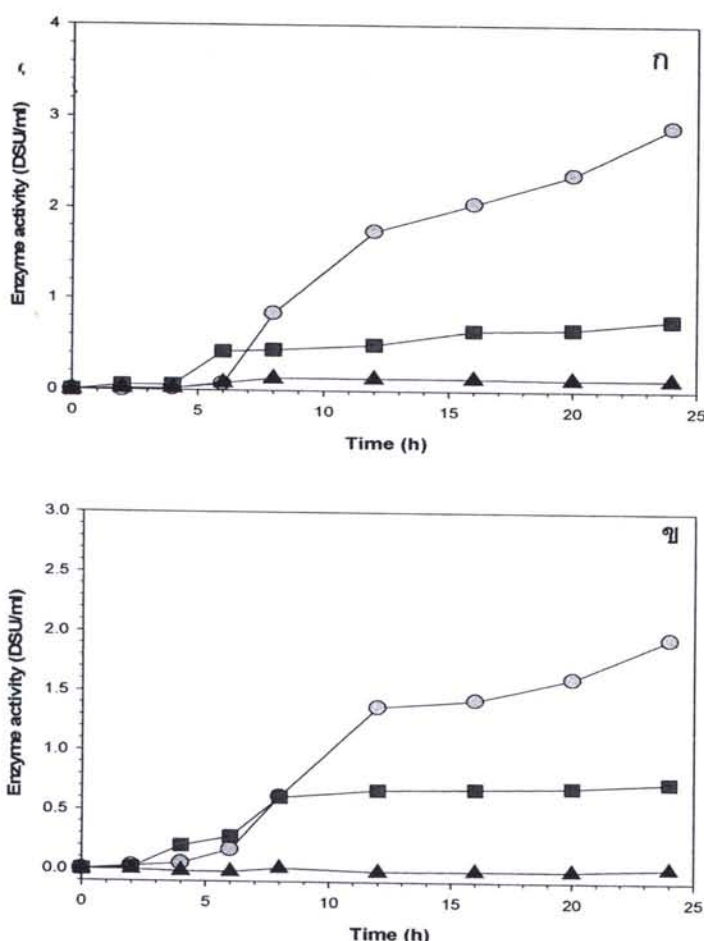
แบคทีเรียที่พบในสกุล *Leuconostoc* spp. สายพันธุ์ *L. mesenteroides* และ *L. dextranicum* สามารถผลิตเอนไซม์เด็กซ์แทرنชูแครสได้เมื่อเจริญบนอาหารที่มีซูโคโรสสูง โดยใช้แบคทีเรียจะใช้ซูโคโรสในการเจริญเติบโตและเพิ่มเชลล์ ในขณะเดียวกันในแต่ละเชลล์ยังได้มีผลิตเอนไซม์เด็กซ์แทرنชูแครสขึ้น โดยซูโคโรสเป็นสารตั้งต้นเพียงชนิดเดียวที่กระตุ้นให้เกิดการผลิตเอนไซมนี้ เอนไซม์เด็กซ์แทرنชูแครสจะทำหน้าที่ย้ายหมู่กลูโคซิล (transglucosylation) จากโมเลกุลของน้ำตาลซูโคโรส เกิดเป็นเด็กซ์แทرنและปลดปล่อยส่วนของฟрукโตสออกมาน้ำ ดังสมการ (James and Chung, 1993)



ในขณะนี้ยังมีรายงานน้อยมากในเรื่องของการแยกเชื้อ *W. cibaria* ได้จากน้ำอ้อย แต่จากการศึกษาของ Bouaix, et al. (2010, pp. 18 – 26) พบร่วมกันที่อุณหภูมิ 20 องศาเซลเซียส สามารถสังเคราะห์เอนไซม์เด็กซ์แทرنชูแครสจากซูโคโรสได้ ดังนั้นจึงมีความเป็นไปได้ที่หาก *W. cibaria* สามารถเจริญเติบโตได้ และเพิ่มจำนวนเชลล์ได้ อาจส่งผลให้มีการผลิตเอนไซม์เด็กซ์แทرنชูแครสมากขึ้นได้ เช่นกัน Santos, et al. (2000, pp. 177-188) ได้ทำการศึกษาผลของอุณหภูมิ ที่อุ่น ความเข้มข้นของซูโคโรสเริ่มต้น และการให้อาหารต่อการผลิตของเด็กซ์แทرنและฟruktoz ของ *L. mesenteroides* NRRRL-B 512 (F) พบร่วมกัน ที่อุณหภูมิที่เพิ่มขึ้นมีผล

ทำให้ระดับกิจกรรมเอนไซม์เด็กซ์แทرنซูเครสลดลง ซึ่งสอดคล้องกับผลที่ได้จากการทดลองนี้ โดยที่อุณหภูมิต่ำ (20 และ 30 องศาเซลเซียส) จุลินทรีย์ทั้งสองสายพันธุ์มีการเจริญเติบโตได้ดีและมีระดับกิจกรรมเอนไซม์เด็กซ์แทرنซูเครสสูง ในขณะที่อุณหภูมิสูง (40 องศาเซลเซียส) จุลินทรีย์ทั้งคู่ มีการเจริญเติบโตได้น้อยและมีระดับกิจกรรมเอนไซม์เด็กซ์แทرنซูเครสต่ำ

ผลการทดลองที่ได้แสดงให้เห็นว่าอุณหภูมิที่เหมาะสมที่สุดสำหรับ *W. cibaria* และ *L. mesenteroides*TISTR473 ในการยับยั้งการผลิตเอนไซม์เด็กซ์แทرنซูเครสคือ 40 องศาเซลเซียส ในขณะที่อุณหภูมิ 20 และ 30 องศาเซลเซียสเชื่อทั้งคู่ยังคงมีระดับกิจกรรมเอนไซม์เด็กซ์แทرنซูเครสที่สูงมาก



ภาพ 16 ระดับกิจกรรมเอนไซม์เด็กซ์แทرنซูเครสของ *Weissella cibaria* (ก) และ ของ *Leucunostoc mesenteroides*TISTR473 (ข) ในน้ำอ้ออย (pH 5.0-5.5) ที่อุณหภูมิ 20 (—○—) 30 (—■—) และ 40 (—▲—) องศาเซลเซียส

ตาราง 5 ระดับกิจกรรมเอนไซม์เด็กซ์แทرنซูเครสและอัตราการผลิตเอนไซม์เด็กซ์แทرنซูเครส ของ *Weissella cibaria* และ *Leucunostoc mesenteroides* TISTR473 ในน้ำอ้อย (pH 5.0 – 5.5) ที่อุณหภูมิ 20 30 และ 40 องศาเซลเซียส

Strain	อุณหภูมิ		
	20 ⁰ C	30 ⁰ C	40 ⁰ C
<i>W. cibaria</i>			
ระดับกิจกรรมเอนไซม์เด็กซ์แทرنซูเครส (DSU/ml)(24 h)	2.89±0.01 ^{aA}	0.77±0.01 ^{bA}	0.12±0.00 ^{cA}
อัตราการผลิตเอนไซม์เด็กซ์แทرنซูเครส (DSUml ⁻¹ h ⁻¹)	0.12±0.00 ^{aC}	0.03±0.00 ^{bB}	0.005±0.00 ^{cC}
<i>L. mesenteroides</i> TISTR 473			
ระดับกิจกรรมเอนไซม์เด็กซ์แทرنซูเครส (DSU/ml)(24 h)	1.94±0.00 ^{aB}	0.73±0.02 ^{bA}	0.02±0.00 ^{cB}
อัตราการผลิตเอนไซม์เด็กซ์แทرنซูเครส (DSUml ⁻¹ h ⁻¹)	0.08±0.01 ^{aD}	0.03±0.00 ^{bB}	0.001±0.00 ^{cD}

หมายเหตุ: อักษรตัวพิมพ์เล็กในแนวนอนที่ต่างกันแสดงถึงความแตกต่างทางสถิติ ที่ระดับความเชื่อมั่น 95% และอักษรตัวพิมพ์ใหญ่ในแนวตั้งที่ต่างกันแสดงถึงความแตกต่างทางสถิติ ที่ระดับความเชื่อมั่น 95%

3. ผลของอุณหภูมิต่อปริมาณซูโครสของ *W. cibaria* และ *L. mesenteroides* TISTR 473

การศึกษาผลของอุณหภูมิต่อปริมาณซูโครสของ *W. cibaria* โดยทำการเพาะเลี้ยง จุลินทรีย์ในน้ำอ้อย ($\text{pH } 5.0 - 5.5$) ที่อุณหภูมิ 3 ระดับ คือ 20 30 และ 40 องศาเซลเซียส ให้สามารถโดยการเขย่า (200 รอบต่อนาที) ปริมาณเชื้อตั้งต้นโดยเฉลี่ยประมาณ 5.0 – 6.0 $\log_{10} \text{cfu/ml}$ ระยะเวลาในการเพาะเลี้ยง 24 ชั่วโมง พบร่วมกันที่อุณหภูมิ 20 องศาเซลเซียส ปริมาณซูโครสลดลงอย่างรวดเร็วหลังจากชั่วโมงที่ 8 (ภาพ 17ก) ในชั่วโมงที่ 0 มีปริมาณซูโครสตั้งต้นประมาณ 154.69 กรัมต่อลิตร เมื่อทำการเพาะเลี้ยง 24 ชั่วโมง ปริมาณซูโครสลดลงเหลือประมาณ 67.09 กรัมต่อลิตร คำนวณอัตราการใช้ซูโครสได้เท่ากับ 3.65 กรัมต่อลิตรต่อชั่วโมง ที่อุณหภูมิ 30 องศาเซลเซียส มีการลดลงของปริมาณซูโครสอย่างรวดเร็วเช่นกันแต่ต่ำกว่าที่อุณหภูมิ 20 องศาเซลเซียส โดยมีอัตราการใช้ซูโครสเท่ากับ 1.97 กรัมต่อลิตรต่อชั่วโมง ในขณะที่อุณหภูมิ 40 องศาเซลเซียส การเปลี่ยนแปลงปริมาณซูโครสเกิดขึ้นน้อยมากในระหว่างการเพาะเลี้ยง มีอัตราการใช้ซูโครสเท่ากับ 0.10 กรัมต่อลิตรต่อชั่วโมง

การศึกษาผลของอุณหภูมิต่อปริมาณซูโครสของ *L. mesenteroides* TISTR 473 พบร่วมกันที่อุณหภูมิ 20 และ 30 องศาเซลเซียส ปริมาณซูโครสอย่างรวดเร็ว โดยที่อุณหภูมิ 20 องศาเซลเซียส มีปริมาณซูโครสตั้งต้นประมาณ 157.07 กรัมต่อลิตร เมื่อทำการเพาะเลี้ยง 24 ชั่วโมง ปริมาณซูโครสลดลงเหลือประมาณ 72.23 กรัมต่อลิตร และมีอัตราการใช้ซูโครสได้เท่ากับ 3.53 กรัมต่อลิตรต่อชั่วโมง ที่อุณหภูมิ 30 องศาเซลเซียส มีปริมาณซูโครสตั้งต้นประมาณ 169.00 กรัมต่อลิตร เมื่อทำการเพาะเลี้ยง 24 ชั่วโมง ปริมาณซูโครสลดลงเหลือประมาณ 95.65 กรัมต่อลิตร มีอัตราการใช้ซูโครสเท่ากับ 3.05 กรัมต่อลิตรต่อชั่วโมง ในขณะที่อุณหภูมิ 40 องศาเซลเซียส การเปลี่ยนแปลงของปริมาณซูโครสเพียงเล็กน้อย โดยมีอัตราการใช้ซูโครสเท่ากับ 0.02 กรัมต่อลิตรต่อชั่วโมง

เมื่อทำการเปรียบเทียบผลของอุณหภูมิต่อปริมาณซูโครสของ *W. cibaria* กับ *L. mesenteroides* TISTR 473 พบร่วมกันที่จุลินทรีย์ทั้งสองสายพันธุ์มีรูปแบบการใช้ซูโครสคล้ายคลึงกัน โดยที่อุณหภูมิ 20 องศาเซลเซียส มีอัตราการใช้ซูโครสสูงที่สุด รองลงมาคือ 30 องศาเซลเซียส และที่อุณหภูมิ 40 องศาเซลเซียส มีอัตราการใช้ซูโครสต่ำที่สุด ($p < 0.05$) เมื่อเปรียบเทียบอัตราการใช้ซูโครส (ตาราง 6) พบร่วมกันที่อุณหภูมิ 20 30 และ 40 องศาเซลเซียส *W. cibaria* มีอัตราการใช้ซูโครสเท่ากับ 3.65 ± 0.18 1.97 ± 0.34 และ 0.10 ± 0.03 กรัมต่อลิตรต่อชั่วโมง ตามลำดับ ส่วน *L. mesenteroides* TISTR 473 มีอัตราการใช้ซูโครสที่อุณหภูมิ 20 30 และ 40 องศาเซลเซียส เท่ากับ 3.54 ± 0.16 3.06 ± 0.32 และ 0.02 ± 0.00 กรัมต่อลิตรต่อชั่วโมง ตามลำดับ

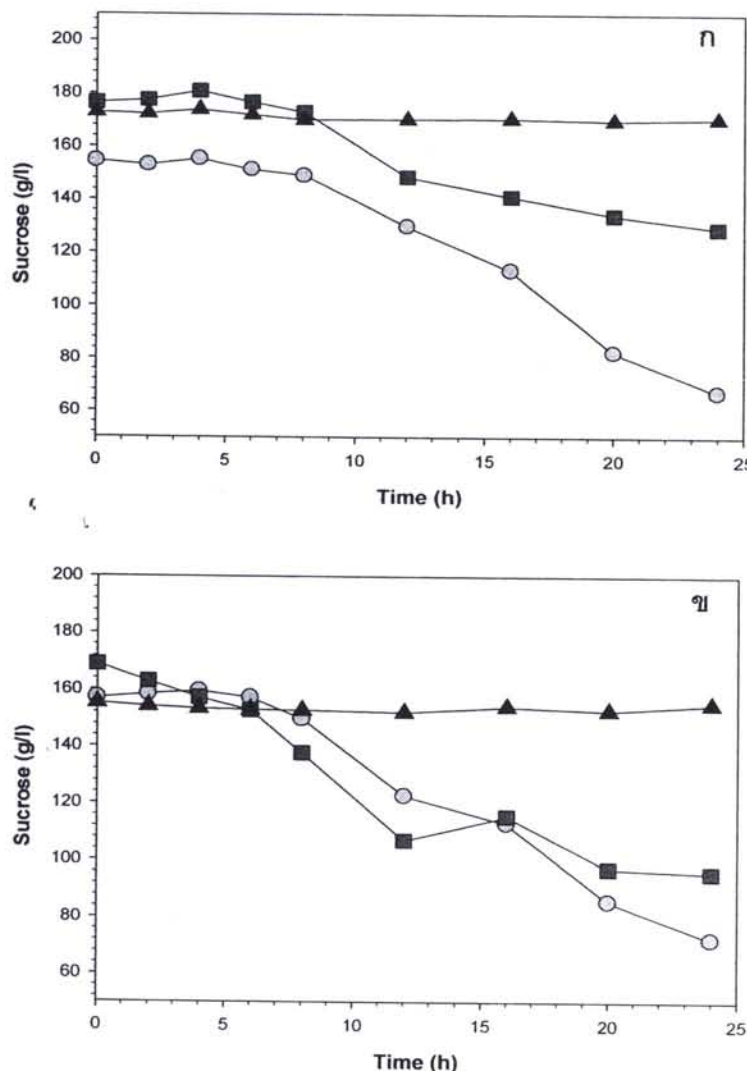
ผลการลดลงของปริมาณซูโครัสที่ได้สอดคล้องกับข้อมูลการเจริญเติบโตของจุลินทรีย์ โดยเมื่อจุลินทรีย์สามารถเจริญได้ดีย่อมส่งผลทำให้เกิดการสูญเสียซูโครมากขึ้น ในอาหารที่มีซูโครัสเป็นแหล่งคาร์บอน จุลินทรีย์จะใช้ซูโครัสในการเจริญเติบโตและเพิ่มจำนวน เช่นเดียวกับผลการทดลองในตอนที่ 6.1 ซึ่งเห็นว่า *W. cibaria* และ *L. mesenteroides* TISTR 473 สามารถเจริญได้ดีที่อุณหภูมิ 20 และ 30 องศาเซลเซียส ส่งผลให้ที่สภาวะดังกล่าวมีการลดลงของปริมาณซูโครมาก เช่นกัน ส่วนที่ 40 องศาเซลเซียส จุลินทรีย์ทั้งคู่เจริญเติบโตได้น้อย ทำให้ปริมาณซูโครัสลดลงเพียงเล็กน้อย

ข้อมูลที่ได้แสดงให้เห็นว่า *W. cibaria* และ *L. mesenteroides* TISTR 473 ทำให้ซูโครมีปริมาณลดลงมากที่สุดที่อุณหภูมิ 20 องศาเซลเซียส รองลงมาคือ 30 องศาเซลเซียส และที่ 40 องศาเซลเซียส มีการลดลงของปริมาณซูโครัสน้อยที่สุด สามารถสรุปได้ว่าอุณหภูมิ 40 องศาเซลเซียส เป็นอุณหภูมิที่สามารถลดการสูญเสียซูโครัสในน้ำอ้อยเนื้องจาก *W. cibaria* และ *L. mesenteroides* TISTR 473 ได้ดีที่สุด

ตาราง 6 อัตราการใช้ซูโครัสของ *Weissella cibaria* และ *Leucunostoc mesenteroides* TISTR 473 ในน้ำอ้อย ($\text{pH } 5.0 - 5.5$) ที่อุณหภูมิ 20 30 และ 40 องศาเซลเซียส

Strain	อัตราการใช้ซูโครัส (g/l/h)		
	20°C	30°C	40°C
<i>W. cibaria</i>	3.65 ± 0.18^a	1.97 ± 0.34^b	0.10 ± 0.03^c
<i>L. mesenteroides</i> TISTR 473	3.54 ± 0.16^a	3.06 ± 0.32^b	0.02 ± 0.00^c

หมายเหตุ: อักษรตัวพิมพ์เล็กในแนวนอนที่ต่างกันแสดงถึงความแตกต่างทางสถิติ ที่ระดับความเชื่อมั่น 95%



ภาพ 17 ปริมาณซูครอสที่เหลืออยู่ของ *Weissella cibaria* (n) และ ของ *Leucunostoc mesenteroides* TISTR 473 (x) ในน้ำอ้อย (pH 5.0-5.5) ที่อุณหภูมิ 20 (—○—) 30 (—■—) และ 40 (—▲—) องศาเซลเซียส

4. ผลของอุณหภูมิต่อปริมาณเด็กซ์แทรนของ *W. cibaria* และ *L. mesenteroides* TISTR 473

ทำการเพาะเลี้ยง *W. cibaria* ในน้ำอ้อยที่ปรับพีเอช (5.0 – 5.5) มีการให้อาหารโดย การเขย่า (200 รอบ ต่อนาที) ปริมาณเชื้อตั้งต้นโดยเฉลี่ยประมาณ 5.0 – 6.0 \log_{10} cfu/ml ทำการ บ่มจุลทรรศ์ที่อุณหภูมิ 3 ระดับ คือ 20 30 และ 40 องศาเซลเซียส เป็นเวลา 24 ชั่วโมง เพื่อศึกษา

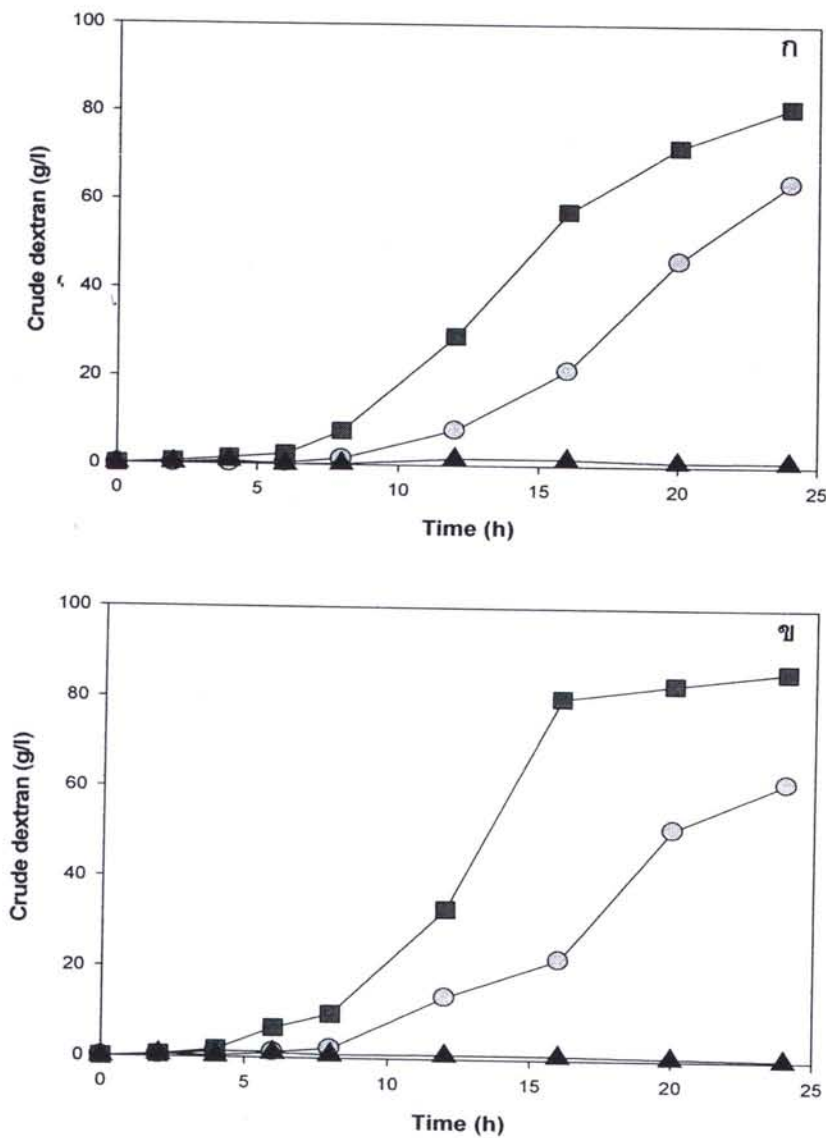
ผลของอุณหภูมิต่อปริมาณเด็กซ์แทรน พ布ว่าที่อุณหภูมิ 20 และ 30 องศาเซลเซียส ในชั่วโมงที่ 0 – 6 พบการเกิดเด็กซ์แทรนในปริมาณต่ำ แต่หลังจากเพาะเลี้ยง 8 ชั่วโมง จึงเริ่มนีกการเกิดเด็กซ์แทรน อย่างชัดเจนและมีแนวโน้มเพิ่มขึ้นเรื่อยๆ จนถึงชั่วโมงที่ 24 (ภาค 18ก) โดยปริมาณเด็กซ์แทรนที่เกิดขึ้นมีค่าเท่ากับ 64.4 และ 81.5 กรัมต่อลิตร มีอัตราการเกิดเด็กซ์แทรนเท่ากับ 2.68 และ 3.39 กรัมต่อลิตรต่อชั่วโมง ตามลำดับ ในขณะที่อุณหภูมิ 40 องศาเซลเซียส มีการผลิตเด็กซ์แทรนน้อยมากลดลงช่วงที่ทำการเพาะเลี้ยง โดยมีปริมาณเด็กซ์แทรนที่เกิดขึ้นเท่ากับ 1.08 กรัมต่อลิตร และมีอัตราการเกิดเด็กซ์แทรน 0.04 กรัมต่อลิตรต่อชั่วโมง จากผลการทดลองจะเห็นได้ว่าที่อุณหภูมิ 30 องศาเซลเซียส มีอัตราการผลิตเด็กซ์แทรนที่สูงกว่าที่ 20 องศาเซลเซียส ซึ่งไม่สอดคล้องกับการเติบโต การผลิตเอนไซม์เด็กซ์แทรนซูครส การใช้ซูครสและการผลิตฟรูก็อตส์ที่มีค่าสูงสุดที่อุณหภูมิ 20 องศาเซลเซียส ที่เป็นเห็นนี้อาจเป็นผลมาจากการปริมาณเด็กซ์แทรนที่วัดได้เป็นเพียงการวัด Crude dextran ที่ได้จากการตกรตะกอนด้วยเอทานอลซึ่งเป็นเพียงวิธีการวัดหาปริมาณเด็กซ์แทรนเบื้องต้น ในขณะที่การวัดปริมาณซูครสและฟรูก็อตส์เป็นการวิเคราะห์ปริมาณที่แท้จริงที่วิเคราะห์ด้วย HPLC

การศึกษาผลของอุณหภูมิต่อปริมาณเด็กซ์แทรนของ *L. mesenteroides* TISTR 473 พบว่า ที่อุณหภูมิ 20 และ 30 องศาเซลเซียส มีการเกิดเด็กซ์แทรนได้ดีและมีแนวโน้มเพิ่มปริมาณขึ้นเรื่อยๆ จนถึงชั่วโมงที่ 24 (ภาค 18ข) โดยปริมาณเด็กซ์แทรนที่เกิดขึ้นมีค่าเท่ากับ 61.45 และ 86.15 กรัมต่อลิตร มีอัตราการเกิดเด็กซ์แทรนเท่ากับ 2.56 และ 3.59 กรัมต่อลิตรต่อชั่วโมง ตามลำดับ ในขณะที่อุณหภูมิ 40 องศาเซลเซียส มีการผลิตเด็กซ์แทรนเพียงเล็กน้อย โดยมีปริมาณเด็กซ์แทรนในชั่วโมงที่ 24 เท่ากับ 0.35 กรัมต่อลิตร และมีอัตราการเกิดเด็กซ์แทรน 0.01 กรัมต่อลิตรต่อชั่วโมง

เมื่อทำการเปรียบเทียบผลของอุณหภูมิต่อปริมาณเด็กซ์แทรนของ *W. cibaria* กับ *L. mesenteroides* TISTR 473 พบว่าจุลินทรีย์ทั้งสองสายพันธุ์มีอัตราการเกิดเด็กซ์แทรนไม่แตกต่างกันอย่างมีนัยสำคัญทางสถิติ ($p < 0.05$) โดยมีอัตราการเกิดเด็กซ์แทรนสูงที่อุณหภูมิ 20 และ 30 องศาเซลเซียส และมีอัตราการเกิดเด็กซ์แทรนต่ำที่อุณหภูมิ 40 องศาเซลเซียส (ตาราง 7)

กลไกการเกิดเด็กซ์แทรน เกิดจาก *W. cibaria* และ *L. mesenteroides* TISTR 473 เจริญในอาหารที่มีซูครสสูง เชือเหล่านี้จะใช้ซูครสเป็นแหล่งคาร์บอนในการเจริญเติบโตและเพิ่มจำนวนเซลล์ ในขณะเดียวกันแต่ละเซลล์มีการผลิตเอนไซม์เด็กซ์แทรนซูครสขึ้น โดยเอนไซม์นี้จะเข้าไปกระตุ้นปฏิกิริยาการย่อยซูครสที่เหลืออยู่ และก่อให้เกิดการผลิตเด็กซ์แทรนและฟรูก็อตส์ออกมานา

จากการทดลองที่ได้แสดงให้เห็นว่าอุณหภูมิที่เหมาะสมต่อการยับยั้งการผลิตเด็กซ์แทรนสำหรับ *W. cibaria* และ *L. mesenteroides* TISTR 473 คือที่อุณหภูมิ 40 องศาเซลเซียส ในขณะที่ 20 และ 30 องศาเซลเซียส จุลทรรศ์ทั้งสองสายพันธุ์มีการผลิตเด็กซ์แทรนได้ในปริมาณสูง



ภาพ 18 ปริมาณเด็กซ์แทรนของ *Weissella cibaria* (n) และ *Leucunostoc mesenteroides* TISTR 473 (x) ในน้ำอ้อย ($\text{pH } 5.0\text{-}5.5$) ที่อุณหภูมิ 20 (—○—) 30 (—■—) และ 40 (—▲—) องศาเซลเซียส

ตาราง 7 อัตราการเกิดเด็กซ์แทรนของ *Weissella cibaria* และ *Leucunostoc mesenteroides* TISTR 473 ในน้ำอ้อย (pH 5.0 – 5.5) ที่อุณหภูมิ 20 30 และ 40 องศาเซลเซียส

Strain	อัตราการเกิดเด็กซ์แทรน (กรัมต่อลิตรต่อชั่วโมง)		
	20°C	30°C	40°C
<i>W. cibaria</i>	2.68±0.03 ^b	3.39±0.04 ^a	0.04±0.00 ^c
<i>L. mesenteroides</i> TISTR 473	2.56±0.05 ^b	3.59±0.01 ^a	0.01±0.04 ^c

หมายเหตุ: อักษรตัวพิมพ์เล็กในแนวนอนที่ต่างกันแสดงถึงความแตกต่างทางสถิติ ที่ระดับความเชื่อมั่น 95%

5. ผลของอุณหภูมิต่อปริมาณฟรูกโตสของ *W. cibaria* และ *L. mesenteroides* TISTR 473

การศึกษาผลของอุณหภูมิต่อปริมาณฟรูกโตสของ *W. cibaria* โดยทำการเพาะเลี้ยงที่อุณหภูมิ 3 ระดับ คือ 20 30 และ 40 องศาเซลเซียส เพาะเลี้ยงในน้ำอ้อย (5.0 – 5.5) ให้อาการโดยการเข่า (200 รอบต่อนาที) มีปริมาณเชื้อตั้งต้นโดยเฉลี่ยประมาณ 5.0 – 6.0 log₁₀ cfu/ml เพาะเลี้ยงเป็นเวลา 24 ชั่วโมง พบว่า ที่อุณหภูมิ 20 องศาเซลเซียส มีการเกิดฟรูกโตสเพิ่มขึ้นอย่างต่อเนื่อง หลังจากเพาะเลี้ยงเชือประมาณ 8 ชั่วโมง (ภาพ 19g) โดยในชั่วโมงที่ 24 มีปริมาณฟรูกโตสเพิ่มขึ้นจากชั่วโมงที่ 0 ประมาณ 48.98 กรัมต่อลิตร และมีอัตราการเกิดฟรูกโตสเท่ากับ 2.04 กรัมต่อลิตรต่อชั่วโมง ส่วนที่อุณหภูมิ 30 องศาเซลเซียส ในชั่วโมงที่ 24 มีปริมาณฟรูกโตสเพิ่มขึ้นจากปริมาณฟรูกโตสตั้งต้นเท่ากับ 12.20 กรัมต่อลิตร และมีอัตราการเกิดฟรูกโตสเท่ากับ 0.51 กรัมต่อลิตรต่อชั่วโมง ในขณะที่อุณหภูมิ 40 องศาเซลเซียส มีปริมาณฟรูกโตสเพิ่มขึ้นเพียงเล็กน้อย โดยในชั่วโมง 24 มีปริมาณฟรูกโตสเพิ่มขึ้นจากชั่วโมงแรกประมาณ 2.78 กรัมต่อลิตร และมีอัตราการเกิดฟรูกโตสเท่ากับ 0.12 กรัมต่อลิตรต่อชั่วโมง

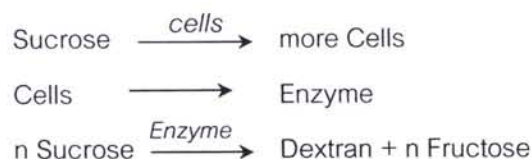
การศึกษาผลของอุณหภูมิต่อปริมาณฟรูกโตสของ *L. mesenteroides* TISTR 473 พบว่า ที่อุณหภูมิ 20 องศาเซลเซียส ในชั่วโมงที่ 0 – 6 มีการเปลี่ยนแปลงปริมาณฟรูกโตสเกิดขึ้นน้อยมาก แต่หลังจากเพาะเลี้ยง 8 ชั่วโมง เริ่มมีการเพิ่มขึ้นของปริมาณฟรูกโตสอย่างชัดเจนและมีแนวโน้มเพิ่มขึ้นเรื่อยๆ จนถึงชั่วโมงที่ 24 มีปริมาณฟรูกโตสเพิ่มขึ้นจากชั่วโมงที่ 0 ประมาณ 55.12 กรัมต่อลิตร และมีอัตราการเกิดฟรูกโตสเท่ากับ 2.30 กรัมต่อลิตรต่อชั่วโมง ส่วนที่อุณหภูมิ



30 องศาเซลเซียส ในชั่วโมงที่ 24 มีปริมาณฟรุกโตสเพิ่มขึ้นจากปริมาณฟรุกโตสตั้งต้นเท่ากับ 10.69 กรัมต่อลิตร และมีอัตราการเกิดฟรุกโตสเท่ากับ 0.45 กรัมต่อลิตรต่อชั่วโมง ในขณะที่ อุณหภูมิ 40 องศาเซลเซียส มีปริมาณฟรุกโตสเพิ่มขึ้นน้อยมาก โดยในชั่วโมง 24 มีปริมาณฟรุกโตส เพิ่มขึ้นจากชั่วโมงที่ 0 ประมาณ 0.90 กรัมต่อลิตร และมีอัตราการเกิดฟรุกโตสเท่ากับ 0.04 กรัมต่อลิตรต่อชั่วโมง

เมื่อทำการเปรียบเทียบผลของอุณหภูมิต่อปริมาณฟรุกโตสของ *W. cibaria* กับ *L. mesenteroides* TISTR 473 พบร้าจุลินทรีย์ทั้งสองสายพันธุ์มีรูปแบบการเกิดฟรุกโตส คล้ายคลึงกัน คือที่อุณหภูมิ 20 องศาเซลเซียส มีอัตราการเกิดฟรุกโตสสูงที่สุด ($p<0.05$) ที่ อุณหภูมิ 30 องศาเซลเซียส มีอัตราการเกิดฟรุกโตสสูงรองลงมา และที่อุณหภูมิ 40 องศาเซลเซียส มีอัตราการเกิดฟรุกโตสต่ำที่สุด เมื่อเปรียบเทียบอัตราการเกิดฟรุกโตส (ตาราง 8) พบร้าที่อุณหภูมิ 20 30 และ 40 องศาเซลเซียส *W. cibaria* มีอัตราการเกิดฟรุกโตสเท่ากับ 2.04 ± 0.07 0.51 ± 0.04 และ 0.12 ± 0.01 กรัมต่อลิตรต่อชั่วโมง ตามลำดับ ส่วน *L. mesenteroides* TISTR 473 มีอัตราการ เกิดฟรุกโตสที่อุณหภูมิ 20 30 และ 40 องศาเซลเซียส เท่ากับ 2.30 ± 0.06 0.45 ± 0.07 และ 0.04 ± 0.00 กรัมต่อลิตรต่อชั่วโมง ตามลำดับ

การเพิ่มขึ้นของปริมาณฟรุกโตสเกิดจากการที่จุลินทรีย์ใช้ซูครสเพื่อการเจริญเติบโต และสังเคราะห์เอนไซม์เด็กซ์แทรนซูครสขึ้น จากนั้นเอนไซม์เด็กซ์แทรนซูครสจะเข้าไปย่อยซูครสที่ เหลืออยู่ และก่อให้เกิดการผลิตเด็กซ์แทรนและปลดปล่อยฟรุกโตสออกมาน สามารถเขียนให้อยู่ใน รูปสมการเช่นดังนี้

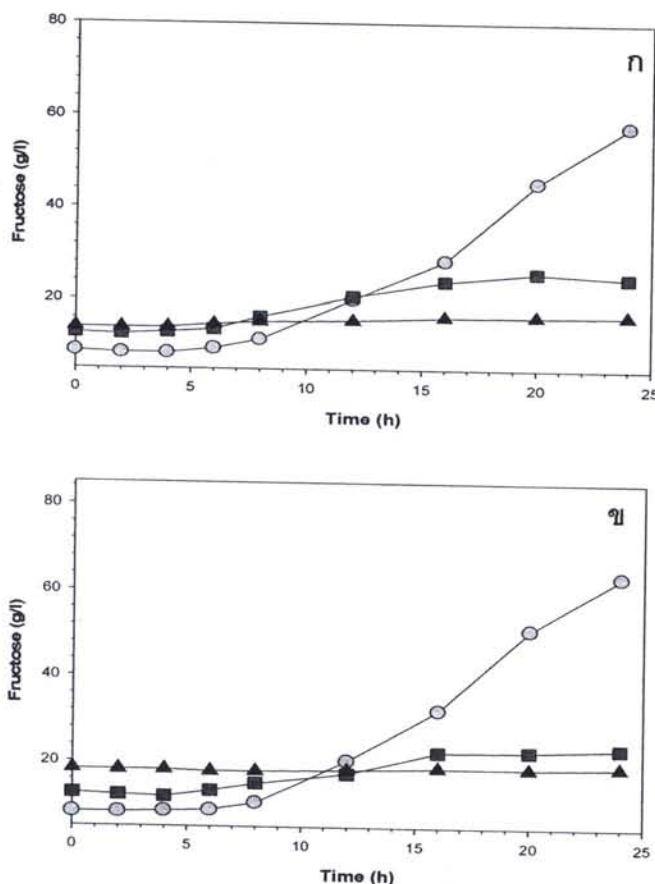


ผลการทดลองชี้ให้เห็นว่าอุณหภูมิที่เหมาะสมที่สุดในการยับยั้งการสร้างฟรุกโตสโดย *W. cibaria* และ *L. mesenteroides* TISTR 473 คือที่อุณหภูมิ 40 องศาเซลเซียส ในขณะที่ 20 และ 30 องศาเซลเซียส จุลินทรีย์ทั้งคู่มีอัตราการเกิดฟรุกโตสในปริมาณสูง

ตาราง 8 อัตราการเกิดฟрукโตสของ *Weissella cibaria* และ *Leucunostoc mesenteroides* TISTR473 ในน้ำอ้อย (pH 5.0 – 5.5) ที่อุณหภูมิ 20 30 และ 40 องศาเซลเซียส

Strain	อัตราการเกิดฟruktoส (กรัมต่อลิตรต่อชั่วโมง)		
	20°C	30°C	40°C
<i>W. cibaria</i>	2.04±0.07 ^a	0.51±0.04 ^b	0.12±0.01 ^c
<i>L. mesenteroides</i> TISTR473	2.30±0.06 ^a	0.45±0.07 ^b	0.04±0.00 ^c

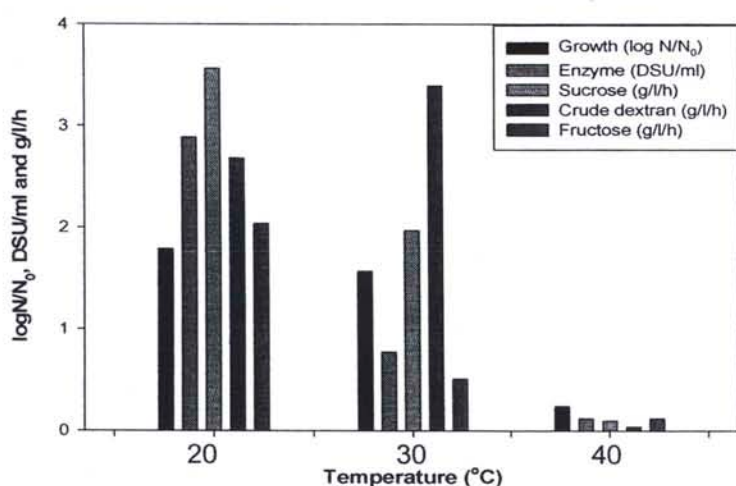
หมายเหตุ: อักษรตัวพิมพ์เล็กในแนวนอนที่ต่างกันแสดงถึงความแตกต่างทางสถิติ ที่ระดับความเชื่อมั่น 95%



ภาพ 19 ปริมาณฟruktoสของ *Weissella cibaria* (g) และ *Leucunostoc mesenteroides* TISTR473 (g) ในน้ำอ้อย (pH 5.0-5.5) ที่อุณหภูมิ 20 (—○—) 30 (—■—) และ 40 (—▲—) องศาเซลเซียส

จากการศึกษาผลของอุณหภูมิต่อการเติบโต ระดับกิจกรรมเอนไซม์เด็กซ์แทรนซูเครส ปริมาณซูโครส ปริมาณเด็กซ์แทรนและปริมาณฟรอกตอสของ *W. cibaria* ในน้ำอ้อย จากภาพ 20 แสดงให้เห็นว่าที่อุณหภูมิ 20 และ 30 องศาเซลเซียส จุลินทรีย์ทั้งสองสายพันธุ์สามารถเจริญเติบโตได้ มีระดับกิจกรรมเอนไซม์เด็กซ์แทรนซูเครส อัตราการใช้ซูโครสสูง อัตราการเกิดเด็กซ์แทรน และฟรอกตอสในปริมาณสูง ในขณะที่เมื่ออุณหภูมิเพิ่มขึ้นเป็น 40 องศาเซลเซียส ความสามารถในการเจริญเติบโตของจุลินทรีย์ทั้งสองชนิดลดลง ส่งผลให้ระดับกิจกรรมเอนไซม์เด็กซ์แทรนซูเครส อัตราการใช้ซูโครส อัตราการเกิดเด็กซ์แทรนและฟรอกตอสลดลง ด้วย แสดงว่าอุณหภูมิมีผลต่อการเจริญเติบโตของจุลินทรีย์และระดับกิจกรรมเอนไซม์เด็กซ์แทรนซูเครส โดยเมื่ออุณหภูมิสูงขึ้นทำให้การเจริญเติบโตของจุลินทรีย์และระดับกิจกรรมเอนไซม์เด็กซ์แทรนซูเครสลดลง ส่งผลทำให้มีอัตราการใช้ซูโครสและอัตราการเกิดเด็กซ์แทรนรวมถึงฟรอกตอสต่ำ และสามารถสรุปได้ว่าที่อุณหภูมิ 40 องศาเซลเซียส เป็นอุณหภูมิที่เหมาะสมที่สุดสำหรับการลดการสูญเสียซูโครสเนื่องจาก *W. cibaria* ที่จำแนกได้จากการผลิตน้ำตาลทราย

ที่อุณหภูมิ 30 องศาเซลเซียส เป็นอุณหภูมิที่ว้าไปในกระบวนการผลิตน้ำตาลซึ่งแรก (การสกัดน้ำอ้อยและการกรอง) และผลการทดลองแสดงให้เห็นว่าที่อุณหภูมิ 30 องศาเซลเซียส จุลินทรีย์ทั้ง *W. cibaria* และ *L. mesenteroides* TISTR 473 สามารถเจริญเติบโตได้ดี มีระดับกิจกรรมเอนไซม์เด็กซ์แทรนซูเครสสูง มีอัตราการเกิดเด็กซ์แทรนและฟรอกตอสในปริมาณสูง ดังนั้น จึงทำการเลือกสภาพอุณหภูมิ 30 องศาเซลเซียสเพื่อทำการศึกษาในขั้นตอนต่อไป



ภาพ 20 การเติบโต ระดับกิจกรรมเอนไซม์เด็กซ์แทรนซูเครส ปริมาณซูโครส ปริมาณเด็กซ์แทรนและปริมาณฟรอกตอสของ *W. cibaria* ในน้ำอ้อยที่อุณหภูมิต่างๆ

ผลของสารชีวามาตต่อการเติบโต ระดับกิจกรรม เอ็นไซม์เด็กซ์แทรนซูแครส ปริมาณ ซูโคลรัส ปริมาณเด็กซ์แทรนและฟรุกโตส ของ *Weissella cibaria* และ *Leuconostoc mesenteroides* TISTR 473 ในน้ำอ้อย

1. ผลของสารชีวามาตต่อการเติบโตของ *W. cibaria* และ *L. mesenteroides* TISTR 473

การศึกษาผลของสารชีวามาตต่อการเจริญเติบโตของ *W. cibaria* ทำการเพาะเลี้ยง จุลินทรีย์ในน้ำอ้อย ($\text{pH } 5.0 - 5.0$) บ่มที่อุณหภูมิ 30 องศาเซลเซียส เวลา 24 ชั่วโมง มีปริมาณเชื้อตั้งต้นโดยเฉลี่ยประมาณ $5.0 - 6.0 \log_{10} \text{cfu/ml}$ ให้อาหารโดยการเขย่า (200 รอบต่อนาที) เดิมสารชีวามาต 3 ระดับ คือ 0.5 และ 10 ppm พบร่วมกัน ที่ระดับความเข้มข้นของสารชีวามาต 0 ppm *W. cibaria* สามารถเจริญเติบโตได้ดี มีการเพิ่มปริมาณอย่างต่อเนื่องในชั่วโมงที่ 0 – 8 และในชั่วโมงที่ 8 เริ่มเข้าสู่ช่วง stationary phase ซึ่งเป็นช่วงที่จุลินทรีย์มีอัตราการเกิดเห่ากับอัตราการตาย ทำให้ในช่วงนี้มีปริมาณจุลินทรีย์ค่อนข้างคงที่จนถึงชั่วโมงที่ 24 โดยมีปริมาณจุลินทรีย์สุดท้ายเท่ากับ $8.68 \log_{10} \text{cfu/ml}$ ซึ่งเพิ่มขึ้น $3.17 \log_{10} \text{cfu/ml}$ และมีค่าสัดส่วนปริมาณจุลินทรีย์ต่อปริมาณจุลินทรีย์เริ่มต้น ($\log N/N_0$) เท่ากับ 1.57 (ภาพ 21)

ที่ระดับความเข้มข้นของสารชีวามาตที่ 5 ppm ในช่วงแรกตั้งแต่ชั่วโมงที่ 0 – 8 จุลินทรีย์มีการลดปริมาณลงเล็กน้อย ซึ่งเกิดจากสารชีวามาตที่มีคุณสมบัติในการฆ่าจุลินทรีย์หรือมีผลทำให้เซลล์จุลินทรีย์บางส่วนได้รับความเสียหายจึงทำให้ปริมาณจุลินทรีย์ในช่วงแรกลดลงและหลังจากทำการเพาะเลี้ยงได้ 12 ชั่วโมง จุลินทรีย์เริ่มเพิ่มปริมาณมากขึ้น อาจเนื่องมาจากการที่จุลินทรีย์เหลือรอดมีการปรับตัวเพื่อให้ทนต่อสภาพแวดล้อมที่รุนแรงเพื่อที่จะสามารถเจริญเติบโต และเพิ่มจำนวนเซลล์มากขึ้นได้ โดย *W. cibaria* ที่ทำการเพาะเลี้ยงในน้ำอ้อยที่มีการเติมสารชีวามาตความเข้มข้น 5 ppm มีปริมาณจุลินทรีย์สูงสุดเท่ากับ $7.48 \log_{10} \text{cfu/ml}$ ซึ่งเพิ่มขึ้นประมาณ $2.00 \log_{10} \text{cfu/ml}$ และมีค่าสัดส่วนปริมาณจุลินทรีย์ต่อปริมาณจุลินทรีย์เริ่มต้น ($\log N/N_0$) เท่ากับ 1.36

ส่วนที่ระดับความเข้มข้นของสารชีวามาต 10 ppm *W. cibaria* มีช่วงการปรับตัวนานกว่าที่ 5 ppm กล่าวคือ ในช่วงแรกของการเจริญชั่วโมงที่ 0 – 12 ปริมาณจุลินทรีย์มีแนวโน้มลดลง แต่หลังจาก 16 ชั่วโมง จุลินทรีย์เริ่มเพิ่มปริมาณมากขึ้น โดยมีปริมาณจุลินทรีย์ในชั่วโมง 24 เท่ากับ $6.23 \log_{10} \text{cfu/ml}$ โดยเพิ่มขึ้น $1.67 \log_{10} \text{cfu/ml}$ และมีค่าสัดส่วนปริมาณจุลินทรีย์ต่อปริมาณจุลินทรีย์เริ่มต้น ($\log N/N_0$) เท่ากับ 1.14

การศึกษาผลของสารชีวามาตต่อการเจริญเติบโตของ *L. mesenteroides* TISTR 473 พบร่วมกัน ที่ระดับความเข้มข้นของสารชีวามาต 0 ppm *L. mesenteroides* TISTR 473 สามารถ

เจริญเติบโตได้ดีและมีแนวโน้มเพิ่มปริมาณขึ้นเรื่อยๆ ในชั่วโมงที่ 0 – 8 หลังจากชั่วโมงที่ 8 ปริมาณจุลินทรีย์ค่อนข้างคงที่จนถึงชั่วโมงที่ 24 โดยมีปริมาณจุลินทรีย์สุดท้ายเท่ากับ $8.57 \log_{10}$ cfu/ml ซึ่งเพิ่มขึ้น 2.84 \log_{10} cfu/ml และมีค่าสัดส่วนปริมาณจุลินทรีย์ต่อปริมาณจุลินทรีย์เริ่มต้น ($\log N/N_0$) เท่ากับ 1.50 (ภาพ 21x)

ที่ระดับความเข้มข้นของสารชีวภาพที่ 5 ppm ในช่วงแรกตั้งแต่ชั่วโมงที่ 0 – 8 จุลินทรีย์มีการลดปริมาณลงประมาณ $2.54 \log_{10}$ cfu/ml แต่หลังจากชั่วโมงที่ 8 จุลินทรีย์มีการเพิ่มปริมาณมากขึ้นอย่างรวดเร็ว โดยมีปริมาณจุลินทรีย์สุดท้ายเท่ากับ $7.33 \log_{10}$ cfu/ml ซึ่งเพิ่มขึ้น $1.69 \log_{10}$ cfu/ml และมีค่าสัดส่วนปริมาณจุลินทรีย์ต่อปริมาณจุลินทรีย์เริ่มต้น ($\log N/N_0$) เท่ากับ 1.30

ในขณะที่ความเข้มข้นของสารชีวภาพ 10 ppm ปริมาณของ *L. mesenteroides* TISTR 473 มีแนวโน้มลดลงในช่วงชั่วโมงที่ 0 – 6 และในชั่วโมงที่ 8 – 12 ปริมาณจุลินทรีย์ค่อนข้างคงที่ซึ่งเป็นช่วงที่จุลินทรีย์มีการปรับตัว หลังจากชั่วโมงที่ 12 จุลินทรีย์เริ่มเพิ่มปริมาณมากขึ้น โดยมีปริมาณจุลินทรีย์ในชั่วโมง 24 เท่ากับ $6.04 \log_{10}$ cfu/ml โดยเพิ่มขึ้น $0.81 \log_{10}$ cfu/ml และมีค่าสัดส่วนปริมาณจุลินทรีย์ต่อปริมาณจุลินทรีย์เริ่มต้น ($\log N/N_0$) เท่ากับ 1.16

เมื่อทำการเปรียบเทียบผลของการเพาะเจริญเติบโตของ *W. cibaria* กับ *L. mesenteroides* TISTR 473 พบว่าจุลินทรีย์ทั้งสองสายพันธุ์มีรูปแบบในการเจริญเติบโตไม่แตกต่างกัน (ภาพ 21) นั่นคือ ที่ความเข้มข้นของสารชีวภาพ 0 ppm จุลินทรีย์ทั้งสองสายพันธุ์สามารถเจริญเติบโตได้ดีและมีแนวโน้มเพิ่มปริมาณมากขึ้นอย่างต่อเนื่อง ในขณะที่ 5 และ 10 ppm ในช่วงแรกของการเพาะเลี้ยง จุลินทรีย์มีแนวโน้มลดปริมาณลงและเมื่อทำการเพาะเลี้ยงประมาณ 12 – 16 ชั่วโมง พบว่าจุลินทรีย์มีการเพิ่มปริมาณมากขึ้นอย่างต่อเนื่องจนถึงชั่วโมงที่ 24 แต่มีสัดส่วนปริมาณจุลินทรีย์ต่อปริมาณจุลินทรีย์เริ่มต้น ($\log N/N_0$) ต่ำกว่าที่ 0 ppm

สารชีวภาพที่นำมาใช้ในการทดลองนี้คือทางการค้า คือ Hexamine และมีชื่อทางเคมีคือ Hexamethylenetetramine ($C_6H_{12}N_4$) มีคุณสมบัติที่สามารถละลายน้ำได้ดี มีความเสถียร (Stable) ที่สภาวะปกติ สามารถเก็บรักษาได้ที่อุณหภูมิห้อง จดอยู่ในกลุ่มไม่เป็นพิษ (non-toxic) ถ้าใช้ในปริมาณต่ำมนุษย์สามารถต้านฤทธิ์ (tolerate) ของ Hexamethylenetetramine ได้หากลายกรัมต่อวันโดยไม่เกิดภาวะแทรกซ้อน กลไกการทำงานของ Hexamethylene tetramine ได้แก่การก่อให้เกิดการกลายพันธุ์ (mutagenic substance) ในแบคทีเรีย แต่ไม่มีผลกระทบต่อมนุษย์อย่างมีนัยสำคัญทางสถิติ ผลการยับยั้งจุลินทรีย์ของ Hexamethylene tetramine จะขึ้นอยู่กับการปลดปล่อยกลุ่ม formaldehyde จาก Hexamethylenetetramine ในตัวกลางที่เป็นกรด

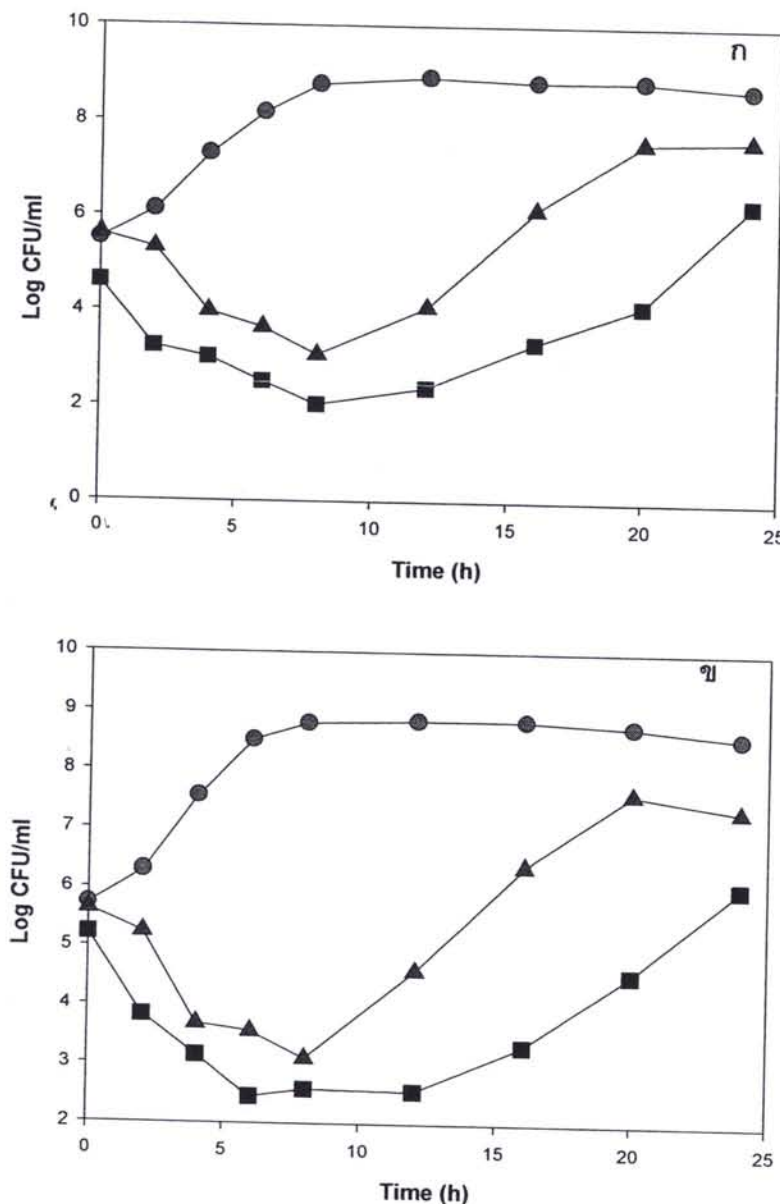
(acid medium) หากตัวกลางมีความเป็นกรดสูงจะมีผลทำให้การยับยั้งจุลินทรีย์มีประสิทธิภาพมากยิ่งขึ้น โดยในกระบวนการผลิตน้ำตาลมีค่า pH ของอยู่ในช่วง 5.0 – 5.0 ซึ่งช่วยส่งเสริมประสิทธิภาพของสารชีวภาพชนิดนี้ การฆ่าเชื้อของ formaldehyde และ Hexamethylenetetramine ขึ้นอยู่กับการทำปฏิกิริยา กับโปรตีนในเซลล์จุลินทรีย์และยังสามารถยับยั้งการทำงานของเอนไซม์ โดย formaldehyde มีกลไกการออกฤทธิ์จากจุลินทรีย์ด้วยการทำให้โปรตีนตกตะกอนโดยวิธี alkylation สามารถทำลายเชือบคีที่เรียกว่างเรนบาก แกรมลบ รวมทั้ง เชื้อรังโคร เซื้อร่า และไวรัสได้ มีการใช้ Hexamethylenetetramine ความเข้มข้นสูงในเชิงพาณิชย์ เพื่อใช้ในการถนอมอาหาร โดย Hexamethylenetetramine สามารถฆ่าจุลินทรีย์จำพวก แบคทีเรีย สเต็ปและราได้ (Lück and Jager, 1997, pp. 235-236)

จากผลการทดลองแสดงให้เห็นว่าระดับความเข้มข้นของสารชีวภาพที่เหมาะสมสำหรับการยับยั้งการเติบโตของจุลินทรีย์ทั้งสองสายพันธุ์ได้ตั้งแต่ 0 ppm จนถึง 10 ppm รองลงมาคือที่ 5 ppm ในขณะที่ระดับความเข้มข้นของสารชีวภาพ 0 ppm จุลินทรีย์ทั้งสองสายพันธุ์สามารถเจริญเติบโตได้ตลอดช่วงการเพาะเลี้ยง

ตาราง 9 สัดส่วนปริมาณจุลินทรีย์ต่อปริมาณจุลินทรีย์เริ่มต้น ($\log N/N_0$) ของ *Weissella cibaria* และ *Leucunostoc mesenteroides* TISTR 473 ในน้ำอ้อย (pH 5.0 – 5.5) ที่สารชีวภาพความเข้มข้น 0, 2.5, 5 และ 10 ppm

Strain	สัดส่วนปริมาณจุลินทรีย์ต่อปริมาณจุลินทรีย์เริ่มต้น($\log N/N_0$)		
	0 ppm	5 ppm	10 ppm
<i>W. cibaria</i>	1.57±0.14 ^a	1.36±0.07 ^b	1.14±0.00 ^c
<i>L. mesenteroides</i> TISTR473	1.50±0.16 ^a	1.30±0.08 ^b	1.16±0.00 ^c

หมายเหตุ: อักษรตัวพิมพ์เล็กในแนวนอนที่ต่างกันแสดงถึงความแตกต่างทางสถิติ ที่ระดับความเชื่อมั่น 95%



ภาพ 21 รูปแบบการเจริญเติบโตของ *Weisella cibaria* (n) และ ของ *Leucunostoc mesenteroides* TISTR 473 (x) ในน้ำอ้อด (pH 5.0-5.5) ที่ความเข้มข้นของสารซีวมาตที่ 0 (—●—) 5 (—▲—) และ 10 (—■—) ppm

2. ผลของสารชีวามาตต่อระดับกิจกรรมของเอนไซม์เด็กซ์แทรนซูเครสของ *W. cibaria* และ *L. mesenteroides* TISTR 473

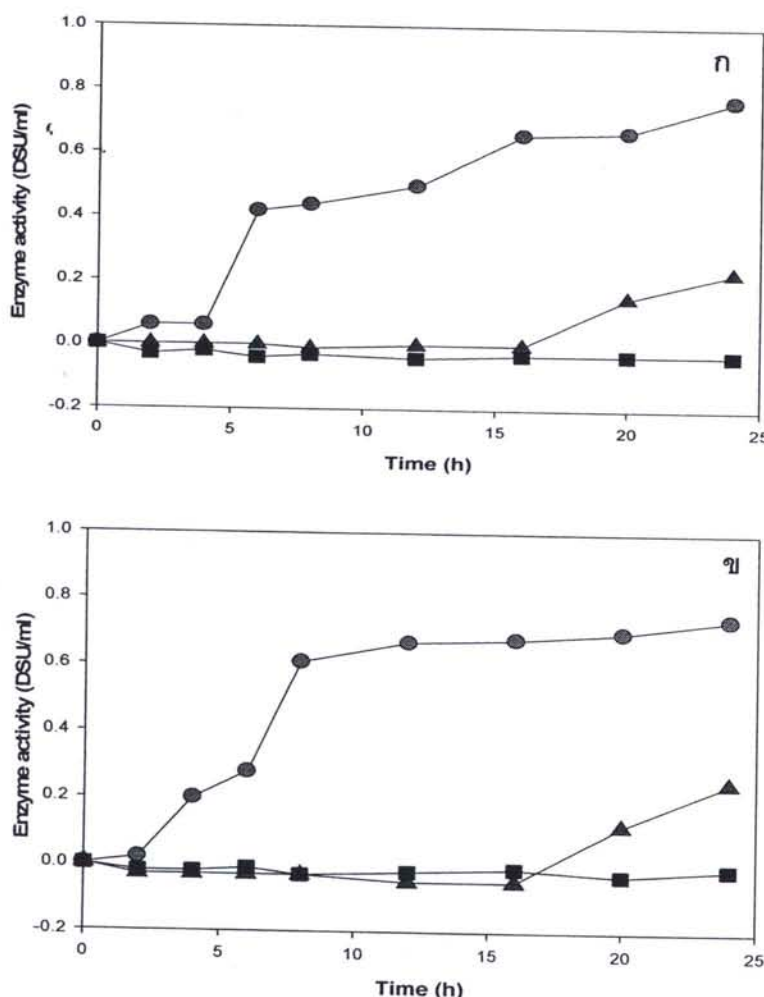
ทำการเพาะเลี้ยง *W. cibaria* ในน้ำอ้อย (pH 5.0 – 5.5) ปั่นที่อุณหภูมิ 30 องศาเซลเซียส ให้อาการโดยการเขย่า (ที่ 200 รอบต่อนาที) เติมสารชีวามาตต 3 ระดับ คือ 0.5 และ 10 ppm มีปริมาณเชื้อตั้งต้นโดยเฉลี่ยประมาณ 5.0 – 6.0 \log_{10} cfu/ml ทำการเพาะเลี้ยงเป็นเวลา 24 ชั่วโมง เพื่อศึกษาผลของสารชีวามาตตต่อระดับกิจกรรมเอนไซม์เด็กซ์แทรนซูเครส พบว่า ที่ระดับความเข้มข้นของสารชีวามาตต 0 ppm *W. cibaria* มีระดับกิจกรรมเอนไซม์เด็กซ์แทรนซูเครสสูงที่สุด โดยในชั่วโมงที่ 0 – 4 มีระดับกิจกรรมเอนไซม์เด็กซ์แทรนซูเครสในปริมาณน้อยมากแต่มีแนวโน้มเพิ่มขึ้นหลังจากการเพาะเลี้ยงผ่านไป 6 ชั่วโมง (ภาพ 22ก) และในชั่วโมงที่ 24 มีระดับกิจกรรมเอนไซม์สูงที่สุดเท่ากับ 0.77 DSU/ml และมีอัตราการผลิตเอนไซม์เด็กซ์แทรนซูเครสเท่ากับ 0.03 DSU $ml^{-1}h^{-1}$ ที่ระดับความเข้มข้นของสารชีวามาตต 5 ppm ในช่วงชั่วโมงที่ 0 – 12 จะไม่พบการผลิตเอนไซม์เด็กซ์แทรนซูเครสจนกระทั่งในชั่วโมง 16 จึงเริ่มมีระดับกิจกรรมเอนไซม์เด็กซ์แทรนซูเครสสูงขึ้น โดยในชั่วโมงที่ 24 มีกิจกรรมเอนไซม์เด็กซ์แทรนซูเครสเท่ากับ 0.23 DSU/ml และมีอัตราการผลิตเอนไซม์เด็กซ์แทรนซูเครสเท่ากับ 0.01 DSU $ml^{-1}h^{-1}$ ในขณะที่ระดับความเข้มข้นของสารชีวามาตต 10 ppm ไม่พบการผลิตเอนไซม์เด็กซ์แทรนซูเครสตลอดช่วงที่ทำการเพาะเลี้ยง

การศึกษาผลของสารชีวามาตตต่อระดับกิจกรรมเอนไซม์เด็กซ์แทรนซูเครสของ *L. mesenteroides* TISTR 473 พบว่า *L. mesenteroides* TISTR 473 มีระดับกิจกรรมเอนไซม์เด็กซ์แทรนซูเครสสูงที่สุดที่ระดับความเข้มข้นของสารชีวามาตต 0 ppm โดยใน 2 ชั่วโมงแรกยังมีระดับกิจกรรมเอนไซม์เด็กซ์แทรนซูเครสในปริมาณน้อย (ภาพ 22ข) แต่หลังจากเพาะเลี้ยงได้ 4 ชั่วโมง จึงเริ่มมีระดับกิจกรรมเอนไซม์เด็กซ์แทรนซูเครสสูงขึ้นอย่างเห็นได้ชัดและมีแนวโน้มเพิ่มขึ้นเรื่อยๆ โดยในชั่วโมงที่ 24 มีระดับกิจกรรมเอนไซม์เด็กซ์แทรนซูเครสเท่ากับ 0.74 DSU/ml และมีอัตราการผลิตเอนไซม์เด็กซ์แทรนซูเครสเท่ากับ 0.03 DSU $ml^{-1}h^{-1}$ ที่ระดับความเข้มข้นของสารชีวามาตต 5 ppm ไม่พบการผลิตเอนไซม์เด็กซ์แทรนซูเครสในช่วงชั่วโมงที่ 0 – 12 แต่หลังจากชั่วโมงที่ 12 จึงเริ่มมีระดับกิจกรรมเอนไซม์เด็กซ์แทรนซูเครสสูงอย่างเห็นได้ชัดและมีระดับกิจกรรมเอนไซม์เด็กซ์แทรนซูเครสสูงสุดเท่ากับ 0.25 DSU/ml มีอัตราการผลิตเอนไซม์เด็กซ์แทรนซูเครสเท่ากับ 0.01 DSU $ml^{-1}h^{-1}$ ในขณะที่ระดับความเข้มข้นของสารชีวามาตต 10 ppm ไม่พบการผลิตเอนไซม์เด็กซ์แทรนซูเครสตลอดช่วงที่ทำการเพาะเลี้ยง

เมื่อทำการเปรียบเทียบผลของสารชีวามาตตต่ออัตราการผลิตเอนไซม์เด็กซ์แทรนซูเครสของ *W. cibaria* กับ *L. mesenteroides* TISTR 473 พบว่า จุลทรรศน์ทั้งสองสายพันธุ์มีการผลิตเอนไซม์เด็กซ์แทรนซูเครสไม่แตกต่างกันอย่างมีนัยสำคัญทางสถิติ ($p>0.05$) นั้นคือ มีการผลิต

เอนไซม์เด็กซ์แทرنชูเครสได้ดีที่ระดับความเข้มข้นของสารชีวภาพ 0 ppm สามารถผลิตเอนไซม์เด็กซ์แทرنชูเครสได้น้อยลงเมื่อความเข้มข้นของสารชีวภาพเพิ่มขึ้นและไม่พบการผลิตเอนไซม์เด็กซ์แทرنชูเครสที่ระดับความเข้มข้นของสารชีวภาพ 10 ppm

จากผลการทดลองสามารถสรุปได้ว่าที่ระดับความเข้มข้นของสารชีวภาพ 10 ppm เป็นระดับความเข้มข้นของสารชีวภาพที่ความเหมาะสมสำหรับยังการผลิตเอนไซม์เด็กซ์แทرنชูเครสมากที่สุด รองลงมาคือ 5 ppm ซึ่งมีระดับกิจกรรมเอนไซม์เด็กซ์แทرنชูเครสเพียงเล็กน้อย ในขณะที่ความเข้มข้นของสารชีวภาพ 0 ppm มีระดับกิจกรรมเอนไซม์เด็กซ์แทرنชูเครสสูงที่สุด



ภาพ 22 ระดับกิจกรรมเอนไซม์เด็กซ์แทرنชูเครสของ *Weissella cibaria* (n) และ *Leucunostoc mesenteroides* TISTR 473 (x) ในน้ำอ้อข (pH 5.0-5.5) ที่ความเข้มข้นของสารชีวภาพที่ 0 ppm (—●—) 5 ppm (—▲—) และ 10 (—■—) ppm

ตาราง 10 ระดับกิจกรรมเอนไซม์เด็กซ์แทرنซูโคเรสและอัตราการผลิตเอนไซม์เด็กซ์แทرنซูโคเรสของ *Weissella cibaria* และ *Leucunostoc mesenteroides* TISTR 473 ในน้ำอ้อย (pH 5.0 – 5.5) ที่สารชีวภาพความเข้มข้น 0, 5 และ 10 ppm

Strain	ความเข้มข้นของสารชีวภาพ		
	0 ppm	5 ppm	10 ppm
<i>W. cibaria</i>			
ระดับกิจกรรมเอนไซม์เด็กซ์แทرنซูโคเรส (DSU/ml)(24 h)	0.77±0.01 ^a	0.23±0.0 ^b	0.00±0.00 ^d
อัตราการผลิตเอนไซม์เด็กซ์แทرنซูโคเรส (DSUml ⁻¹ h ⁻¹)	0.03±0.00 ^a	0.01±0.00 ^b	0.00±0.00 ^c
<i>L. mesenteroides</i> TISTR473			
ระดับกิจกรรมเอนไซม์เด็กซ์แทرنซูโคเรส (DSU/ml)(24 h)	0.73±0.01 ^a	0.25±0.01 ^b	0.00±0.00 ^d
อัตราการผลิตเอนไซม์เด็กซ์แทرنซูโคเรส (DSUml ⁻¹ h ⁻¹)	0.03±0.01 ^a	0.01±0.00 ^b	0.00±0.00 ^c

หมายเหตุ: อักษรตัวพิมพ์เล็กในแนวนอนที่ต่างกันแสดงถึงความแตกต่างทางสถิติ ที่ระดับความเชื่อมั่น 95%

3. ผลของสารชีวภาพต่อปริมาณซูโคเรสของ *W. cibaria* และ *L. mesenteroides* TISTR473

การศึกษาผลของสารชีวภาพต่อปริมาณซูโคเรสของ *W. cibaria* โดยทำการเพาะเลี้ยงที่อุณหภูมิ 30 องศาเซลเซียส เติมสารชีวภาพ 3 ระดับ คือ 0, 5 และ 10 ppm ทำการเพาะเลี้ยงในน้ำอ้อย (pH 5.0 – 5.5) เป็นเวลา 24 ชั่วโมง มีการให้อาหารโดยการเขย่า (200 รอบต่อนาที) มีปริมาณเชื้อตั้งต้นโดยเฉลี่ยประมาณ 5.0 – 6.0 log₁₀cfu/ml พบว่าที่ระดับความเข้มข้นของสารชีวภาพ 0 ppm มีการลดลงของปริมาณซูโคเรสมากที่สุด จากปริมาณซูโคเรสตั้งต้นประมาณ 176.52 กรัมต่อลิตร เมื่อทำการเพาะเลี้ยง 24 ชั่วโมง มีปริมาณซูโคเรสเหลือประมาณ 129.29 กรัมต่อลิตร โดยมีการสูญเสียซูโคเรสไปประมาณ 47.23 กรัมต่อลิตรและมีอัตราการใช้ซูโคเรสเท่ากับ

1.97 กรัมต่อลิตรต่อชั่วโมง (ภาพ 23ก) ที่ระดับความเข้มข้นของสารชีวภาพ 5 ppm มีปริมาณซูโครลดลงเพียงเล็กน้อย เมื่อทำการเพาะเลี้ยง 24 ชั่วโมงมีการสูญเสียซูโครสประมาณ 10.34 กรัมต่อลิตรและมีอัตราการใช้ซูโครสเท่ากับ 0.43 กรัมต่อลิตรต่อชั่วโมง และที่ความเข้มข้นของสารชีวภาพ 10 ppm มีการลดลงของปริมาณซูโครสน้อยมากโดยเมื่อทำการเพาะเลี้ยง 24 ชั่วโมงมีการสูญเสียซูโครสประมาณ 2.85 กรัมต่อลิตรและมีอัตราการใช้ซูโครสเท่ากับ 0.12 กรัมต่อลิตรต่อชั่วโมง (ตาราง 11)

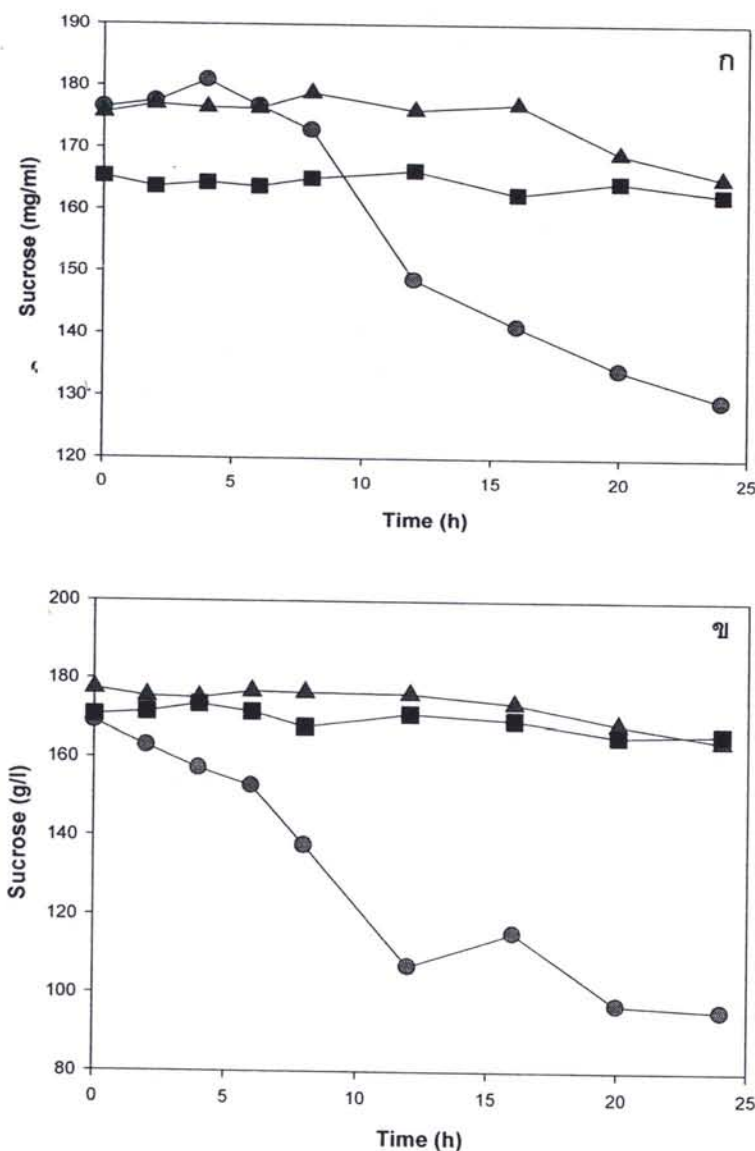
การศึกษาผลของสารชีวภาพต่อบริมาณซูโครสของ *L. mesenteroides* TISTR 473 พบร่วมกับที่ระดับความเข้มข้นของสารชีวภาพ 0 ppm ปริมาณซูโครลดลงอย่างรวดเร็ว (ภาพ 23ข) โดยในชั่วโมงที่ 0 มีปริมาณซูโครสตั้งต้นประมาณ 169.00 กรัมต่อลิตร เมื่อทำการเพาะเลี้ยง 24 ชั่วโมง ปริมาณซูโครลดลงเหลืออยู่ประมาณ 95.65 กรัมต่อลิตร และมีอัตราการใช้ซูโครสเท่ากับ 3.06 กรัมต่อลิตรต่อชั่วโมง ที่ความเข้มข้นของสารชีวภาพ 5 ppm มีการลดลงของปริมาณซูโครเพียงเล็กน้อย โดยมีอัตราการใช้ซูโครสเท่ากับ 0.54 กรัมต่อลิตรต่อชั่วโมง ในขณะที่ระดับความเข้มข้นของสารชีวภาพ 10 ppm การเปลี่ยนแปลงปริมาณซูโครเกิดขึ้นน้อยมากในระหว่างการเพาะเลี้ยงและมีอัตราการใช้ซูโครสเท่ากับ 0.19 กรัมต่อลิตรต่อชั่วโมง (ภาพ 23ข)

เมื่อทำการเปรียบเทียบผลของสารชีวภาพต่อบริมาณซูโครสของ *W. cibaria* กับ *L. mesenteroides* TISTR 473 พบร่วมกับจุลินทรีย์ทั้งสองสายพันธุ์มีรูปแบบการสูญเสียซูโครคล้ายคลึงกัน โดยมีการลดลงของปริมาณซูโครอย่างเห็นได้ชัดที่ความเข้มข้นของสารชีวภาพ 0 ppm ในขณะที่ความเข้มข้นของสารชีวภาพ 5 และ 10 ppm มีการลดลงของปริมาณซูโครเพียงเล็กน้อยตลอดช่วงการเพาะเลี้ยง

การลดลงของปริมาณซูโครจะสอดคล้องกับการเจริญเติบโตของจุลินทรีย์ หากจุลินทรีย์สามารถเจริญได้ดีจะมีผลทำให้เกิดการสูญเสียซูโครในปริมาณสูง เนื่องจากในอาหารที่มีซูโครเป็นแหล่งคาร์บอนจุลินทรีย์จะใช้ซูโครสตังกล่าวในการเจริญเติบโตและเพิ่มจำนวนเซลล์ นอกจากนี้ยังมีการเพิ่มเติมของซูโครที่จุลินทรีย์สังเคราะห์ขึ้นยังใช้ซูโครเป็นสารตั้งต้นในการผลิตเด็กซ์แทรนอีกด้วย

ผลการทดลองที่ได้ชี้ให้เห็นว่าที่ระดับความเข้มข้นของสารชีวภาพ 10 ppm เหมาะสมที่สุดสำหรับการลดการสูญเสียซูโครเนื่องจาก *W. cibaria* และ *L. mesenteroides* TISTR 473 รองมาคือที่ 5 ppm เนื่องจากที่ระดับความเข้มข้นของสารชีวภาพ 5 และ 10 ppm มีการลดลงของปริมาณซูโครเพียงเล็กน้อย ในขณะที่ระดับความเข้มข้นของสารชีวภาพ 0 ppm มีการ

ลดลงของปริมาณซูโคโรสมากที่สุด เมื่อจาก菊ulin หรือทั้งสองสายพันธุ์สามารถนำซูโคโรสไปใช้ในการเจริญเติบโตได้มาก เป็นผลทำให้เกิดการสูญเสียซูโคโรสในปริมาณสูง



ภาพ 23 ปริมาณซูโคโรสของ *Weissella cibaria* (ก) และ ของ *Leucunostoc mesenteroides* TISTR473 (ข) ในน้ำอ้อย (pH 5.0-5.5) ที่ความเข้มข้นของสารชีวภาพที่ 0 (—●—) 5 (—▲—) และ 10 (—■—) ppm

ตาราง 11 อัตราการใช้ซูโคโรสของ *Weissella cibaria* และ *Leucunostoc mesenteroides* TISTR473 ในน้ำอ้อย (pH 5.0 – 5.5) ที่สารชีวมาตเข้มข้น 0.5 และ 10 ppm

Strain	อัตราการใช้ซูโคโรส (กรัมต่อลิตรต่อชั่วโมง)		
	0 ppm	5 ppm	10 ppm
<i>W. cibaria</i>	1.97±0.34 ^a	0.43±0.13 ^b	0.12±0.07 ^c
<i>L. mesenteroides</i> TISTR473	3.06±0.25 ^a	0.54±0.18 ^b	0.19±0.05 ^c

หมายเหตุ: อักษรตัวพิมพ์เล็กในแนวนอนที่ต่างกันแสดงถึงความแตกต่างทางสถิติ ที่ระดับความเชื่อมั่น 95%

4. ผลของสารชีวมาตต่อบริมาณเด็กซ์แทرنของ *W. Cibaria* และ *L. mesenteroides* TISTR 473

การศึกษาผลของสารชีวมาตต่อบริมาณเด็กซ์แทرنของ *W. cibaria* ที่ระดับความเข้มข้นของสารชีวมาต 3 ระดับ คือ 0.5 และ 10 ppm โดยทำการเพาะเลี้ยงเชื้อ จุลินทรีย์ในน้ำอ้อย (pH 5.0 – 5.5) บ่มที่อุณหภูมิ 30 องศาเซลเซียส ให้อากาศโดยการเขย่า (shaker) ที่ 200 รอบต่อนาที มีปริมาณเชื้อตั้งต้นโดยเฉลี่ยประมาณ 5.0 – 6.0 log₁₀cfu/ml ทำการเพาะเลี้ยงเป็นเวลา 24 ชั่วโมง พบร่วม ที่ระดับความเข้มข้นของสารชีวมาต 0 ppm ในชั่วโมงที่ 0 – 6 มีการผลิตเด็กซ์แทرنในปริมาณน้อยมากแต่หลังจากชั่วโมงที่ 8 จึงเริ่มมีการผลิตเด็กซ์แทرنในปริมาณมากขึ้นโดยมีแนวโน้มเพิ่มขึ้นอย่างต่อเนื่อง (ภาพ 24ก) และในชั่วโมงที่ 24 มีปริมาณเด็กซ์แทรนสูงสุดเท่ากับ 81.45 กรัมต่อลิตร และมีอัตราการเกิดเด็กซ์แทรนเท่ากับ 3.39 กรัมต่อลิตรต่อชั่วโมง

ที่ระดับความเข้มข้นของสารชีวมาต 5 ppm มีการเกิดเด็กซ์แทรนในปริมาณน้อยลดลงช่วงที่ทำการเพาะเลี้ยง โดยมีปริมาณเด็กซ์แทรนสูงสุดเท่ากับ 4.55 กรัมต่อลิตร และมีอัตราการเกิดเด็กซ์แทรนเท่ากับ 0.19 กรัมต่อลิตรต่อชั่วโมง

ในขณะที่ไม่เพาะการเกิดเด็กซ์แทรนที่ระดับความเข้มข้นของสารชีวมาต 10 ppm ตลอดระยะเวลาที่ทำการเพาะเลี้ยง เนื่องจากที่ระดับความเข้มข้นของสารชีวมาต 10 ppm นี้ไม่มีการสังเคราะห์ออกไซเม็ดเด็กซ์แทรนซูโคโรสเกิดขึ้น จึงทำให้มีการผลิตเด็กซ์แทรนในสภาวะการเพาะเลี้ยงที่ระดับความเข้มข้นของสารชีวมาต 10 ppm

การศึกษาผลของสารชีวมาตต่อบริมาณเด็กซ์แทرنของ *L. mesenteroides* TISTR 473 พบร่วม ที่ระดับความเข้มข้นของสารชีวมาต 0 ppm มีการเกิดเด็กซ์แทรนได้ดีที่สุด เมื่อทำการ

เพาะเลี้ยง 8 ชั่วโมง จึงเริ่มมีการเกิดเด็กซ์แทرنอย่างเห็นได้ชัดและมีแนวโน้มเพิ่มขึ้นเรื่อยๆ จนถึงชั่วโมงที่ 24 (ภาพ 24x) มีปริมาณเด็กซ์แทرنสูงสุด เท่ากับ 86.15 กรัมต่อลิตร และมีอัตราการเกิดเด็กซ์แทرنเท่ากับ 3.59 กรัมต่อลิตรต่อชั่วโมง ที่ระดับความเข้มข้นของสารชีวามาต 5 ppm มีการเกิดเด็กซ์แทرنในปริมาณน้อยมากตลอดช่วงการเพาะเลี้ยง โดยปริมาณเด็กซ์แทรนสูงสุดเท่ากับ 2.40 กรัมต่อลิตร และมีอัตราการเกิดเด็กซ์แทرنเท่ากับ 0.10 กรัมต่อลิตรต่อชั่วโมง ในขณะที่ไม่พบการเกิดเด็กซ์แทرنที่ระดับความเข้มข้นของสารชีวามาต 10 ppm ตลอดระยะเวลาที่ทำการเพาะเลี้ยง

เมื่อทำการเปรียบเทียบผลของสารชีวามาตต่อบริมาณเด็กซ์แทรนของ *W. cibaria* กับ *L. mesenteroides* TISTR 473 พบร้าลินทรีทั้งสองสายพันธุ์มีลักษณะการเกิดเด็กซ์แทรนไม่แตกต่างกัน ($p>0.05$) โดยที่ระดับความเข้มข้นของสารชีวามาต 0 ppm มีอัตราการเกิดเด็กซ์แทรนสูงที่สุด การเกิดเด็กซ์แทรนมีแนวโน้มเพิ่มขึ้นอย่างต่อเนื่อง (ภาพ 24 ก, ข) ส่วนที่ระดับความเข้มข้นของสารชีวามาต 5 ppm มีการเกิดเด็กซ์แทรนได้น้อยมากและไม่พบการเกิดเด็กซ์แทรนที่ระดับความเข้มข้นของสารชีวามาต 10 ppm

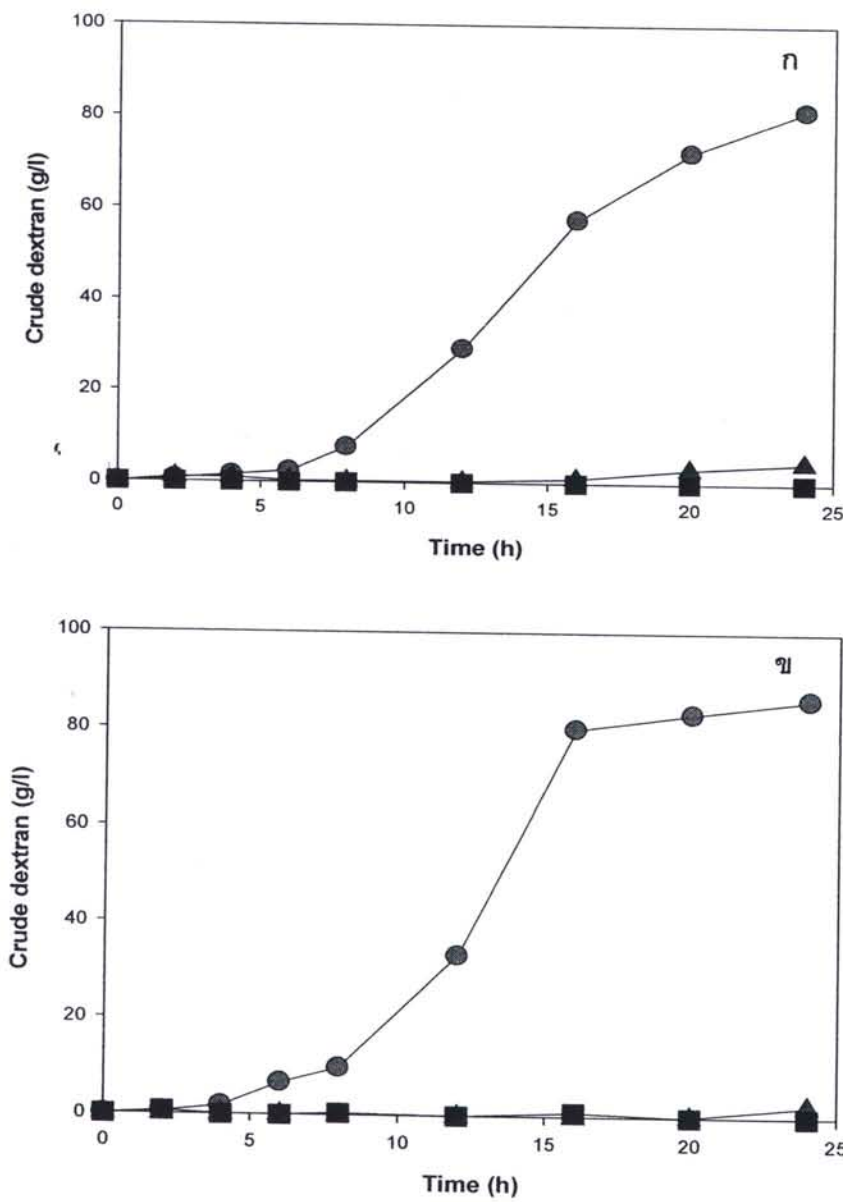
ผลการทดลองที่ได้สามารถสรุปได้ว่าที่ระดับความเข้มข้นของสารชีวามาตที่เหมาะสมสำหรับการยับยั้งการผลิตเด็กซ์แทรนสำหรับ *W. cibaria* และ *L. mesenteroides* TISTR 473 ที่สุดคือที่ระดับความเข้มข้นของสารชีวามาต 10 ppm รองมาคือที่ 5 ppm ในขณะที่ระดับความเข้มข้นของสารชีวามาต 0 ppm มีการผลิตเด็กซ์แทรนได้ดีที่สุด

ตาราง 12 อัตราการเกิดเด็กซ์แทรนของ *Weissella cibaria* และ *Leucunostoc mesenteroides* TISTR473 ในน้ำอ้อย (pH 5.0 – 5.5) ที่สารชีวามาตความเข้มข้น 0.5 และ 10 ppm

Strain	อัตราการเกิดเด็กซ์แทรน (กรัมต่อลิตรต่อชั่วโมง)		
	0 ppm	5 ppm	10 ppm
<i>W. cibaria</i>	3.39±0.00 ^a	0.19±0.01 ^b	0.00±0.00 ^c
<i>L. mesenteroides</i> TISTR473	3.59±0.00 ^a	0.10±0.00 ^b	0.00±0.00 ^c

หมายเหตุ: อักษรตัวพิมพ์เล็กในแนวนอนที่ต่างกันแสดงถึงความแตกต่างทางสถิติ ที่ระดับความเชื่อมั่น 95%





ภาพ 24 ปริมาณเด็กซ์แทรนของ *Weissella cibaria* (n) และของ *Leucunostoc mesenteroides* TISTR473 (x) ในน้ำอ้ออัย (pH 5.0-5.5) ที่ความเข้มข้นของสารชีวภาพที่ 0 (—●—) 5 (—▲—) และ 10 (—■—) ppm

5. ผลของสารชีวามาตต่อปริมาณฟรุกโตสของ *W. cibaria* และ *L. mesenteroides* TISTR473

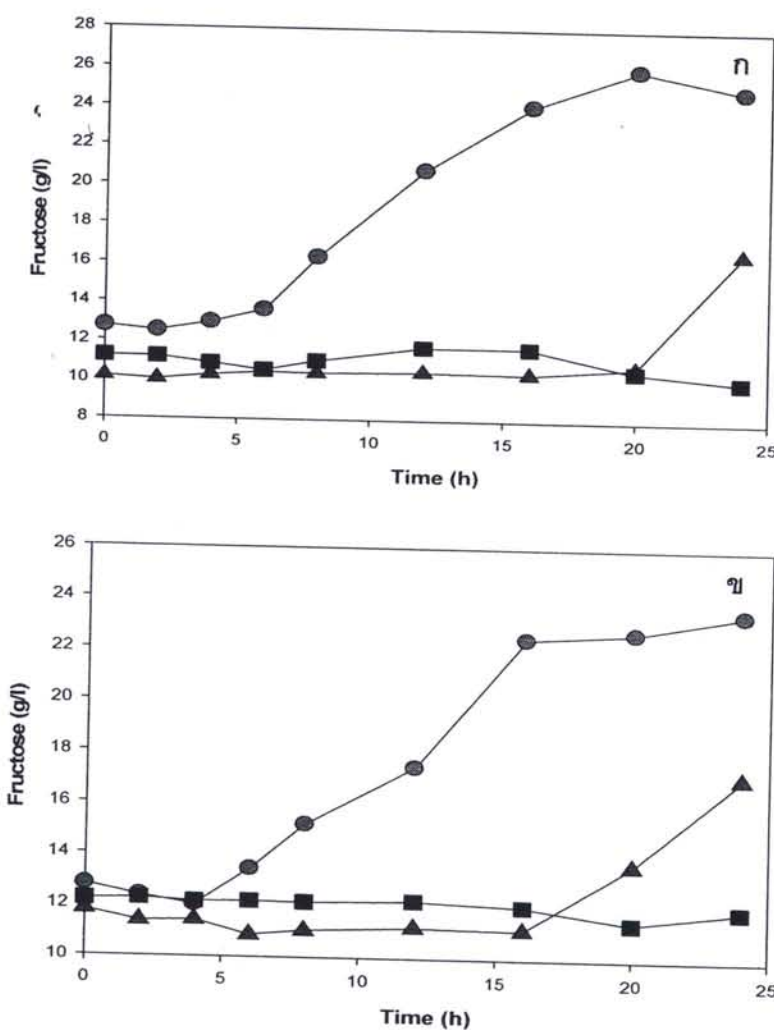
การศึกษาผลของสารชีวามาตต่อปริมาณฟรุกโตสของ *W. cibaria* โดยทำการเพาะเลี้ยงเชื้อในน้ำอ้อย ($\text{pH } 5.0 - 5.5$) เป็นเวลา 24 ชั่วโมง ที่อุณหภูมิ 30 องศาเซลเซียส เดิมสารชีวามาต 3 ระดับ คือ 0.5 และ 10 ppm ให้อากาศโดยการเขย่า (200 รอบต่อนาที) มีปริมาณเชื้อตั้งต้นโดยเฉลี่ยประมาณ $5.0 - 6.0 \log_{10} \text{cfu/ml}$ พบร้า ที่ระดับความเข้มข้นของสารชีวามาต 0 ppm มีปริมาณฟรุกโตสเพิ่มขึ้นอย่างต่อเนื่องหลังจากการเพาะเลี้ยงได้ 6 ชั่วโมง โดยในชั่วโมงที่ 24 มีปริมาณฟรุกโตสเพิ่มขึ้นจากปริมาณตั้งต้นประมาณ 12.20 กรัมต่อลิตร และมีอัตราการเกิดฟรุกโตสเท่ากับ 0.51 กรัมต่อลิตรต่อชั่วโมง ที่ระดับความเข้มข้นของสารชีวามาต 5 ppm ในช่วงระหว่างชั่วโมงที่ 0 - 20 ปริมาณฟรุกโตสมีการเพิ่มขึ้นเพียงเล็กน้อยแต่หลังจากชั่วโมงที่ 20 จึงมีการเพิ่มขึ้นของปริมาณฟรุกโตสอย่างเห็นได้ชัด (ภาพ 25ก) โดยมีปริมาณฟรุกโตสเพิ่มขึ้นจากปริมาณตั้งต้นเมื่อสิ้นสุดการเพาะเลี้ยงประมาณ 6.49 กรัมต่อลิตร และมีอัตราการเกิดฟรุกโตสเท่ากับ 0.27 กรัมต่อลิตรต่อชั่วโมง ในขณะที่ระดับความเข้มข้นของสารชีวามาต 10 ppm จะไม่พบการเพิ่มขึ้นของปริมาณฟรุกโตสตลอดการเพาะเลี้ยง

การศึกษาผลของสารชีวามาตต่อปริมาณฟรุกโตสของ *L. mesenteroides* TISTR 473 พบร้า ที่ระดับความเข้มข้นของสารชีวามาต 0 ppm มีการเกิดฟรุกโตสสูงที่สุด โดยในชั่วโมงที่ 24 มีปริมาณฟรุกโตสเพิ่มขึ้นจากปริมาณตั้งต้นประมาณ 10.69 กรัมต่อลิตร และมีอัตราการเกิดฟรุกโตสเท่ากับ 0.45 กรัมต่อลิตรต่อชั่วโมง ที่ระดับความเข้มข้นของสารชีวามาต 5 ppm ไม่พบการเพิ่มขึ้นของปริมาณฟรุกโตสในชั่วโมงที่ 0 - 16 แต่หลังจากชั่วโมงที่ 16 ไปแล้วจึงเริ่มมีการเพิ่มขึ้นของปริมาณฟรุกโตสอย่างเห็นได้ชัด (ภาพ 25ข) โดยมีปริมาณฟรุกโตสเพิ่มขึ้นจากปริมาณตั้งต้นประมาณ 5.32 กรัมต่อลิตร และมีอัตราการเกิดฟรุกโตสเท่ากับ 0.22 กรัมต่อลิตรต่อชั่วโมง ในขณะที่ระดับความเข้มข้นของสารชีวามาต 10 ppm จะไม่พบการเพิ่มขึ้นของปริมาณฟรุกโตสตลอดการเพาะเลี้ยง

จากการเปรียบเทียบผลของสารชีวามาตต่อปริมาณฟรุกโตสของ *W. cibaria* กับ *L. mesenteroides* TISTR 473 พบร้า ฉุลินทรีย์ทั้งสองสายพันธุ์มีรูปแบบการเพิ่มปริมาณฟรุกโตสคล้ายคลึงกัน โดยที่ระดับความเข้มข้นของสารชีวามาต 0 ppm มีการเกิดฟรุกโตสสูงที่สุด ส่วนที่ระดับความเข้มข้นของสารชีวามาต 5 ppm มีการเกิดฟรุกโตสเพียงเล็กน้อยและพบว่าไม่การเกิดฟรุกโตสที่ระดับความเข้มข้นของสารชีวามาต 10 ppm เมื่อเปรียบเทียบอัตราการเกิดฟรุกโตส พบร้า ที่ระดับความเข้มข้นของสารชีวามาต 0.5 และ 10 ppm *W. cibaria* มีอัตราการเกิดฟรุกโตส เท่ากับ 0.51 ± 0.04 0.27 ± 0.07 และ 0.00 ± 0.02 กรัมต่อลิตรต่อชั่วโมง ตามลำดับ ส่วน *L. mesenteroides*

TISTR 473 มีอัตราการเกิดฟрукโตสที่ความเข้มข้นของสารชีวภาพ 0.5 และ 10 ppm เท่ากับ 0.45 ± 0.03 และ 0.22 ± 0.03 และ 0.00 ± 0.01 กรัมต่อลิตรต่อชั่วโมง ตามลำดับ (ตาราง 13)

ผลการทดลองที่ได้แสดงให้เห็นว่าที่ระดับความเข้มข้นของสารชีวภาพ 10 ppm เหมาะสมต่อการยับยั้งการเกิดฟruktose สำหรับ *W. cibaria* และ *L. mesenteroides* TISTR 473 มากที่สุดโดยไม่พบการเกิดฟruktose ตลอดระยะเวลาในการเพาะเลี้ยง รองลงมาคือ 5 ppm มีการเกิดฟruktose ได้เพียงเล็กน้อย ในขณะที่ระดับความเข้มข้นของสารชีวภาพ 0 ppm มีการเกิดฟruktose ได้ในปริมาณสูง



ภาพ 25 ปริมาณฟruktose ของ *Weissella cibaria* (g) และ ของ *Leucunostoc mesenteroides* TISTR473 (x) ในน้ำอ้อย (pH 5.0-5.5) ที่ความเข้มข้นของสารชีวภาพที่ 0 (—○—) 5 (—▲—) และ 10 (—■—) ppm

ตาราง 13 อัตราการเกิดฟรูกโตสของ *Weissella cibaria* และ *Leucunostoc mesenteroides* TISTR473 ในน้ำอ้อย (pH 5.0 – 5.5) ที่สารชีวมาตความเข้มข้น 0.5 และ 10 ppm

Strain	อัตราการเกิดฟรูกโตส (กรัมต่อลิตรต่อชั่วโมง)		
	0 ppm	5 ppm	10 ppm
<i>W. cibaria</i>	0.51±0.04 ^a	0.27±0.07 ^b	0.00±0.02 ^d
<i>L. mesenteroides</i> TISTR 473	0.45±0.03 ^a	0.22±0.03 ^b	0.00±0.01 ^d

หมายเหตุ: ฉลากหัวตัวพิมพ์เล็กที่ในแนวนอนต่างกันแสดงถึงความแตกต่างทางสถิติ ที่ระดับความเชื่อมั่น 95%

จากการทดลองแสดงให้เห็นว่าระดับความเข้มข้นของสารชีวมาตที่ 10 ppm มีความเหมาะสมมากที่สุดสำหรับการลดการสูญเสียซูโคสเนื่องจาก *W. cibaria* ที่แยกได้จากกระบวนการผลิตน้ำตาลทราย โดยที่ระดับความเข้มข้นของสารชีวมาตที่ 10 ppm สามารถยับยั้งการเติบโต การผลิตเอนไซม์เด็กซ์แทرنซูเครส การผลิตเด็กซ์แทرنและฟรูกโตสได้ดีที่สุด ส่งผลทำให้มีการสูญเสียซูโคสในปริมาณต่ำ รองมาคือที่ระดับความเข้มข้นของสารชีวมาตที่ 5 ppm ในขณะที่ระดับความเข้มข้นของสารชีวมาต 0 ppm *W. cibaria* สามารถเจริญเติบโตได้ดี มีระดับกิจกรรมเอนไซม์เด็กซ์แทرنซูเครสสูง ส่งผลทำให้มีอัตราการใช้ซูโคสที่สูง และ มีอัตราการเกิดเด็กซ์แทرنและฟรูกโตสในปริมาณ จึงมีผลทำให้ที่ระดับความเข้มข้นของสารชีวมาต 0 ppm เกิดการสูญเสียซูโคสในปริมาณสูงที่สุด

ผลของอุณหภูมิและสารชีวมาตต่อการเติบโต ระดับกิจกรรมเอนไซม์เด็กซ์แทرنซูเครส ปริมาณซูโคส และปริมาณเด็กซ์แทرنและฟรูกโตส ในน้ำอ้อยของ *Weissella cibaria*

ผลการทดลองจากตอนที่ 1 และ 2 แสดงให้เห็นว่าอุณหภูมิและสารชีวมาตต่างมีผลต่อการเจริญ ระดับกิจกรรมเอนไซม์เด็กซ์แทرنซูเครส ปริมาณซูโคส ปริมาณเด็กซ์แทرنและปริมาณฟรูกโตส ของ *W. cibaria* เมื่อเลี้ยงในน้ำอ้อย แต่ข้อมูลดังกล่าวไม่สามารถบอกได้ว่าปัจจัยทั้งสองมีผลร่วมกันหรือไม่ อย่างไร ดังนั้นเพื่อให้ทราบถึงอิทธิพลของทั้งสองปัจจัยต่อตัวแปรที่ทำการศึกษา (การเจริญ ระดับกิจกรรมเอนไซม์เด็กซ์แทرنซูเครส ปริมาณซูโคส ปริมาณเด็กซ์

แท่นและปริมาณฟรอกโตส) จึงได้วางแผนการทดลองแบบ factorial design โดยมีปัจจัยที่ศึกษาได้แก่ อุณหภูมิ 3 ระดับ (20 30 และ 40 องศาเซลเซียส) และความเข้มข้นของสารชีวามาต 3 ระดับ (0 5 และ 10 ppm)

1. ผลของอุณหภูมิและสารชีวามาตต่อการเติบโตของ *Weissella cibaria*

จากการศึกษาผลของอุณหภูมิและสารชีวามาตต่อการเติบโตของ *W. cibaria* ที่อุณหภูมิ 3 ระดับ คือ 20 30 และ 40 องศาเซลเซียส และความเข้มข้นของสารชีวามาต 3 ระดับ คือ 0 5 และ 10 ppm โดยทำการเพาะเลี้ยงในน้ำอ้อย ($\text{pH } 5.0 - 5.5$) ให้อาภาคด้วยการเขย่า (200 รอบต่อนาที) ปริมาณเชื้อตั้งต้นโดยเฉลี่ยประมาณ $5.0 - 6.0 \log_{10} \text{cfu/ml}$ ทำการเพาะเลี้ยงเป็นเวลา 24 ชั่วโมง พบร่วมกัน *W. cibaria* สามารถเจริญเติบโตได้ที่อุณหภูมิ 20 และ 30 องศาเซลเซียส ที่ระดับความเข้มข้นของสารชีวามาต 0 ppm โดยมีปริมาณเชื้อสูงสุดเท่ากับ 9.23 และ $8.68 \log_{10} \text{cfu/ml}$ ตามลำดับ (ตาราง 14) และเจริญเติบโตได้น้อยลงเมื่ออุณหภูมิและระดับความเข้มข้นของสารชีวามาตเพิ่มขึ้น

เมื่อพิจารณาที่ระดับความเข้มข้นของสารชีวามาต 0 ppm ในชั่วโมงที่ 0 - 6 ที่อุณหภูมิ 20 30 และ 40 องศาเซลเซียส จุลินทรีย์มีปริมาณเพิ่มขึ้นอย่างรวดเร็ว ในชั่วโมงที่ 8 ที่อุณหภูมิ 20 และ 30 องศาเซลเซียส ปริมาณจุลินทรีย์เริ่มคงที่เข้าสู่ช่วง stationary phase ในขณะที่ 40 องศาเซลเซียส เชื้อมีการลดปริมาณลงอย่างรวดเร็วเนื่องจากจุลินทรีย์ไม่สามารถทนต่ออุณหภูมิสูงได้

เมื่อพิจารณาที่ระดับความเข้มข้นของสารชีวามาต 5 ppm ในชั่วโมงที่ 0 - 8 ที่อุณหภูมิ 20 30 และ 40 องศาเซลเซียส ปริมาณจุลินทรีย์มีการลดลงเพียงเล็กน้อยหรือค่อนข้างคงที่ ทั้งนี้อาจเป็นผลมาจากการที่สารชีวามาตไปทำการยับยั้งการเจริญเติบโตของจุลินทรีย์ โดยการปลดปล่อยกลุ่ม formaldehyde จาก Hexamethylenetetramine ในตัวกลางที่เป็นกรด (acid medium) โดย formaldehyde จะทำปฏิกิริยากับโปรตีนในเซลล์จุลินทรีย์ด้วยการทำให้โปรตีนตกละลาย ทำให้จุลินทรีย์มีช่วงระยะเวลาการปรับตัวนานขึ้น (lag phase) และหลังจากชั่วโมงที่ 8 จุลินทรีย์จะเริ่มเพิ่มปริมาณมากขึ้น เนื่องจากจุลินทรีย์ที่เหลือรอดมีการปรับตัวให้เข้ากับสภาพแวดล้อมที่รุนแรงเพื่อให้สามารถเติบโตและเพิ่มปริมาณในสภาพแวดล้อมดังกล่าวได้

ในขณะที่ระดับความเข้มข้นของสารชีวามาต 10 ppm ที่ทุกอุณหภูมิจุลินทรีย์มีปริมาณลดลงในช่วงแรก จากนั้นจึงเริ่มมีการเพิ่มปริมาณมากขึ้น ที่เป็นเช่นนี้อาจเนื่องมาจากการที่จุลินทรีย์บางส่วนถูกยับยั้งด้วยสารชีวามาตในขณะที่จุลินทรีย์ส่วนที่เหลือรอดมีความสามารถในการทนต่อสารชีวามาตได้และสามารถซ้อมแซมตัวเองจากการบาดเจ็บและเพิ่มจำนวนขึ้น

อย่างไรก็ตามที่อุณหภูมิ 20 และ 30 องศาเซลเซียส ระดับความเข้มข้นของสารชีวามาตที่ 5 และ 10 ppm สามารถปริมาณจุลินทรีย์ได้มากกว่าที่ 0 ppm และที่ 40 องศาเซลเซียส ระดับความเข้มข้นของสารชีวามาตที่ 5 และ 10 ppm สามารถควบคุมการเพิ่มปริมาณจุลินทรีย์ได้โดยในช่วงไม้ที่ 24 มีปริมาณจุลินทรีย์ไม่แตกต่างจากปริมาณเชื้อตั้งต้นอย่างมีนัยสำคัญทางสถิติ ($p<0.05$)

ผลการทดลองที่ได้แสดงให้เห็นว่าที่อุณหภูมิเดียวกันการเจริญของ *W. cibaria* ลดลง เมื่อระดับความเข้มข้นของสารชีวามาตเพิ่มขึ้น ยกเว้นที่ 40 องศาเซลเซียสที่พบการเจริญเพิ่มขึ้นเมื่อ ระดับความเข้มข้นของสารชีวามาตเพิ่มขึ้น ส่วนที่ระดับความเข้มข้นของสารชีวามาตเท่ากันการเจริญลดลงเมื่ออุณหภูมิเพิ่มขึ้น ยกเว้นที่ 10 ppm *W. cibaria* มีปริมาณการเจริญที่ใกล้เคียงกัน ดัง แสดงในตาราง 14

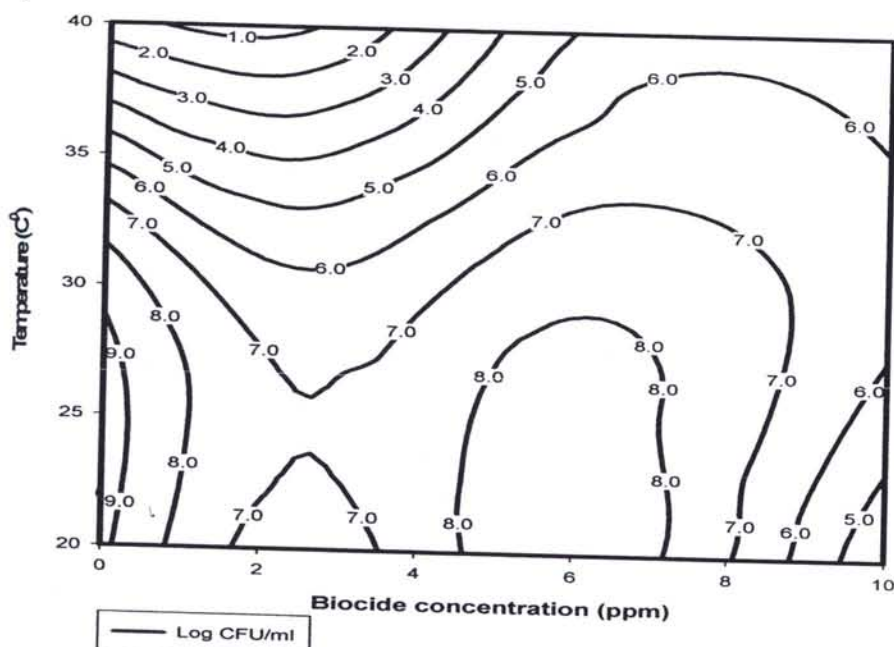
แผนภาพคอนทัวร์ (Contour plot) (ภาพ 26) แสดงความสัมพันธ์ระหว่างการเจริญ ของ *W. cibaria* ในน้ำอ้อยที่อุณหภูมิและระดับความเข้มข้นของสารชีวามาตต่างๆ พบร้า *W. cibaria* สามารถเจริญได้น้อยลงเมื่ออุณหภูมิและความเข้มข้นของสารชีวามาตเพิ่มขึ้น จาก แผนภาพซึ่งให้เห็นว่าสภาวะที่ *W. cibaria* สามารถเจริญเติบโตได้สูงสุด คือที่อุณหภูมิ 20 องศา เซลเซียสและความเข้มข้นของสารชีวามาต 0 ppm รองลงมาคือที่ 30 องศาเซลเซียสและความ เข้มข้นของสารชีวามาต 0 ppm ส่วนที่ 40 องศาเซลเซียส ความเข้มข้นของสารชีวามาต 0 ppm *W. cibaria* สามารถเจริญได้น้อยที่สุด

ผลที่ได้แสดงให้เห็นว่า เมื่ออุณหภูมิสูงขึ้นส่งผลให้ *W. cibaria* เจริญได้น้อยลง เช่น เดียวกับการที่มีความเข้มข้นของสารชีวามาตเพิ่มขึ้นมีผลทำให้จุลินทรีย์สามารถเจริญได้น้อยลง เช่นกัน จากการหาปฏิสัมพันธ์ (interaction) ระหว่างอุณหภูมิและระดับความเข้มข้นของสารชีวามาตต่อการเจริญเติบโตของ *W. cibaria* พบร้าทั้งอุณหภูมิและระดับความเข้มข้นของสารชีวามาตมี อิทธิพลร่วมต่อการเจริญเติบโตอย่างมีนัยสำคัญทางสถิติ ($p<0.05$) และแสดงว่าอุณหภูมิและระดับ ความเข้มข้นของสารชีวามาตมีผลร่วมกันต่อการเจริญเติบโตของ *W. cibaria*

ตาราง 14 ผลของอุณหภูมิและสารชีวภาพต่อการเติบโต ระดับกิจกรรมเอนไซม์เด็กซ์แทรนซูแครส ปริมาณซูแครส และปริมาณเด็กซ์แทรนและฟรุกโตสในน้ำอ้อยของ *Weissella cibaria*

Temp. (°C)	Biocide conc. (ppm)	Growth Log (CFU/ml)	Enzyme activity (DSU/ml)	Sucrose (N/N ₀)	Dextran (%)	Fructose (N/N ₀)
20	0	9.23±0.01 ^a	2.89±0.14 ^a	0.43±0.01 ^c	6.44±0.57 ^b	6.53±0.34 ^a
	5	8.34±0.34 ^{ab}	0.40±0.02 ^c	0.97±0.01 ^a	0.23±0.03 ^c	1.27±0.12 ^c
	10	4.14±0.18 ^f	0.00±0.03 ^f	0.99±0.00 ^a	0.00±0.03 ^d	0.97±0.04 ^c
30	0	8.68±0.11 ^a	0.77±0.08 ^b	0.70±0.16 ^b	8.15±0.98 ^a	1.99±0.28 ^b
	5	7.48±0.54 ^{bc}	0.23±0.01 ^d	0.94±0.02 ^a	0.46±0.02 ^c	1.64±0.19 ^{bc}
	10	6.28±0.14 ^{de}	0.00±0.03 ^f	0.98±0.01 ^a	0.00±0.21 ^d	0.90±0.03 ^c
40	0	1.39±0.12 ^g	0.12±0.01 ^d	0.99±0.00 ^a	0.11±0.05 ^c	1.20±0.00 ^c
	5	4.02±0.07 ^f	0.02±0.00 ^g	0.99±0.01 ^a	0.07±0.04 ^c	1.06±0.02 ^c
	10	5.33±1.59 ^e	0.00±0.00 ^f	1.01±0.02 ^a	0.00±0.36 ^d	1.03±0.00 ^c

หมายเหตุ: อักษรตัวพิมพ์เล็กในแนวตั้งที่ต่างกันแสดงถึงความแตกต่างทางสถิติ ที่ระดับความเชื่อมั่น 95%



ภาพ 26 แผนภาพการตอบสนอง (Contour plot) ระหว่างการเจริญเติบโตของ *Weissella cibaria* ในน้ำอ้อย (pH 5.0 – 5.5) ต่ออุณหภูมิและระดับความเข้มข้นของสารชีวนาตต่างๆ

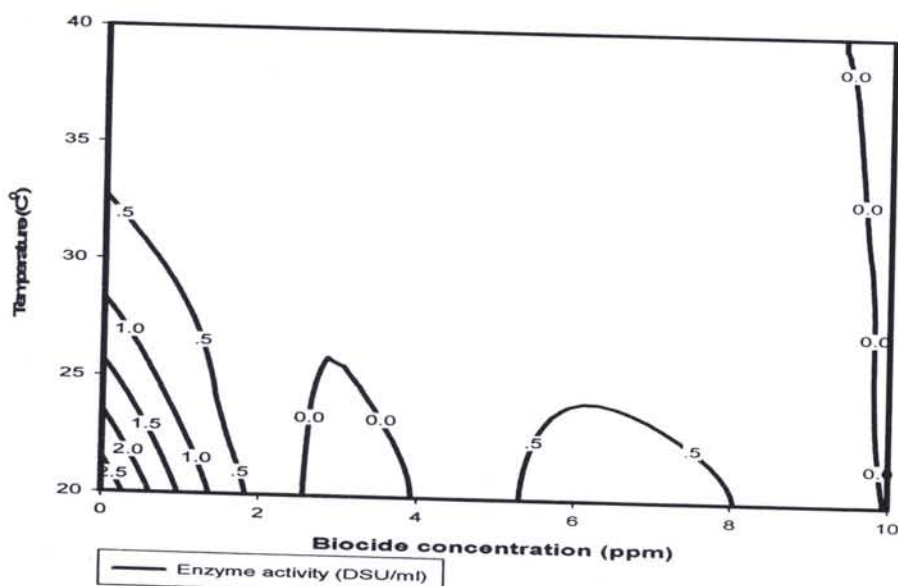
2. ผลของอุณหภูมิและสารชีวนาตต่อระดับกิจกรรมเอนไซม์เด็กซ์แทรนซูเครสของ *Weissella cibaria*

จากการศึกษาผลของอุณหภูมิและสารชีวนาตต่อระดับกิจกรรมเอนไซม์เด็กซ์แทรนซูเครสของ *W. cibaria* โดยทำการเพาะเลี้ยงจุลินทรีย์ในน้ำอ้อย (pH 5.0 – 5.5) ให้อาการด้วยการเขย่า (shaker) ที่ 200 รอบต่อนาที มีปริมาณเชื้อตั้งต้นโดยเฉลี่ยประมาณ 5.0 – 6.0 log₁₀cfu/ml ทำการเพาะเลี้ยงเป็นเวลา 24 ชั่วโมง ที่อุณหภูมิ 3 ระดับ คือ 20 30 และ 40 องศาเซลเซียส และความเข้มข้นของสารชีวนาต 3 ระดับ คือ 0.5 และ 10 ppm พบร่วม จากราhang 14 จะเห็นได้ว่าที่อุณหภูมิเดียวกันระดับกิจกรรมเอนไซม์เด็กซ์แทรนซูเครสของ *W. cibaria* ลดลงเมื่อระดับความเข้มข้นของสารชีวนาตเพิ่มขึ้น ยกเว้นที่ 40 องศาเซลเซียส พอกิจกรรมเอนไซม์เด็กซ์แทรนซูเครสของ *W. cibaria* ในระดับต่ำมากที่ทุกระดับความเข้มข้น และไม่พบการผลิตเอนไซม์เด็กซ์แทรนซูเครสที่ความเข้มข้น 10 ppm ส่วนที่ระดับความเข้มข้นของสารชีวนาตเดียวกัน พบระดับกิจกรรมเอนไซม์เด็กซ์แทรนซูเครสของ *W. cibaria* ลดลงเมื่ออุณหภูมิเพิ่มขึ้น และที่ 10 ppm ไม่พบการผลิตเอนไซม์เด็กซ์แทรนซูเครสของ *W. cibaria* ในทุกอุณหภูมิ

ภาพ 27 ชี้ให้เห็นว่าที่ระดับความเข้มข้นสารชีวฆาต 10 ppm ในทุกอุณหภูมิที่ทำการทดลองสามารถยับยั้งกิจกรรมเอนไซม์เด็กซ์แทรนซูเครสของ *W. cibaria* ได้ ในขณะที่สภาวะที่ *W. cibaria* มีระดับกิจกรรมเอนไซม์เด็กซ์แทรนซูเครสสูงสุด คือ 20 องศาเซลเซียสและระดับความเข้มข้นของสารชีวฆาต 0 ppm

จากการหาปฏิสัมพันธ์ (Interaction) ของอุณหภูมิและสารชีวฆาตต่อระดับกิจกรรมเอนไซม์เด็กซ์แทรนซูเครสของ *W. cibaria* พบว่าอุณหภูมิและสารชีวฆาตมีอิทธิพลร่วมอย่างมีนัยสำคัญทางสถิติ ($p < 0.05$) โดยการเพาะเลี้ยงที่อุณหภูมิ 20 30 และ 40 องศาเซลเซียส และความเข้มข้นของสารชีวฆาต 10 ppm จะไม่พบการผลิตเอนไซม์เด็กซ์แทรนซูเครสลดซึ่งที่ทำการเพาะเลี้ยง

เมื่อพิจารณาความสัมพันธ์ระหว่างการเจริญเติบโตของจุลินทรีย์และระดับกิจกรรมเอนไซม์เด็กซ์แทรนซูเครส พบร่วมกันในเชิงบวก ($p < 0.05$) แสดงว่าเมื่อจุลินทรีย์มีการเจริญเติบโตเพิ่มขึ้นย่อมมีผลทำให้ระดับกิจกรรมเอนไซม์เด็กซ์แทรนซูเครสสูงขึ้นด้วย ในทางตรงกันข้ามหากจุลินทรีย์มีการเจริญเติบโตน้อยลงย่อมมีผลทำให้ระดับกิจกรรมเอนไซม์เด็กซ์แทรนซูเครสลดต่ำลงเช่นกัน



ภาพ 27 แผนภาพการตอบสนอง (Contour plot) ระหว่างระดับกิจกรรมเอนไซม์เด็กซ์แทรนซูเครสของ *Weissella cibaria* ในน้ำอ้อย ($\text{pH } 5.0 - 5.5$) ต่ออุณหภูมิและระดับความเข้มข้นของสารชีวฆาตต่างๆ

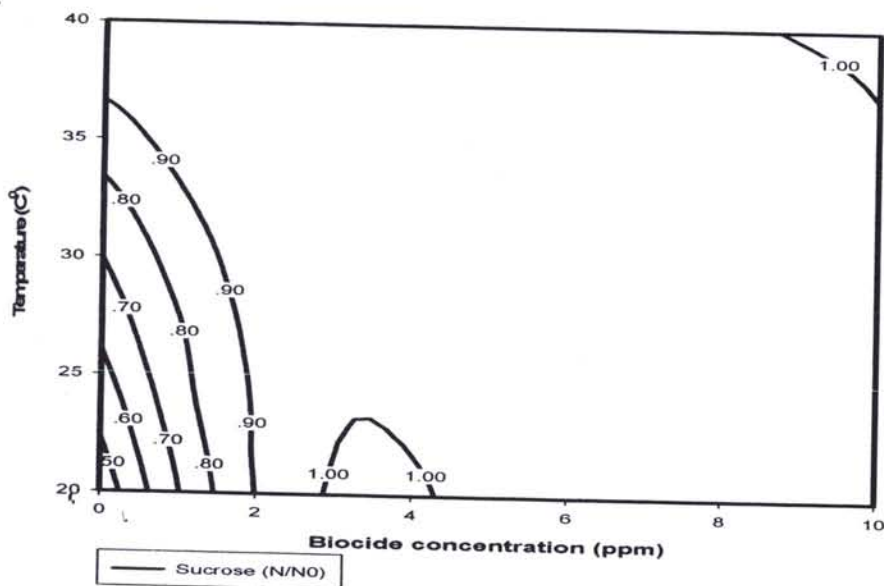
3. ผลของอุณหภูมิและสารชีวฆาตต่อปริมาณซูโคโรสของ *Weissella cibaria*

ทำการเพาะเลี้ยง *W. cibaria* ในน้ำอ้อย (pH 5.0 – 5.5) มีปริมาณเชื้อตั้งต้นโดยเฉลี่ยประมาณ $5.0 - 6.0 \log_{10} \text{cfu/ml}$ ให้อาการด้วยการเรย่า (200 รอบต่อนาที) ทำการเพาะเลี้ยงเป็นเวลา 24 ชั่วโมง ที่อุณหภูมิ 3 ระดับ คือ 20 30 และ 40 องศาเซลเซียส และความเข้มข้นของสารชีวฆาต 3 ระดับ คือ 0.5 และ 10 ppm เพื่อศึกษาผลของอุณหภูมิและสารชีวฆาตต่อปริมาณซูโคโรส พบว่า เมื่อ *W. cibaria* เจริญเติบโตโดยใช้ซูโคโรสในน้ำอ้อยเป็นแหล่งคาร์บอนและใช้เป็นขับสติโนในการสร้างเด็กซ์แทรนส์ผลทำให้ซูโคโรสในน้ำอ้อยมีปริมาณลดลง จากตาราง 14 จะเห็นได้ว่าที่อุณหภูมิเดียวกันสัดส่วนปริมาณซูโคโรสต่อปริมาณซูโคโรสตั้งต้นเพิ่มขึ้นเมื่อระดับความเข้มข้นของสารชีวฆาตเพิ่มขึ้น แสดงว่ามีการสูญเสียซูโคโรสในปริมาณต่ำลงเมื่อความเข้มข้นของสารชีวฆาตเพิ่มขึ้น ยกเว้นที่อุณหภูมิ 40 องศาเซลเซียส มีสัดส่วนปริมาณซูโคโรสต่อปริมาณซูโคโรสตั้งต้นไม่แตกต่างกัน ($p < 0.05$) ที่ทุกระดับความเข้มข้น ส่วนที่ระดับความเข้มข้นของสารชีวฆาตเดียวกัน พบว่าที่ระดับความเข้มข้นของสารชีวฆาต 0 ppm มีสัดส่วนปริมาณซูโคโรสต่อปริมาณซูโคโรสตั้งต้นเพิ่มขึ้นเมื่ออุณหภูมิเพิ่มขึ้น ในขณะที่ระดับความเข้มข้นของสารชีวฆาต 5 และ 10 ppm มีสัดส่วนปริมาณซูโคโรสต่อปริมาณซูโคโรสตั้งต้นไม่แตกต่างกันอย่างมีนัยสำคัญทางสถิติ ($p > 0.05$) ที่ทุกอุณหภูมิ

ภาพ 28 แสดงให้เห็นถึงผลของอุณหภูมิและระดับความเข้มข้นของสารชีวฆาตต่อสัดส่วนปริมาณซูโคโรสต่อปริมาณซูโคโรสตั้งต้น พบว่า สภาวะที่มีผลทำให้เกิดการสูญเสียซูโคโรสเนื่องจาก *W. cibaria* มากที่สุด คือที่ 20 องศาเซลเซียสและระดับความเข้มข้นของสารชีวฆาต 0 ppm รองลงมาคือที่ 30 องศาเซลเซียสและความเข้มข้นของสารชีวฆาต 0 ppm ส่วนสภาวะมีการสูญเสียซูโคโรสในปริมาณต่ำ คือที่ 40 องศาเซลเซียสและความเข้มข้นของสารชีวฆาต 0 ppm และสภาวะที่มีการเติมสารชีวฆาตที่ระดับความเข้มข้น 5 และ 10 ppm ในทุกอุณหภูมิ

จากการหาปฏิสัมพันธ์ (Interaction) ระหว่างอุณหภูมิและระดับความเข้มข้นของสารชีวฆาตต่อสัดส่วนปริมาณซูโคโรสต่อปริมาณซูโคโรสตั้งต้นของ *W. cibaria* พบว่าอุณหภูมิและระดับความเข้มข้นสารชีวฆาตมีอิทธิพลร่วมอย่างมีนัยสำคัญทางสถิติ ($p < 0.05$) แสดงว่าอุณหภูมิและระดับความเข้มข้นของสารชีวฆาตมีผลร่วมกันต่อสัดส่วนปริมาณซูโคโรสต่อปริมาณซูโคโรสตั้งต้นของ *W. cibaria*

เมื่อพิจารณาความสัมพันธ์ระหว่างการเจริญเติบโตของ *W. cibaria* และสัดส่วนปริมาณซูโคโรสต่อปริมาณซูโคโรสตั้งต้นพบว่า การเจริญเติบโตของจุลินทรีย์และสัดส่วนปริมาณซูโคโรสต่อปริมาณซูโคโรสตั้งต้นในน้ำอ้อย มีความสัมพันธ์กันในเชิงลบ ($\text{sig} < 0.01$) นั่นคือ เมื่อจุลินทรีย์มีการเจริญเติบโตเพิ่มขึ้นส่งผลทำให้ปริมาณซูโคโรสในน้ำอ้อยลดลง ดังแสดงในตาราง 14



ภาพ 28 แผนภูมิการตอบสนอง (Contour plot) ระหว่างสัดส่วนปริมาณซูโครีสต์ต่อปริมาณซูโครีสต์ตั้งต้นของ *Weissella cibaria* ในน้ำอ้อย (pH 5.0 – 5.5) ต่ออุณหภูมิและระดับความเข้มข้นของสารชีวฆ่าเชื้อต่างๆ

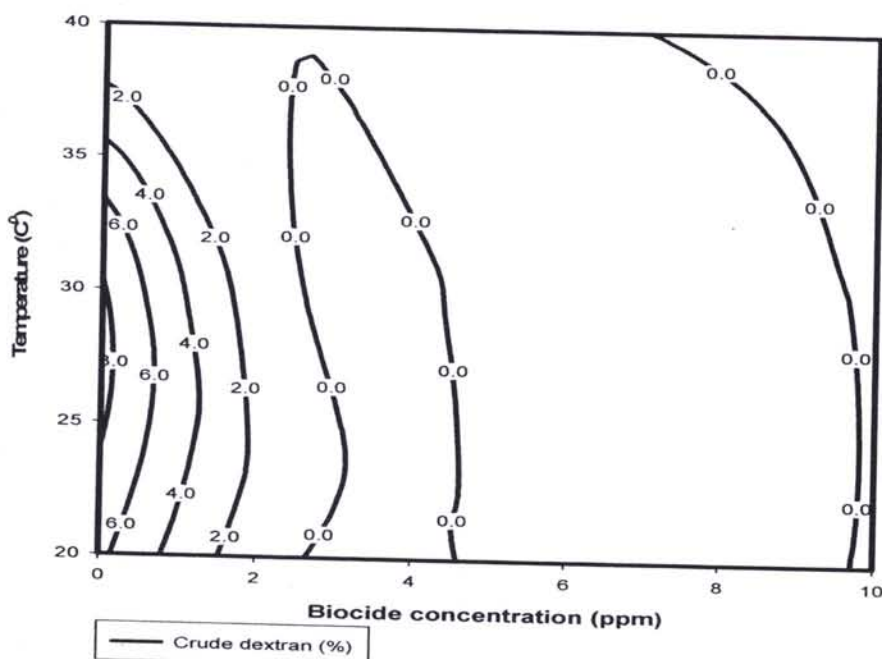
4. ผลของอุณหภูมิและสารชีวฆ่าเชื้อต่อปริมาณเด็กซ์แทรนของ *Weissella cibaria*

จากการศึกษาผลของอุณหภูมิและสารชีวฆ่าเชื้อต่อปริมาณเด็กซ์แทรนของ *W. cibaria* ที่อุณหภูมิ 3 ระดับ คือ 20 30 และ 40 องศาเซลเซียส และความเข้มข้นของสารชีวฆ่าเชื้อ 3 ระดับ คือ 0.5 และ 10 ppm โดยทำการเพาะเลี้ยงจุลินทรีย์ในน้ำอ้อย (pH 5.0 – 5.5) ให้อาภาคด้วยการเขย่า (200 รอบต่อนาที) ปริมาณเชื้อตั้งต้นโดยเฉลี่ยประมาณ 5.0 – 6.0 \log_{10} cfu/ml ทำการเพาะเลี้ยงเป็นเวลา 24 ชั่วโมง พบร่วมกัน *W. cibaria* สามารถผลิตเด็กซ์แทรนได้น้อยลงเมื่อความเข้มข้นของสารชีวฆ่าเชื้อเพิ่มขึ้น (ตาราง 14) ส่วนที่ระดับความเข้มข้นของสารชีวฆ่าเชื้อเดียวกัน *W. cibaria* สามารถผลิตเด็กซ์แทรนได้ดีที่อุณหภูมิ 20 และ 30 องศาเซลเซียส และผลิตได้น้อยมากที่ 40 องศาเซลเซียส ยกเว้นที่ 10 ppm ไม่พบการผลิตเด็กซ์แทรนของ *W. cibaria* ในทุกอุณหภูมิ

ภาพ 29 ชี้ให้เห็นว่า กระบวนการเพาะเลี้ยงที่ *W. cibaria* มีการผลิตเด็กซ์แทรนในปริมาณสูง คือที่อุณหภูมิ 20-และ 30 องศาเซลเซียส และระดับความเข้มข้นของสารชีวฆ่าเชื้อ 0 ppm ผลิตได้น้อยที่ 40 องศาเซลเซียส ความเข้มข้นของสารชีวฆ่าเชื้อ 0 ppm รวมถึงที่ระดับความเข้มข้น

สารชีวฆาต 5 ppm ที่ทุกอุณหภูมิ ส่วนที่ความเข้มข้นของสารชีวฆาต 10 ppm ในทุกอุณหภูมิที่ทำ การทดลองสามารถยับยั้งการผลิตเด็กซ์แทรนได้

โดยการผลิตเด็กซ์แทรนจะขึ้นอยู่กับการเจริญเติบโตของจุลินทรีย์และการสังเคราะห์เอนไซม์เด็กซ์แทรนซูแครส จากการหาความสัมพันธ์ระหว่างการเจริญเติบโตของจุลินทรีย์และการผลิตเด็กซ์แทรน พบร่วมกันว่า การเจริญเติบโตและการผลิตเด็กซ์แทรนของ *W. cibaria* มีความสัมพันธ์กันในเชิงบวก ($p < 0.01$) แสดงว่าเมื่ออุณหภูมิเจริญเติบโตได้ดีย่อมมีผลทำให้เกิดการผลิตเด็กซ์แทรนได้ในปริมาณสูง จากการหาความสัมพันธ์ระหว่างผลิตเอนไซม์เด็กซ์แทรนซูแครสและการผลิตเด็กซ์แทรนของ *W. cibaria* พบร่วมกันว่า การผลิตเอนไซม์เด็กซ์แทรนซูแครสและการผลิตเด็กซ์แทรน มีความสัมพันธ์กันในเชิงบวก ($p < 0.01$) แสดงว่าเมื่อมีการผลิตเอนไซม์เด็กซ์แทรนซูแครสในปริมาณสูงย่อมส่งผลทำให้เกิดการผลิตเด็กซ์แทรนได้ในปริมาณสูงเช่นกัน จากการหาปฏิสัมพันธ์ (Interaction) ของอุณหภูมิและสารชีวฆาตต่อการผลิตเด็กซ์แทรนของ *W. cibaria* พบร่วมกันว่าอุณหภูมิและสารชีวฆาตมีอิทธิพลร่วมอย่างมีนัยสำคัญทางสถิติ ($p < 0.05$) แสดงว่าอุณหภูมิและสารชีวฆาตมีผลร่วมกันต่อปริมาณเด็กซ์แทรนของ *W. cibaria*



ภาพ 29 แผนภูมิการตอบสนอง (Contour plot) ระหว่างปริมาณเด็กซ์แทรนของ *Weissella cibaria* ในน้ำอ้อย ($\text{pH } 5.0 - 5.5$) ต่ออุณหภูมิและระดับความเข้มข้นของสารชีวฆาตต่างๆ

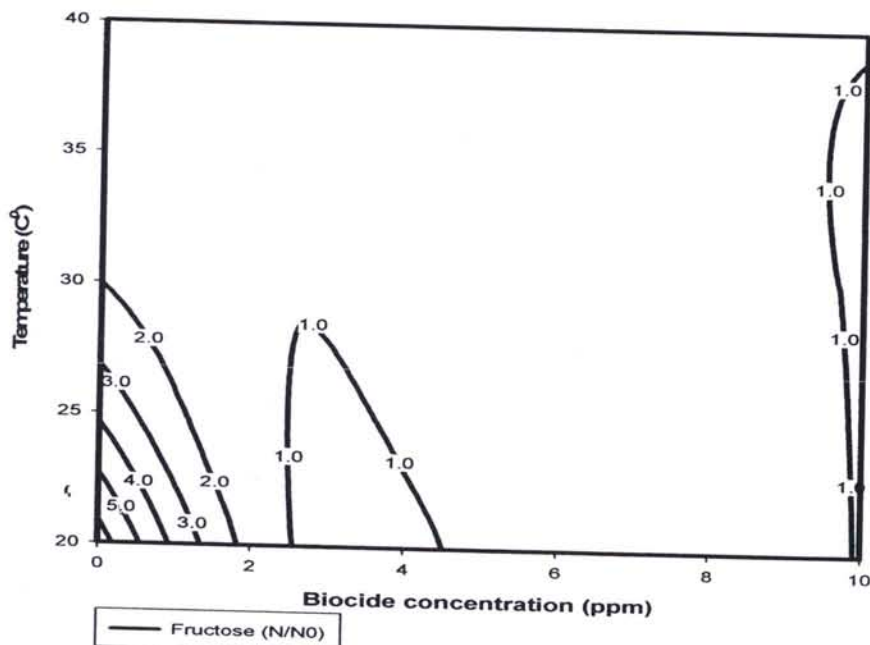
5. ผลของอุณหภูมิและสารชีวภาพต่อปริมาณฟรูกโตสของ *Weissella cibaria*

ทำการเพาะเลี้ยง *W. cibaria* ในน้ำอ้อย (pH 5.0 – 5.5) ให้อาการด้วยการเขย่า (ที่ 200 รอบต่อนาที) ปริมาณเชื้อตั้งต้นโดยเฉลี่ยประมาณ 5.0 – 6.0 log₁₀cfu/ml ทำการเพาะเลี้ยง เป็นเวลา 24 ชั่วโมง ที่อุณหภูมิ 3 ระดับ คือ 20 30 และ 40 องศาเซลเซียส และความเข้มข้นของสารชีวภาพ 3 ระดับ คือ 0.5 และ 10 ppm เพื่อศึกษาผลของอุณหภูมิและสารชีวภาพต่อปริมาณฟรูกโตส พบว่า จากตาราง 14 จะเห็นได้ว่าที่อุณหภูมิเดียวกันสัดส่วนปริมาณฟรูกโตสต่อปริมาณฟรูกโตสตั้งต้นน้อยลงเมื่อระดับความเข้มข้นของสารชีวภาพเพิ่มขึ้น ยกเว้นที่อุณหภูมิ 40 องศาเซลเซียส มีสัดส่วนปริมาณฟรูกโตสต่อปริมาณฟรูกโตสตั้งต้นไม่แตกต่างกัน ($p < 0.05$) ในทุกระดับความเข้มข้น ส่วนที่ระดับความเข้มข้นของสารชีวภาพเดียวกันที่ระดับความเข้มข้นของสารชีวภาพ 0 ppm สัดส่วนปริมาณฟรูกโตสต่อปริมาณฟรูกโตสตั้งต้นลดลงเมื่ออุณหภูมิเพิ่มขึ้น ส่วนที่ระดับความเข้มข้นของสารชีวภาพ 5 และ 10 ppm มีสัดส่วนปริมาณฟรูกโตสต่อปริมาณฟรูกโตสตั้งต้น ไม่แตกต่างกัน ($p < 0.05$) ในทุกอุณหภูมิที่ทำการทดลอง

ดังภาพ 30 แสดงให้เห็นว่า สภาพที่ *W. cibaria* มีสัดส่วนปริมาณฟรูกโตสต่อปริมาณฟรูกโตสตั้งต้นสูงที่สุด คือที่อุณหภูมิ 20 องศาเซลเซียส และความเข้มข้นของสารชีวภาพ 0 ppm รองลงมาคือที่ 30 องศาเซลเซียส และความเข้มข้นของสารชีวภาพ 0 ppm ส่วนที่ระดับความเข้มข้นสารชีวภาพ 10 ppm ในทุกอุณหภูมิที่ทำการทดลองสามารถยับยั้งการเกิดฟรูกโตสของ *W. cibaria* ได้

จากการหาความสัมพันธ์ระหว่างการเจริญเติบโตของจุลินทรีย์และปริมาณฟรูกโตส พบว่า การเจริญเติบโตและปริมาณฟรูกโตส ของ *W. cibaria* มีความสัมพันธ์กันในเชิงบวก ($sig < 0.05$) แสดงว่าเมื่อจุลินทรีย์เจริญเติบโตได้ดีย่อมมีผลทำให้มีการเกิดฟรูกโตสได้ในปริมาณสูง และจากการหาความสัมพันธ์ระหว่างระดับกิจกรรมเอนไซม์เด็กซ์แทรนซูเครสและปริมาณฟรูกโตสของ *W. cibaria* พบว่า ระดับกิจกรรมเอนไซม์เด็กซ์แทรนซูเครสและปริมาณฟรูกโตส มีความสัมพันธ์กัน ในเชิงบวก ($sig < 0.01$) แสดงว่าเมื่อมีระดับกิจกรรมเอนไซม์เด็กซ์แทรนซูเครสในปริมาณสูง ย่อมส่งผลทำให้มีการเกิดฟรูกโตสในปริมาณสูง

จากการหาปฏิสัมพันธ์ (Interaction) ของอุณหภูมิและสารชีวภาพต่อการเกิดฟรูกโตส ของ *W. cibaria* พบว่าอุณหภูมิและสารชีวภาพมีอิทธิพลร่วมกันอย่างมีนัยสำคัญทางสถิติ ($p < 0.05$) แสดงว่าอุณหภูมิและสารชีวภาพมีผลร่วมกันต่อปริมาณฟรูกโตสของ *W. cibaria*



ภาพ 30 แผนภูมิการตอบสนอง (Contour plot) สัดส่วนปริมาณฟรอกโดยสารต่อปริมาณฟรอกโดยสารตั้งต้นของ *Weissella cibaria* ในน้ำอ้อย (pH 5.0 – 5.5) ที่อุณหภูมิและระดับความเข้มข้นของสารชีวฆ่าเชื้อต่างๆ

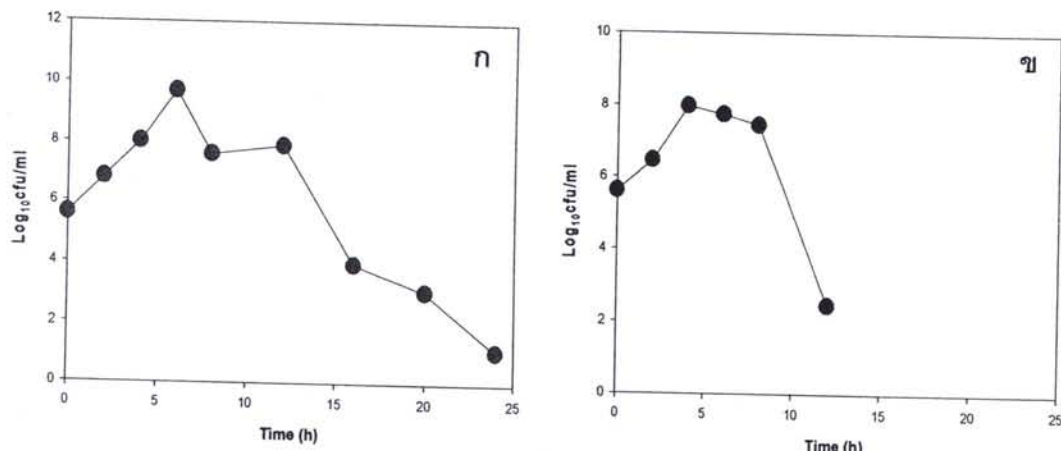
การศึกษาในขั้นตอนต่อไปเป็นการพัฒนาแบบจำลองทางคณิตศาสตร์ของการเจริญเติบโต การผลิตเอนไซม์เด็กซ์แทرنซูเครส การใช้ซูโครส การผลิตเด็กซ์แทرنและการผลิตฟรอกโดยสารที่สมพันธ์กับอุณหภูมิและความเข้มข้นของสารชีวฆ่าเชื้อ เพื่อให้สามารถทำนายการเปลี่ยนแปลงที่เกิดขึ้นในน้ำอ้อยที่มีการปนเปื้อนของ *W. cibaria* และ *L. mesenteroides TISTR 473* และทำนายสภาวะของอุณหภูมิและความเข้มข้นของสารชีวฆ่าเชื้อที่เหมาะสมเพื่อลดการสูญเสียซูโครสเนื่องจากแบคทีเรียแลคติกที่ปนเปื้อนในกระบวนการผลิตน้ำตาล แต่จากการทดลองที่ได้พบว่าระดับความเข้มข้นของสารชีวฆ่าเชื้อที่ใช้ในการทดลอง (5 และ 10 ppm) มีผลในการยับยั้งการผลิตเอนไซม์เด็กซ์แทرنซูเครสของแบคทีเรียทดสอบทั้งสองสายพันธุ์ได้เกือบสมบูรณ์ จึงไม่สามารถนำข้อมูลมาใช้ในการพัฒนาแบบจำลองทางคณิตศาสตร์ได้ ดังนั้นการทดลองในตอนต่อไปจึงทำการพัฒนาแบบจำลองทางคณิตศาสตร์ของการเจริญเติบโต การผลิตเอนไซม์เด็กซ์แทرنซูเครส การใช้ซูโครส การผลิตเด็กซ์แทرنและการผลิตฟรอกโดยสารที่สมพันธ์กับอุณหภูมิ เท่านั้น

การพัฒนาแบบจำลอง

1. แบบจำลองการเจริญเติบโตของเซลล์

การเติบโตของ *W. cibaria* และ *L. mesenteroides* TISTR 473 ที่อุณหภูมิ 40 องศาเซลเซียส (ภาพ 31) แสดงให้เห็นว่า เมื่อถ่ายกล้าเรือลงไปในน้ำอ้อย ระยะแรกๆ ลินทรีมีการเติบโต เมื่อผ่านไปช่วงระยะเวลาหนึ่ง จุลินทรีลดปริมาณลง ดังนั้นในการพัฒนาแบบจำลองของการเติบโตสำหรับการทดลองนี้ ได้กำหนดข้อสมมุติ (assumption) ไว้ว่า จุลินทรีปัจจุบันระหว่างการเพาะเลี้ยง มีลักษณะทางสรีรวิทยา อยู่ 3 แบบ คือ (1) เซลล์ที่มีความทนต่อความร้อน (X_R : resistance cells) (2) เซลล์ที่มีความไวต่อความร้อน (X_S : sensitive cells) และ (3) เซลล์ที่ตายเนื่องจากความร้อน (X_D : death cells) โดยเมื่อเซลล์ที่มีความทนต่อความร้อนเติบโตและแบ่งเซลล์ จะได้เซลล์ใหม่ที่อยู่ในสถานะที่ไวต่อความร้อน ซึ่งเซลล์ที่ไวต่อความร้อนนี้สามารถเติบโตและเพิ่มจำนวนได้ และขณะเดียวกันก็สามารถถูกทำลายโดยความร้อนได้

$$X_R \rightarrow X_S \rightarrow X_D \quad (13)$$



ภาพ 31 การเติบโตของ (ก) *W. cibaria* และ (ข) *L. mesenteroides* TISTR 473 ที่อุณหภูมิ 40 องศาเซลเซียส

ดังนั้นแบบจำลองการเติบโตจึงจำเป็นต้องพิจารณาเทอมที่เกี่ยวข้องกับอัตราการตาย ด้วย สมการอัตราของการเปลี่ยนแปลงจำนวนเชลล์ที่ทนต่อความร้อน และเชลล์ที่ไวต่อความร้อน สามารถเขียนได้ดังนี้

$$\frac{dX_R}{dt} = -\mu \cdot X_R \quad (14)$$

$$\frac{dX_S}{dt} = \mu \cdot X_R - k_d \cdot X_S \quad (15)$$

โดยที่

เมื่อ

$$\mu = k \left(1 - \frac{X_R}{X_{Ras}} \right) \quad (16)$$

X_S	คือ ปริมาณของเชลล์ที่ไวต่อความร้อน (\log_{10} cfu/ml)
X_R	คือ ปริมาณของเชลล์ที่ทนต่อความร้อน (\log_{10} cfu/ml)
k	คือ อัตราการเจริญเติบโตจำเพาะสูงสุด (h^{-1})
μ	คือ อัตราการเจริญเติบโตจำเพาะ (h^{-1})
X_{Ras}	คือ ปริมาณสูงสุดของเชลล์ที่ทนต่อความร้อน (\log_{10} cfu/ml)
k_d	ค่าคงที่ของอัตราการตาย (h^{-1})

แต่อย่างไรก็ตามในการทดลองนี้ พิจารณาว่าปริมาณเชลล์ที่วัดได้อยู่ในรูปของ X_S เท่านั้น ส่วน X_R เป็นค่าที่ได้จากการประมาณค่าในโปรแกรมสำเร็จรูป Berkeley Madonna

2. แบบจำลองการผลิตเอนไซม์เด็กซ์แทرنซูเครส

เมื่อพิจารณาจากผลการทดลอง พบร่วมกันว่า การผลิตเอนไซม์เด็กซ์แทرنซูเครสไม่ได้ขึ้นอยู่ กับการเติบโตของจุลินทรีย์โดยตรง แต่ขึ้นอยู่กับความเข้มข้นของเชลล์จุลินทรีย์ที่มีชีวิต โดยสังเกต ได้จากการผลิตเอนไซม์เด็กซ์แทرنซูเครสจะเกิดขึ้นเมื่อความเข้มข้นของเชลล์สูงประมาณ $7.00 \log_{10}$ cfu/ml (ภาคผนวก ค) ดังนั้นจึงใช้สมการโลจิสติก (logistic equation) ในการอธิบายลักษณะ การผลิตเอนไซม์ที่สัมพันธ์กับความเข้มข้นของเชลล์ที่ไวต่อความร้อน โดยพิจารณาว่าเฉพาะเชลล์ที่ไวต่อความร้อนเท่านั้น (X_S) ที่สามารถผลิตเอนไซม์ได้

$$Q_E = Q_{E,max} \cdot \left(1 - \frac{E}{E_{max}} \right) \quad (17)$$

$$\frac{dE}{dt} = Q_E \cdot X_S = Q_{E,max} \cdot \left(1 - \frac{E}{E_{max}}\right) X_S \quad (18)$$

เมื่อ

X_S	คือ ปริมาณของเซลล์ที่ไวต่อความร้อน (\log_{10} cfu/ml)
Q_E	คือ อัตราการผลิตเอนไซม์จำเพาะ (DSU/ml/h)
$Q_{E,max}$	คือ อัตราการผลิตเอนไซม์จำเพาะสูงสุด (DSU/ml/h)
E	คือ ความเข้มข้นของเอนไซม์ที่ผลิตได้ (DSU/ml)
E_{max}	คือ ความเข้มข้นของเอนไซม์ที่ผลิตได้สูงสุด (DSU/ml)

3. แบบจำลองการผลิตเด็กซ์แทرن

เด็กซ์แทرنเกิดจากการกระตุ้นปฏิกิริยาระหว่างเอนไซม์เด็กซ์แทرنซึ่คิรสกับซึคิรสโดยเอนไซม์เด็กแทرنซึคิรสจะทำหน้าที่ย้ายหมู่กลูโคซิล (Transglucosylation) จากโมเลกุลของน้ำตาลซึคิรสซึ่งเป็นสารตั้งต้นเกิดเป็นเด็กซ์แทرنและปลดปล่อยส่วนของฟรุกโตสออกมาน้ำหนึบแบบจำลองการผลิตเด็กซ์แทرنและฟรุกโตส สามารถเขียนในรูปสมการดังนี้ (Santos, et al., 2000)

$$\frac{dD}{dt} = \frac{M_G - M_W}{M_S} \cdot K_e \cdot E \cdot S \quad (19)$$

เมื่อ

D	คือ ความเข้มข้นของเด็กซ์แทرن (mg/ml)
S	คือ ความเข้มข้นของซึคิรส (mg/ml)
E	คือ ความเข้มข้นของเอนไซม์ที่ผลิตได้ (DSU/ml)
M_G, M_S และ M_W	คือ มวลโมเลกุลของกลูโคส ซึคิรส และน้ำ มีค่าเท่ากับ 180.16 342.3 และ 18 g/mol ตามลำดับ
K_e	คือ ค่าคงที่ของอัตราการผลิตเอนไซม์ (ml/DSU h)

4. แบบจำลองการผลิตฟรุกโตส

ฟรุกโตสเกิดจากการกระตุ้นปฏิกิริยาระหว่างเอนไซม์เด็กซ์แทرنซึคิรสกับซึคิรสโดยเอนไซม์เด็กแทرنซึคิรสจะทำหน้าที่ย้ายหมู่กลูโคซิล (Transglucosylation) จากโมเลกุลของน้ำตาลซึคิรสซึ่งเป็นสารตั้งต้นเกิดเป็นเด็กซ์แทرنและปลดปล่อยส่วนของฟรุกโตสออกมาน้ำหนึบ

แบบจำลองการผลิตเด็กซ์แทرنและฟรอกโตส สามารถเขียนในรูปสมการดังนี้ (Santos, et al., 2000)

$$\frac{dF}{dt} = \frac{M_F}{M_S} \cdot K_e \cdot E \cdot S \quad (20)$$

เมื่อ

F	คือ ความเข้มข้นของฟรอกโตส (mg/ml)
S	คือ ความเข้มข้นของซูโครัส (mg/ml)
E	คือ ความเข้มข้นของเอนไซม์ที่ผลิตได้ (DSU/ml)
M_F และ M_S	คือมวลโมเลกุลของฟรอกโตส และซูโครัส มีค่าเท่ากับ 180.16 และ 342.3 ตามลำดับ
K_e	ค่าคงที่ของอัตราการผลิตเอนไซม์ (ml/DSU h)

5. แบบจำลองการใช้ซูโครัส

ซูโครัสถูกใช้ในการเติบโตของเซลล์ และการผลิตเด็กซ์แทرنและฟรอกโตสซึ่งสามารถเขียนเป็นรูปสมการได้ดังนี้ (Santos, et al., 2000)

$$\frac{dS}{dt} = - \left(\frac{1}{Y_{XS}} \right) \cdot \frac{dx}{dt} - K_e \cdot E \cdot S \quad (21)$$

เมื่อ

Y_{XS}	คือ ผลได้ของเซลล์จากซูโครัส (\log_{10} cfu/mg sucrose)
E	คือ ความเข้มข้นของเอนไซม์ที่ผลิตได้ (DSU/ml)
S	คือ ความเข้มข้นของซูโครัส (mg/ml)
K_e	ค่าคงที่ของอัตราการผลิตเอนไซม์ (ml/DSU/h)

การประมาณค่าพารามิเตอร์ของแบบจำลอง

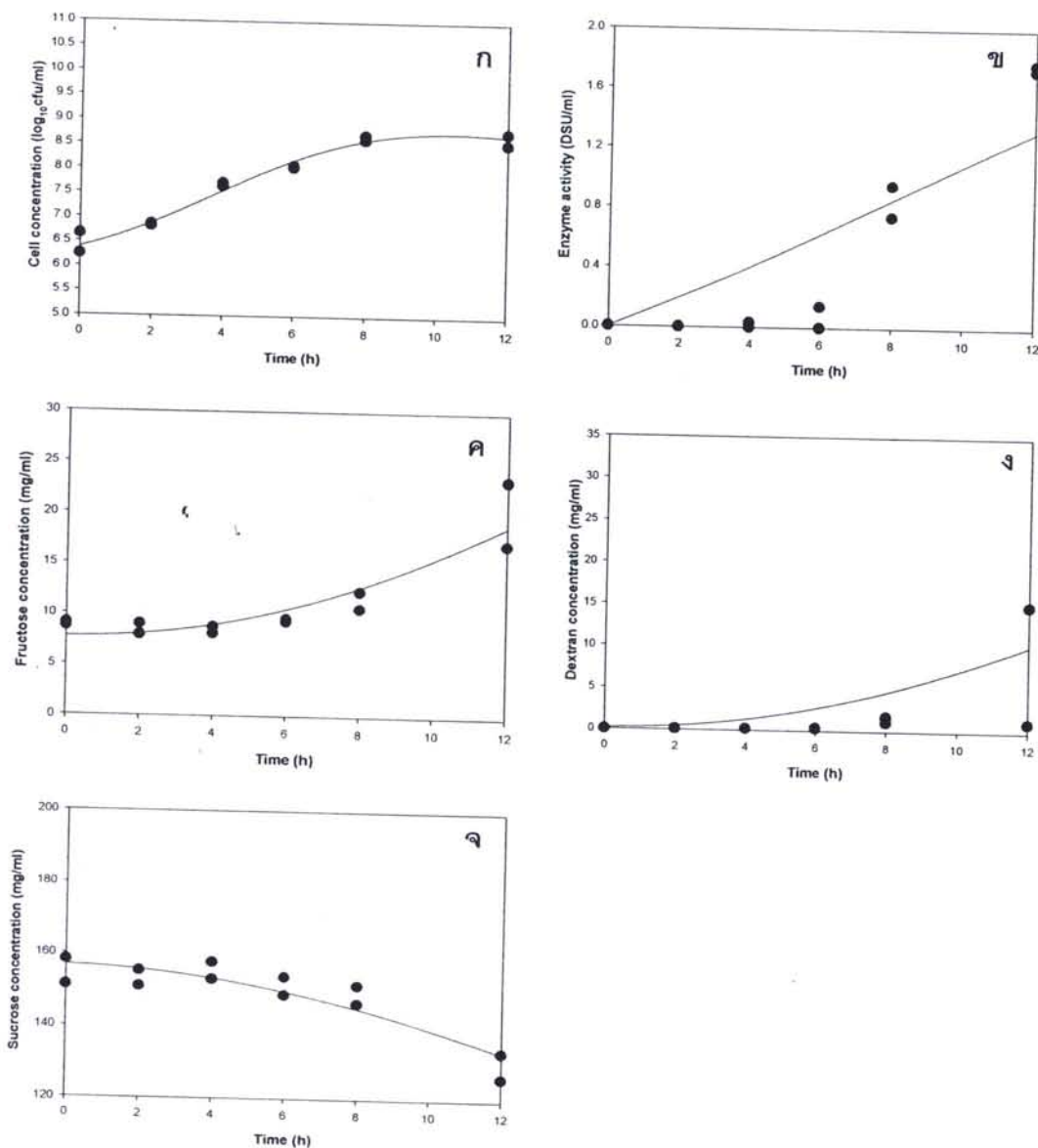
1. การประมาณค่าพารามิเตอร์ของแบบจำลองของ *Weissella cibaria*

ข้อมูลการเติบโตของจุลินทรีย์ การใช้ซูโครัส การผลิตเอนไซม์เด็กซ์แทรนซูโครัส เด็กซ์แทรนและฟรอกโตสที่ระดับอุณหภูมิ 20 30 35 และ 40 องศาเซลเซียส ถูกนำมาประมาณค่าพารามิเตอร์โดยใช้วิธีการเบรย์เบนเน่นโคงที่เหมาะสมระหว่างแบบจำลองและผลการทดลอง (Curve fitting) โดยโปรแกรม Berkeley Madonna จากการทำสมดุลมวล (ภาคผนวก ค) แสดงให้เห็นว่า ผลกระทบของมวลทั้งหมดของซูโครัส ฟรอกโตส กลูโคส และเด็กซ์แทรนที่ระยะเวลาต่างๆ มีความคลาดเคลื่อน ซึ่งอาจเกิดจากความเข้มข้นของเด็กซ์แทรนที่วัดได้มีค่ามากกว่าความเป็นจริง

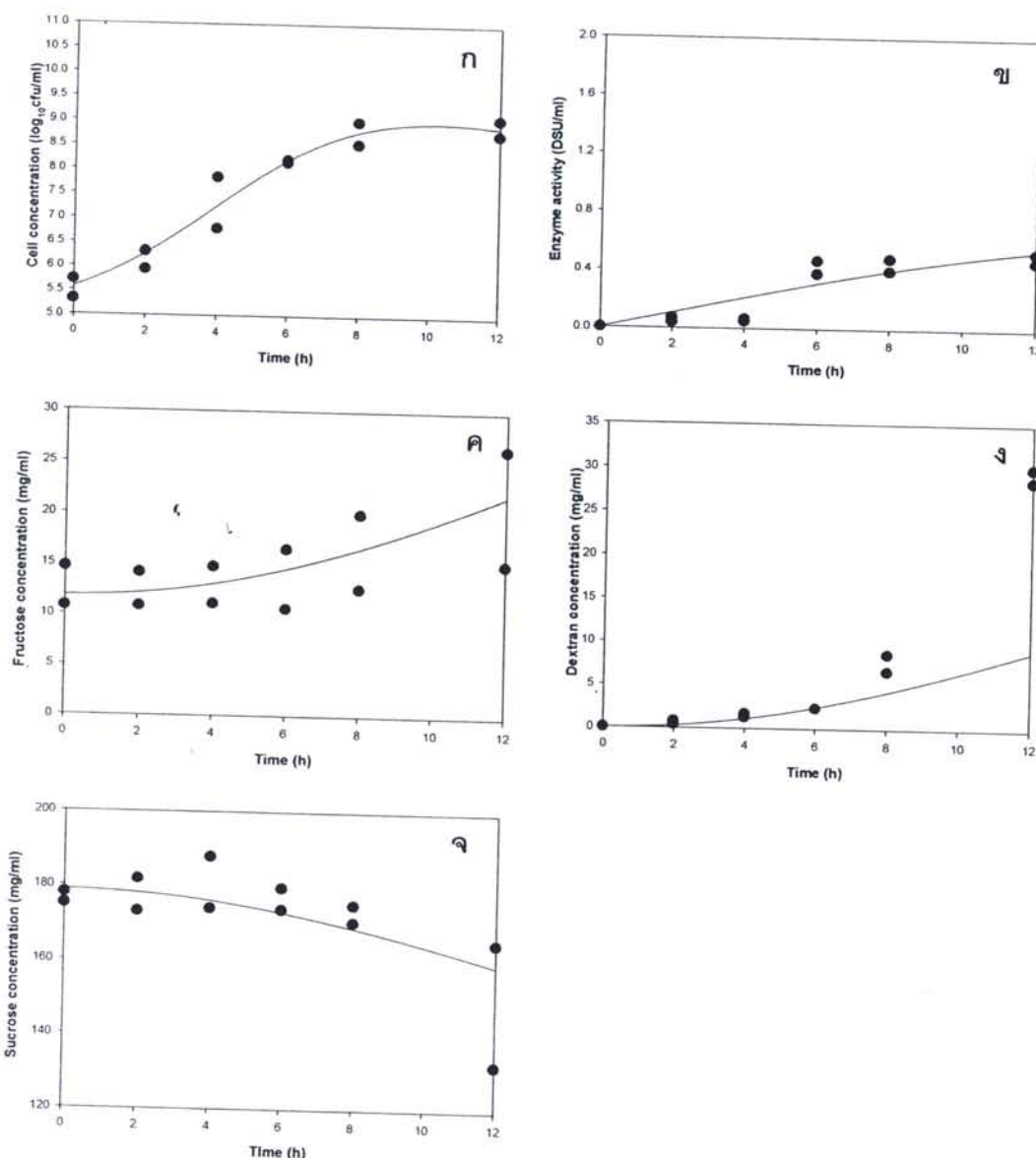
เนื่องจากวิธีการที่ใช้วิเคราะห์มีความคลาดเคลื่อนสูง โดยวิธีวิเคราะห์หาปริมาณเด็กซ์แทรนในการศึกษานี้ใช้วิธีการทดสอบเด็กซ์แทรนจากในอาหารเหลวด้วยแอลกอฮอล์ 99.9 เปอร์เซ็นต์ (Shamala and Prasad, 1995) ซึ่งเป็นเพียงการหาปริมาณเด็กซ์แทรนเบื้องต้น ดังนั้นจึงได้ทำการเลือกข้อมูลที่มีสมดุลมวลทั้งหมดที่เบี่ยงเบนไม่เกิน 5 เปอร์เซ็นต์จากเวลาเริ่มต้น และตัดข้อมูลให้มีจำนวนข้อมูลเท่ากันในทุกการทดลอง โดยในการศึกษาครั้งนี้ได้นำข้อมูลตั้งแต่ช่วงไม่ที่ 0 – 12 นาทีในการประมาณค่าพารามิเตอร์ ซึ่งได้ค่าพารามิเตอร์ที่การทดลองในแต่ละอุณหภูมิ ดังแสดงในตาราง 15 และภาพ 32, 33, 34 และ 35

ตาราง 15 ค่าพารามิเตอร์ทางจนผลศาสตร์ของการเติบโต การใช้ซูครอส การผลิตเอนไซม์เด็กซ์แทรนซูครอส การผลิตเด็กซ์แทรนและฟรุกโตส โดย *W. cibaria*

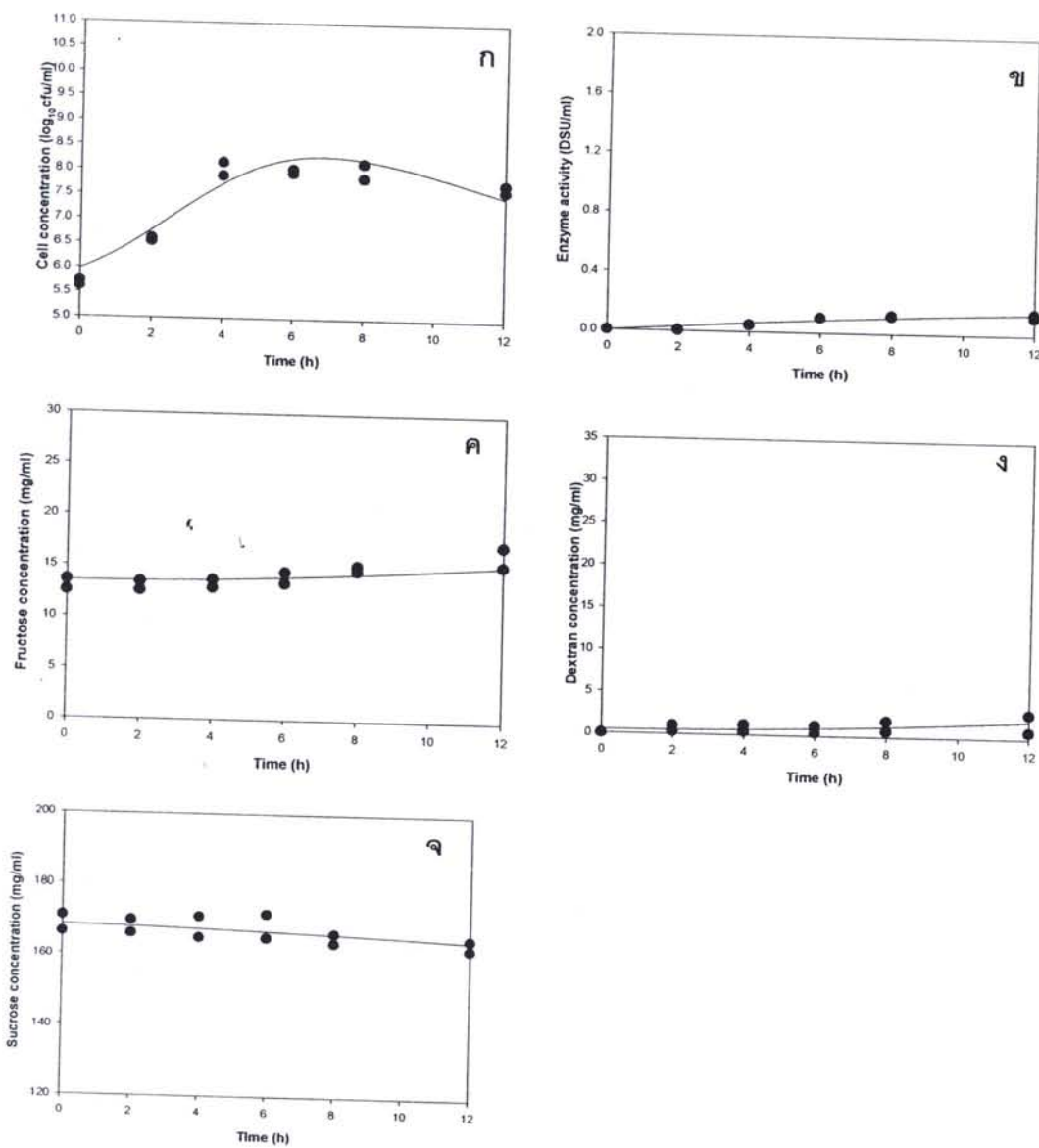
Parameter	Temperature (°C)			
	20	30	35	40
k (h^{-1})	0.35	0.40	0.52	0.66
X_{Ras} ($\log_{10}\text{cfu/ml}$)	5.52	6.55	5.62	6.48
k_d (h^{-1})	1.86×10^{-2}	2.02×10^{-2}	3.19×10^{-2}	3.48×10^{-2}
$Q_{E,max}$ (DSU/ml/h)	1.49×10^{-2}	9.65×10^{-3}	2.43×10^{-3}	1.75×10^{-3}
E_{max} (DSU/ml)	9.31	0.81	0.23	0.92
$Y_{X/S}$ ($\log_{10}\text{cfu/mg sucrose}$)	1.11	4.56	5.51	9.63
K_e (ml/DSU/h)	1.93×10^{-2}	3.16×10^{-2}	2.16×10^{-2}	1.76×10^{-2}
weighted of sum square error (WSSE)	1.15	1.51	0.71	0.83



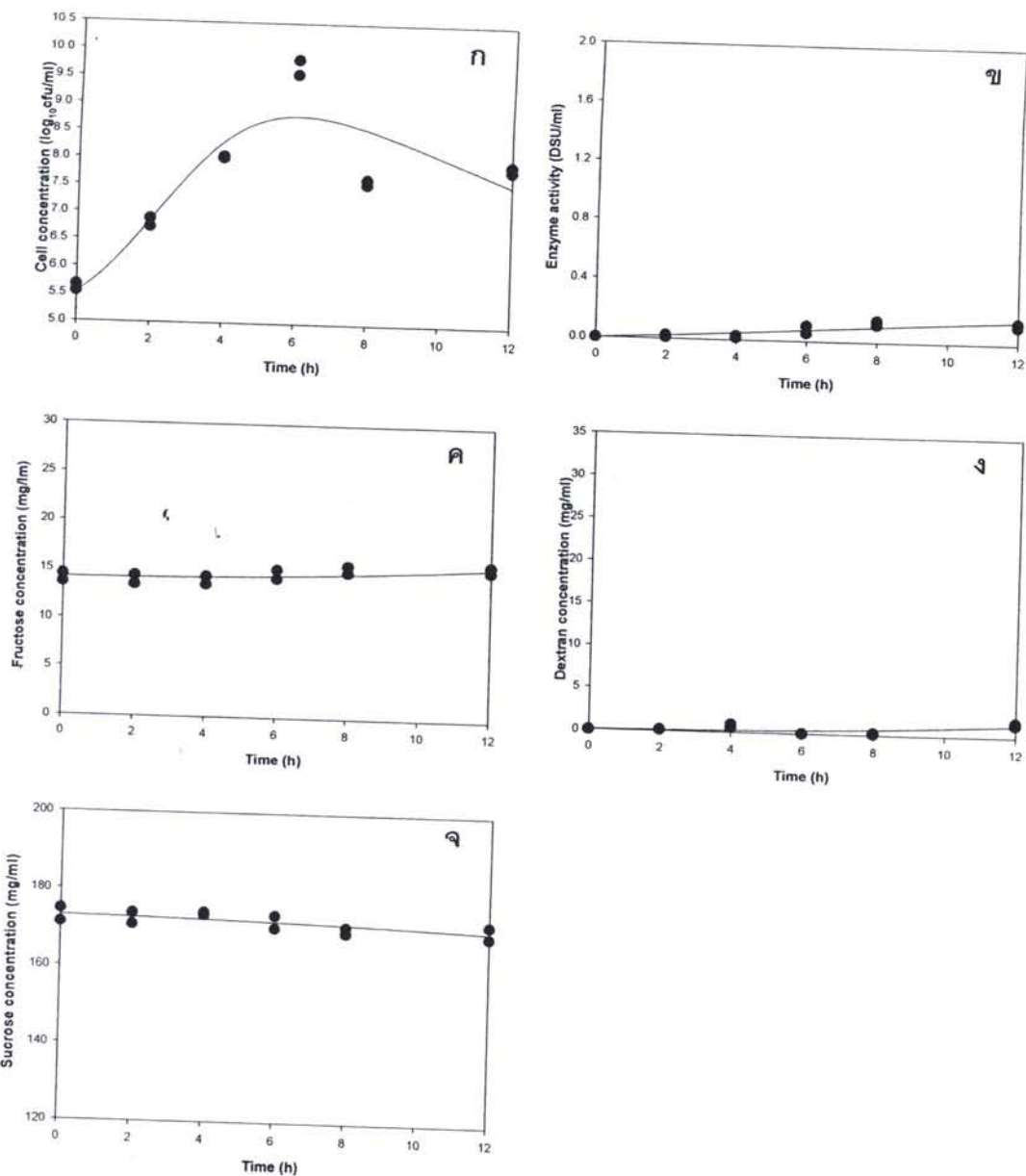
ภาพ 32 การเปรียบเทียบเส้นโค้งที่เหมาะสมของ *W. cibaria* ที่อุณหภูมิ 20 องศาเซลเซียส;
 (ก) การเติบโต; (ข) การผลิตเอนไซม์เด็กซ์แทรนซูเครส; (ค) การผลิตฟрукโตส; (ง)
 การผลิตเด็กซ์แทรน; (จ) การใช้ซูครอส



ภาพ 33 การเปรียบเทียบเส้นโค้งที่เหมาะสมของ *W. cibaria* ที่อุณหภูมิ 30 องศาเซลเซียส;
 (ก) การเติบโต; (ข) การผลิตเอนไซม์เด็กซ์แทรนซูเครส; (ค) การผลิตฟรูกโตส;
 (จ) การผลิตเด็กซ์แทรน; (ก) การใช้ซูครอส



ภาพ 34 การเปรียบเทียบเส้นโค้งที่เหมาะสมของ *W. cibaria* ที่อุณหภูมิ 35 องศาเซลเซียส;
 (ก) การเติบโต; (ข) การผลิตเอนไซม์เด็กซ์แทรนซูเครส; (ค) การผลิตฟรุกโตส;
 (ง) การผลิตเด็กซ์แทรน; (จ) การใช้ซูโคโรส



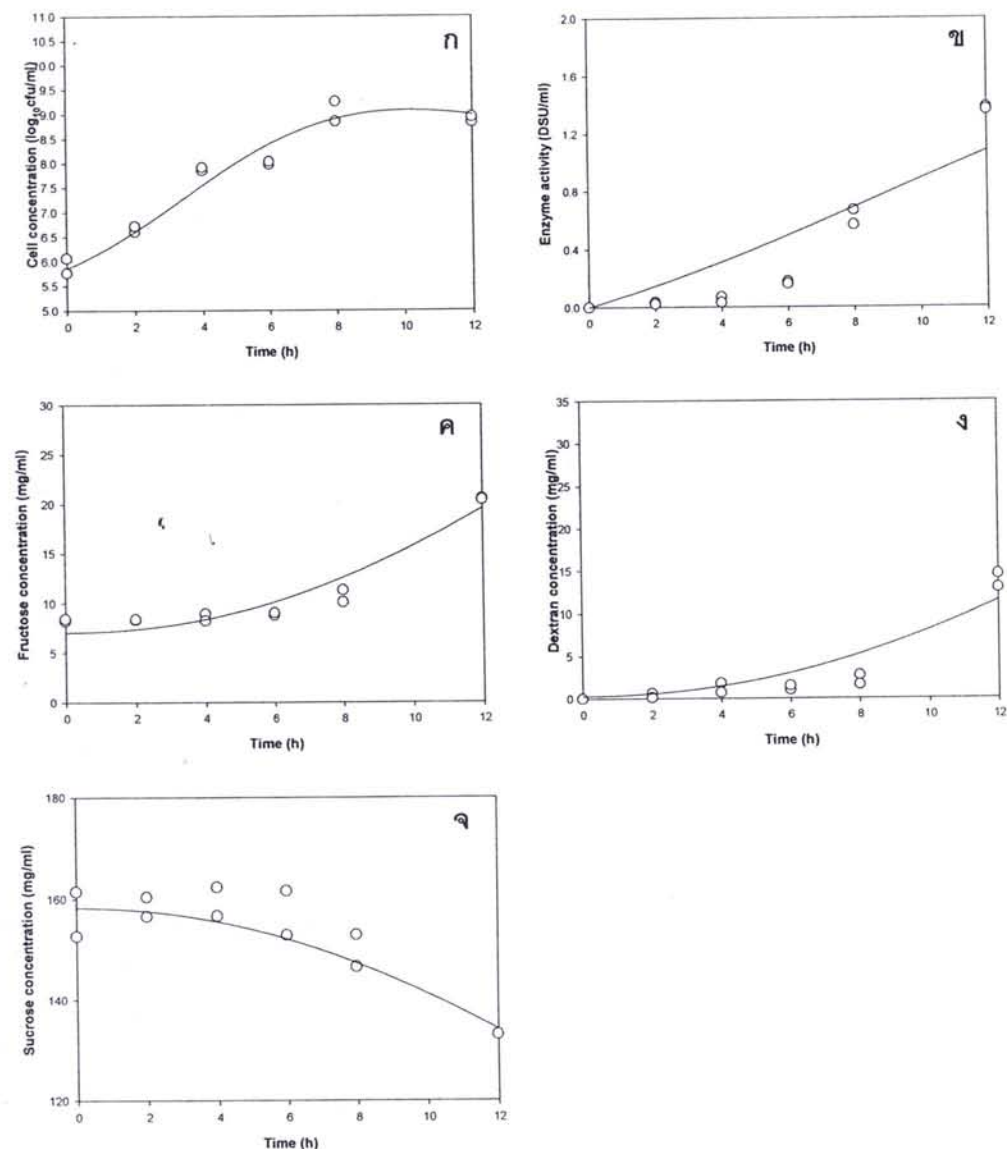
ภาพ 35 การเปรียบเทียบเส้นโค้งที่เหมาะสมของ *W. cibaria* ที่อุณหภูมิ 40 องศาเซลเซียส;
 (ก) การเติบโต; (ข) การผลิตเอนไซม์เด็กซ์แทرنซูครอส; (ค) การผลิตฟรุกโตส;
 (ง) การผลิตเด็กซ์แทرن; (จ) การใช้ซูครอส

2 การประมาณค่าพารามิเตอร์ของแบบจำลองของ *L. mesenteroides* TISTR 473

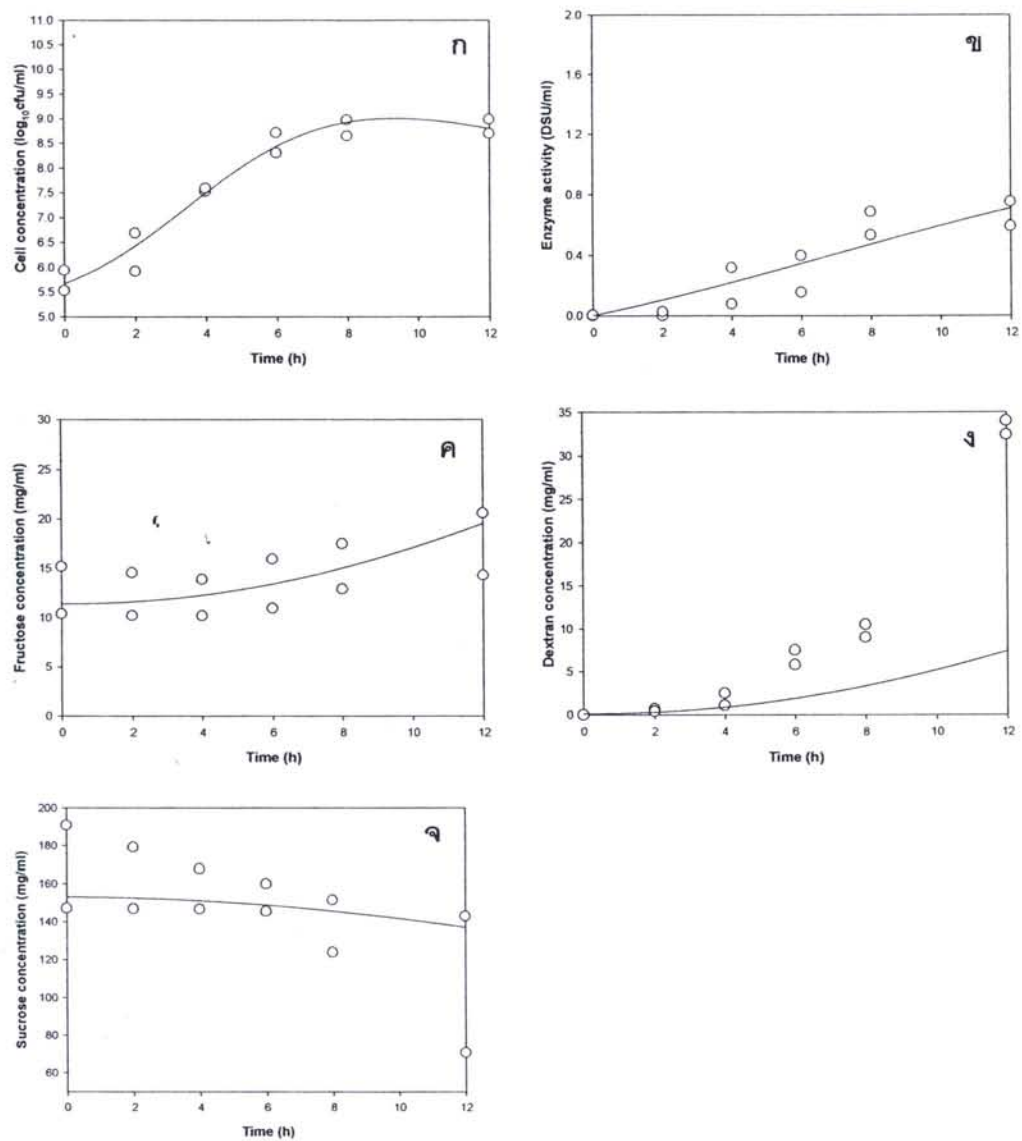
การประมาณค่าพารามิเตอร์ของแบบจำลองที่ระดับของอุณหภูมิ 20 30 35 และ 40 ของสาเซลเลียส ของ *L. mesenteroides* TISTR473 โดยใช้วิธีการเบรียบเที่ยบเส้นโค้งที่เหมาะสม (curve fitting) ระหว่างแบบจำลองและผลการทดลองจริงโดยโปรแกรม Berkeley Madonna โดยทำการคัดเลือกข้อมูลที่มีสมดุลมวลทั้งหมดเป็นแบบไม่เกิน 5 เปอร์เซ็นต์ และตัดจำนวนข้อมูลให้เท่ากันในทุกการทดลอง โดยในการศึกษาครั้งนี้จึงนำข้อมูลตั้งแต่ช่วงอายุ 0 – 12 มาใช้ในการประมาณค่าพารามิเตอร์ และค่าพารามิเตอร์ที่ได้แสดงในตาราง 16 และภาพ 36, 37, 38 และ 39

ตาราง 16 ค่าพารามิเตอร์ทางจนพลศาสตร์ของการเติบโต การใช้ซูโครส การผลิต เอ็นไซม์เด็กซ์แทรนซูเครส การผลิตเด็กซ์แทรนและฟรอกโตส โดย *Leuconostoc mesenteroides* TISTR473

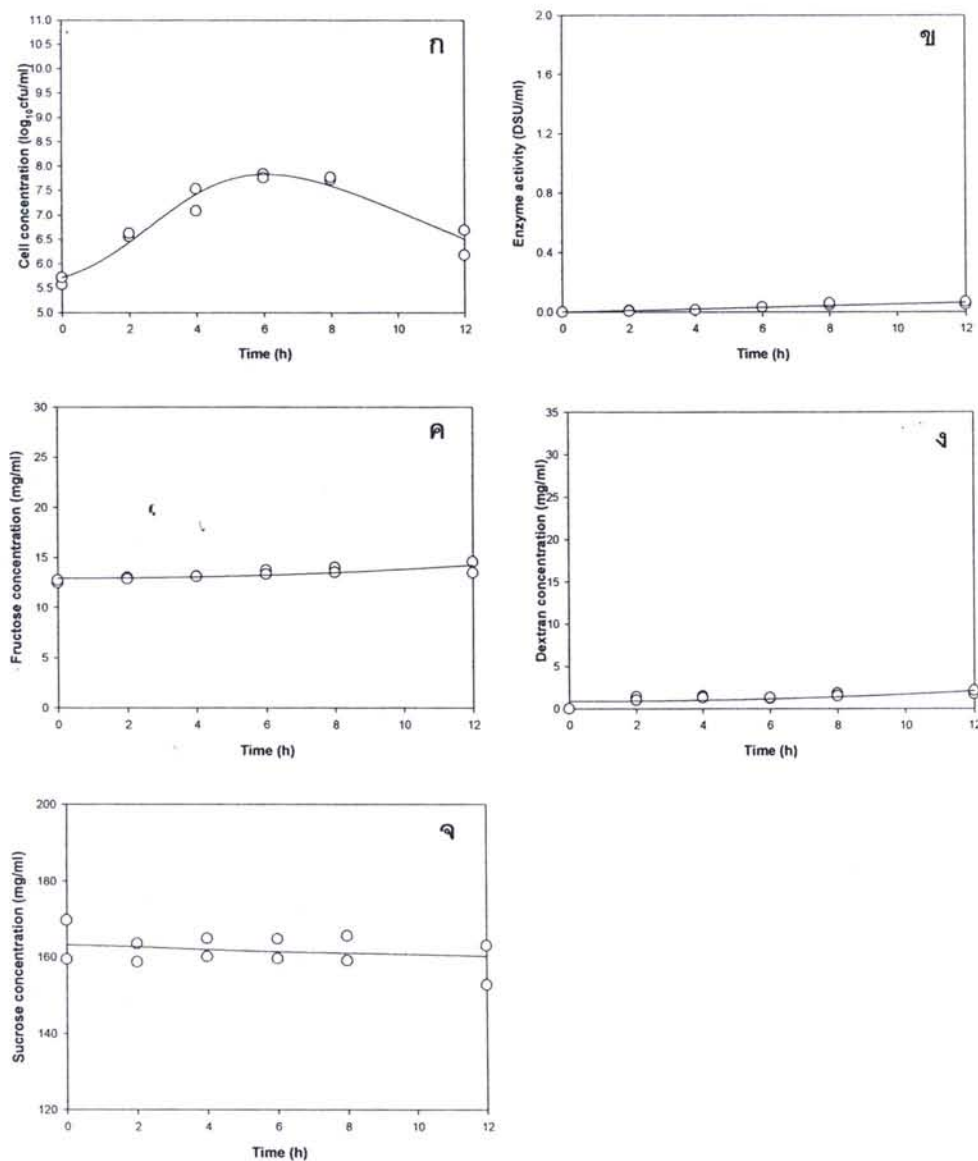
Parameter	Temperature ($^{\circ}\text{C}$)			
	20	30	35	40
$k (\text{h}^{-1})$	0.37	0.43	0.59	0.87
$X_{Ras} (\log_{10}\text{cfu/ml})$	6.91	6.68	5.68	5.79
$k_d (\text{h}^{-1})$	2.14×10^{-2}	2.37×10^{-2}	4.61×10^{-2}	9.47×10^{-2}
$Q_{E,max} (\text{DSU/ml/h})$	1.19×10^{-2}	8.99×10^{-3}	7.36×10^{-4}	3.55×10^{-10}
$E_{max} (\text{DSU/ml})$	9.89	2.19	4.60	3.08×10^{-8}
$Y_{X/S} (\log_{10}\text{cfu/mg sucrose})$	7.48	6.39	1.81	2.57
$K_e (\text{ml/DSU/h})$	2.66×10^{-2}	2.55×10^{-2}	4.60×10^{-2}	1.31×10^{-2}
weighted of sum square error (WSSE)	0.55	1.95	0.73	7.37



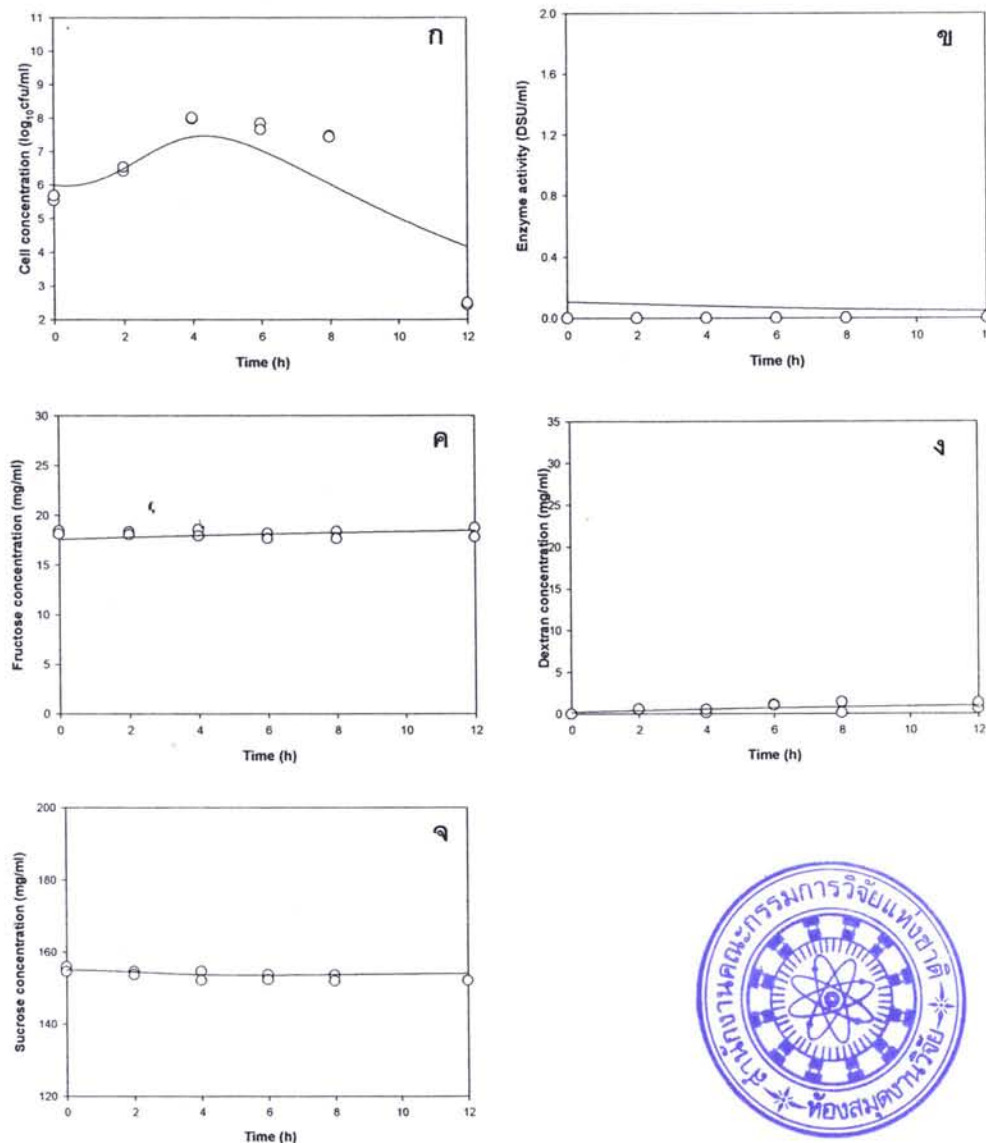
ภาพ 36 การเปรียบเทียบสีน้ำองค์ที่เหมาะสมของ *L. mesenteroides* TISTR473 ที่อุณหภูมิ 20 องศาเซลเซียส; (ก) การเติบโต; (ข) การผลิตเอนไซม์เด็กซ์แทรนซ์แครส, (ค) การผลิตฟรุกตอส; (ง) การผลิตเด็กซ์แทรน; (จ) การใช้ซูโครส



ภาพ 37 การเปรียบเทียบเส้นโค้งที่เหมาะสมของ *L. mesenteroides* TISTR473 ที่อุณหภูมิ 30 องศาเซลเซียส; (ก) การเติบโต; (ข) การผลิตเอนไซม์เด็กซ์แทรนซ์เครส; (ค) การผลิตฟรุกตอส; (ง) การผลิตเด็กซ์แทรน; (จ) การใช้ซูครอส



ภาพ 38 การเปรียบเทียบเส้นโค้งที่เหมาะสมของ *L. mesenteroides* TISTR473 ที่อุณหภูมิ 35 องศาเซลเซียส; (ก) การเติบโต; (ข) การผลิตเอนไซม์เด็กซ์แทรนซูแครส; (ค) การผลิตฟรุกตอส; (น) การผลิตเด็กซ์แทรน; (จ) การใช้ซูโครส



ภาพ 39 การเปรียบเทียบเส้นโค้งที่เหมาะสมของ *L. mesenteroides* TISTR473 ที่อุณหภูมิ 40 องศาเซลเซียส; (ก) การเติบโต; (ข) การผลิตเอนไซม์เด็กซ์แทรนซูเครส; (ค) การผลิตฟรอกโตส; (ง) การผลิตเด็กซ์แทรน; (จ) การใช้ซูครอส



การหาความสัมพันธ์ระหว่างค่าพารามิเตอร์ของแบบจำลองกับอุณหภูมิ

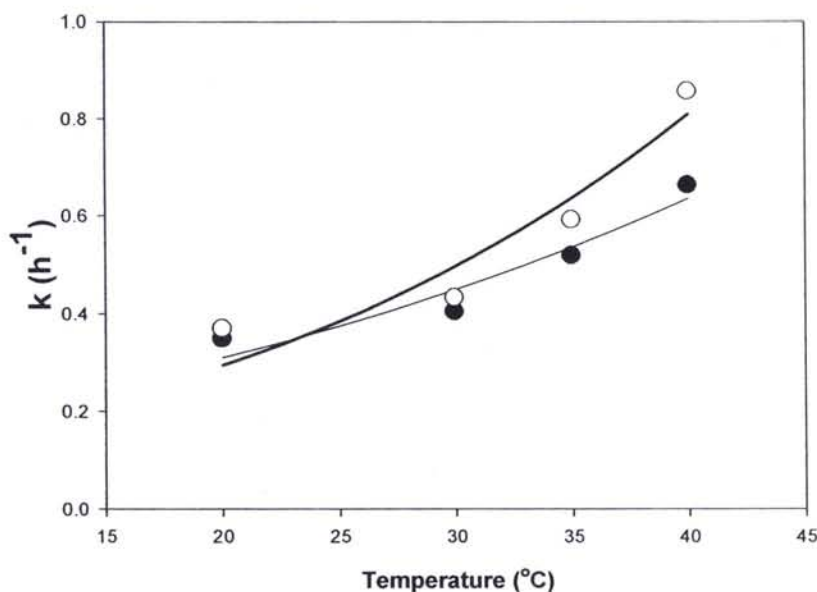
1. การหาความสัมพันธ์ระหว่างค่าอัตราการเติบโตจำเพาะสูงสุด (k) กับอุณหภูมิ

จากการเปรียบเทียบเส้นโค้งที่เหมาะสมได้ค่าพารามิเตอร์ที่เป็นค่าอัตราการเติบโตจำเพาะสูงสุด (k) ที่อุณหภูมิต่าง ๆ ดังแสดงในภาพ 40 จะเห็นได้ว่าค่า k เปลี่ยนแปลงตามอุณหภูมิซึ่งสามารถหาความสัมพันธ์ระหว่างค่า k กับอุณหภูมิ โดยสมการของอาร์เรนเนียม (Arrhenius equation) ดังนี้

$$k = k_0 \cdot e^{-E_a/RT_K} \quad (22)$$

เมื่อ

k	คือ อัตราการเติบโตจำเพาะสูงสุด (h^{-1})
k_0	คือ Pre-exponential factor (h^{-1})
E_a	คือ Activation energy ของปฏิกิริยา (kJ/mol)
R	ค่าคงที่ของแก๊ส (8.314 J/K.mol)
T_K	คือ อุณหภูมิ (K)



ภาพ 40 ความสัมพันธ์ระหว่างอัตราการเติบโตจำเพาะสูงสุด (k) กับอุณหภูมิของ *W. cibaria* (●) และ *L. mesenteroides* TISTR 473 (○)

จากภาพ 40 แสดงให้เห็นว่า *L. mesenteroides* TISTR473 มีอัตราการเติบโตจำเพาะสูงสุด (k) สูงกว่าของ *W. cibaria* เมื่อทำการเปรียบเทียบเส้นโค้งที่เหมาะสมของค่า k และสมการของcurve เนี่ยส์ในโปรแกรม Berkeley Madonna จะได้ค่าคงที่ของสมการ ดังนี้

1. ค่าคงที่ของสมการสำหรับ *W. cibaria*

$$k_0 = 2.34 \times 10^4 \text{ h}^{-1}$$

$$E_a = 2.74 \times 10^4 \text{ kJ/mol}$$

ดังนั้นสมการความสัมพันธ์ระหว่างอุณหภูมิและค่า k ของ *W. cibaria* สามารถเขียนได้ดังนี้

$$k = 2.34 \times 10^4 \cdot e^{-2.74 \times 10^4 / 8.314 \cdot (T_K)} \quad (23)$$

2. ส่วนค่าคงที่สำหรับ *L. mesenteroides* TISTR473 มีค่าเท่ากับ

$$k_0 = 2.22 \times 10^6 \text{ h}^{-1}$$

$$E_a = 3.86 \times 10^4 \text{ kJ/mol}$$

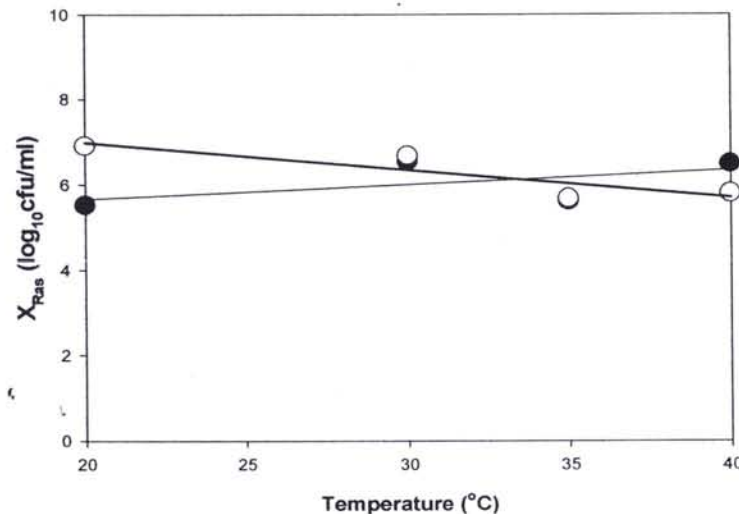
และสมการความสัมพันธ์ระหว่างอุณหภูมิและค่า k ที่ได้ของ *L. mesenteroides* TISTR 473 สามารถเขียนได้ดังนี้

$$k = 2.22 \times 10^6 \cdot e^{-3.86 \times 10^4 / 8.314 \cdot (T_K)} \quad (24)$$

2. การหาความสัมพันธ์ระหว่างค่าความเข้มข้นสูงสุดของเซลล์ที่ทนต่อความร้อน (X_{Ras}) กับอุณหภูมิ

จากการเปรียบเทียบเส้นโค้งที่เหมาะสมทำให้ได้ค่าพารามิเตอร์สำหรับค่าความเข้มข้นสูงสุดของเซลล์ที่ทนต่อความร้อน (X_{Ras}) ที่อุณหภูมิต่างๆ (ภาพ 41) พบว่าค่า X_{Ras} ไม่มีการเปลี่ยนแปลงตามอุณหภูมิ ซึ่งแสดงให้เห็นว่า X_{Ras} ไม่ขึ้นอยู่กับอุณหภูมิ ดังนั้นจึงสามารถพิจารณาค่า X_{Ras} เป็นค่าคงที่ได้โดยหาได้จากค่าเฉลี่ยของ X_{Ras} ที่อุณหภูมิต่างๆ สำหรับ

W. cibaria มีค่า X_{Ras} เท่ากับ $6.25 \log_{10} \text{cfu/ml}$ และ *L. mesenteroides* TISTR473 มีค่า X_{Ras} เท่ากับ $6.26 \log_{10} \text{cfu/ml}$



ภาพ 41 ความสัมพันธ์ระหว่างความเข้มข้นสูงสุดของเซลล์ที่ทนต่อความร้อน (R_{as}) กับอุณหภูมิของ *W. cibaria* (●) และ *L. mesenteroides* TISTR 473 (○)

3. การหาความสัมพันธ์ระหว่างค่าคงที่ของอัตราการตาย (k_d) กับอุณหภูมิจากการเปรียบเทียบเส้นตรงที่เหมาะสมได้ค่าพารามิเตอร์ที่เป็นค่าคงที่ของอัตราการตาย (k_d) ที่อุณหภูมิต่างๆ ดังแสดงในภาพ 42 จะเห็นได้ว่าค่า k_d เปลี่ยนแปลงตามอุณหภูมิซึ่งสามารถหาความสัมพันธ์ระหว่างค่า k_d กับอุณหภูมิได้โดยใช้สมการเออนพิริคัล (Empirical equation) ดังนี้

$$k_d = k_{d0} \cdot e^{c_k \cdot T_C} \quad (25)$$

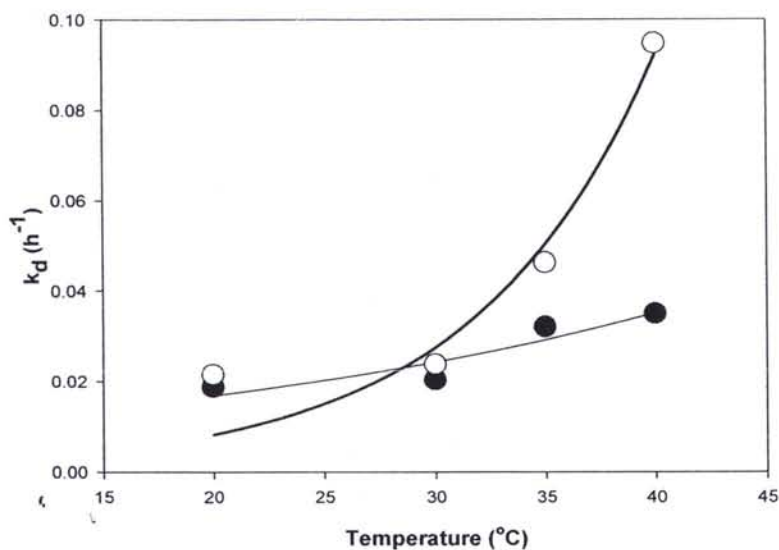
เมื่อ

k_d คือ ค่าคงที่ของอัตราการตายที่ขึ้นอยู่กับอุณหภูมิ (h^{-1})

k_{d0} คือ ค่าคงที่ของอัตราการตายเริ่มต้น (h^{-1})

c_k คือ ค่าคงที่ของสมการ

T_C คือ อุณหภูมิ ($^{\circ}\text{C}$)



ภาพ 42 ความสัมพันธ์ระหว่างค่าคงที่ของอัตราการตาย (k_d) กับอุณหภูมิของ *W. cibaria* (●) และ *L. mesenteroides* TISTR 473 (○)

จากภาพ 42 แสดงให้เห็นว่า *L. mesenteroides* TISTR473 มีค่าคงที่ของอัตราการตาย (k_d) สูงกว่าของ *W. cibaria* สามารถสรุปได้ว่า *L. mesenteroides* TISTR473 มีความไวต่ออุณหภูมิมากกว่า *W. cibaria* ซึ่งแสดงว่า *L. mesenteroides* TISTR473 สามารถทนต่ออุณหภูมิได้น้อยกว่า *W. cibaria* นั้นเอง เมื่อทำการเปรียบเทียบเห็นได้ที่เหมาะสมของค่า k_d และสมการเอนพิคัลในโปรแกรม Berkeley Madonna ได้ค่าคงที่ของสมการดังนี้

1. ค่าคงที่ของสมการสำหรับ *W. cibaria*

$$c_k = 0.037$$

$$k_{d0} = 8.062 \times 10^{-3} \text{ h}^{-1}$$

ดังนั้นสมการความสัมพันธ์ระหว่างอุณหภูมิและค่า k_d ที่ได้ของ *W. cibaria* สามารถเขียนได้ดังนี้

$$k_d = 8.062 \times 10^{-3} \cdot e^{(0.037 \cdot T_c)} \quad (26)$$

2. ค่าคงที่ของสมการของ *L. mesenteroides* TISTR473

$$c_k = 0.121$$

$$k_{d0} = 7.343 \times 10^{-4} \text{ h}^{-1}$$

และสมการความสัมพันธ์ระหว่างอุณหภูมิและค่า k_d ที่ได้ ของ *L. mesenteroides* TISTR473 สามารถเขียนได้ดังนี้

$$k_d = 7.343 \times 10^{-4} \cdot e^{(0.121 \cdot T_c)} \quad (27)$$

4. การหาความสัมพันธ์ระหว่างความเข้มข้นของเอนไซม์ที่ผลิตได้สูงสุด (E_{max}) กับอุณหภูมิ

จากการเปรียบเทียบเส้นโค้งที่เหมาะสมทำให้ได้ค่าพารามิเตอร์เป็นค่าความเข้มข้นของเอนไซม์ที่ผลิตได้สูงสุด (E_{max}) ที่อุณหภูมิต่างๆ (ภาพ 43) โดยค่า E_{max} เปลี่ยนแปลงตามอุณหภูมิ ซึ่งสามารถหาความสัมพันธ์ระหว่างค่า E_{max} กับอุณหภูมิโดยสมการเอนพิริคอล (Empirical equation) ดังนี้

$$E_{max} = E_{max0} \cdot e^{-c_e \cdot T_c} \quad (28)$$

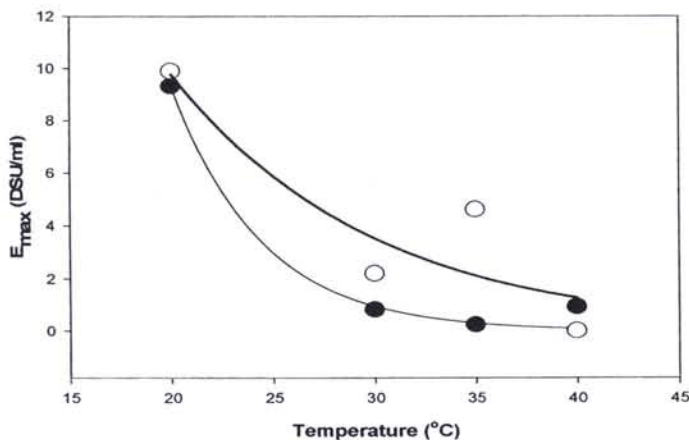
เมื่อ

E_{max} คือ ค่าความเข้มข้นของเอนไซม์ที่ผลิตได้สูงสุด (DSU/ml)

E_{max0} คือ ค่าความเข้มข้นของเอนไซม์ที่ผลิตได้สูงสุดเริ่มต้น (DSU/ml)

c_e คือ ค่าคงที่

T_c คือ อุณหภูมิที่เวลาเดียว (°C)



ภาพ 43 ความสัมพันธ์ระหว่างความเข้มข้นของเอนไซม์ที่ผลิตได้สูงสุด (E_{max}) กับอุณหภูมิของ *W. cibaria* (●) และ *L. mesenteroides* TISTR 473 (○)

เมื่อทำการเปรียบเทียบเส้นโค้งที่เหมาะสมของค่า E_{max} และสมการเรอมพิริคัลในโปรแกรม Berkeley Madonna จะได้ค่าคงที่ของสมการ ดังนี้

1. ค่าคงที่ของสมการสำหรับ *W. cibaria*

$$E_{max0} = 908.33 \text{ DSU/ml}$$

$$c_e = 0.229$$

ดังนั้นสมการความสัมพันธ์ระหว่างอุณหภูมิและค่า E_{max} ที่ได้ ของ *W. cibaria* สามารถเขียนได้ดังนี้

$$E_{max} = 908.33 \cdot e^{(-0.229 \cdot T_c)} \quad (29)$$

2. ค่าคงที่ของสมการของ *L. mesenteroides* TISTR473

$$E_{max0} = 75.68 \text{ DSU/ml}$$

$$c_e = 0.102$$

และสมการความสัมพันธ์ระหว่างอุณหภูมิกับค่า E_{max} ที่ได้ ของ *L. mesenteroides* TISTR473 สามารถเขียนได้ดังนี้

$$E_{max} = 75.68 \cdot e^{(-0.102 \cdot T_C)} \quad (30)$$

5. การหาความสัมพันธ์ระหว่างค่าคงที่ของอัตราการผลิตเอนไซม์ (K_e) กับ อุณหภูมิ

จากการเปรียบเทียบเด่นคงที่เหมาะสมทำให้ได้ค่าพารามิเตอร์เป็นค่าคงที่ของอัตรา การผลิตเอนไซม์ (K_e) ที่อุณหภูมิต่างๆ (ภาพ 44) พบร่วมค่า K_e เปลี่ยนแปลงตามอุณหภูมิซึ่ง สามารถหาความสัมพันธ์ระหว่างค่า K_e กับอุณหภูมิโดยสมการ Square root equation ดังนี้

$$K_e = \left(b \cdot (T_C - T_{min}) \cdot (1 - e^{(c \cdot (T_C - T_{max}))}) \right)^2 \quad (31)$$

เมื่อ

K_e คือ ค่าคงที่ของอัตราการผลิตเอนไซม์ (ml/DSU/h)

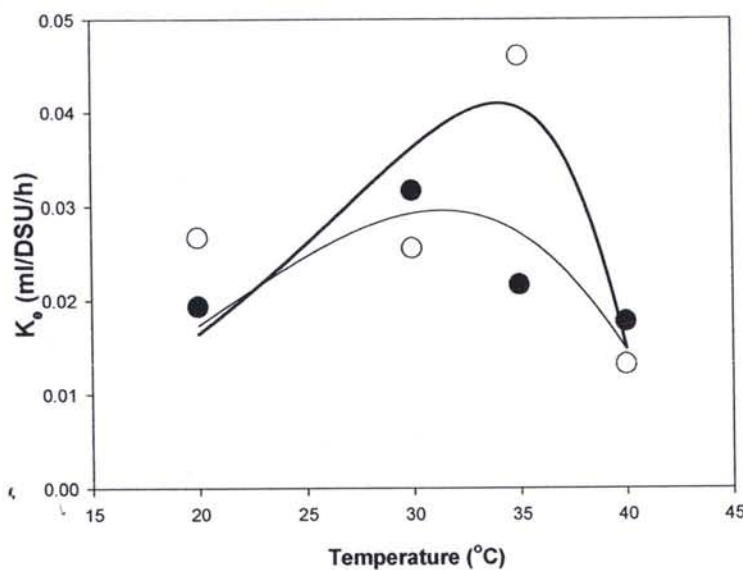
b คือ ค่าคงที่ของสมการ ($(h^{-1})^{-1/2} / ^\circ C^{-1}$)

c คือ ค่าคงที่ของสมการ ($^\circ C$)

T_C คือ อุณหภูมิ ($^\circ C$)

T_{min} คือ อุณหภูมิต่ำสุดทางทฤษฎี ($^\circ C$)

T_{max} คือ อุณหภูมิสูงสุดทางทฤษฎี ($^\circ C$)



ภาพ 44 ความสัมพันธ์ระหว่างค่าคงที่ของอัตราการผลิตเอนไซม์ (K_e) กับอุณหภูมิของ *W. cibaria* (●) และ *L. mesenteroides* TISTR 473 (○)

เมื่อทำการเปรียบเทียบเส้นโค้งที่เหมาะสมของค่า K_e และสมการ Square root equation ในโปรแกรม Berkeley Madonna จะได้ค่าคงที่ของสมการ ดังนี้

1. ค่าคงที่ของสมการสำหรับ *W. cibaria*

$$b = 0.0075 \text{ } (\text{h}^{-1})^{1/2} / ^\circ\text{C}^{-1}$$

$$c = 0.10 \text{ } ^\circ\text{C}$$

$$T_{min} = 1.00 \text{ } ^\circ\text{C}$$

$$T_{max} = 45.32 \text{ } ^\circ\text{C}$$

ดังนั้นสมการความสัมพันธ์ระหว่างอุณหภูมิและค่า ke ที่ได้ของ *W. cibaria* สามารถเขียนได้ดังนี้

$$K_e = \left(0.0075 \cdot (T_c - 1.00) \cdot \left(1 - e^{(0.10 \cdot (T_c - 45.32))} \right) \right)^2 \quad (32)$$

2. ค่าคงที่ของสมการของ *L. mesenteroides* TISTR473

$$b = 0.0068 \text{ } (\text{h}^{-1})^{1/2} / ^\circ\text{C}^{-1}$$

$$c = 0.292 \text{ } ^\circ\text{C}$$

$$T_{min} = 1.00 \text{ } ^\circ\text{C}$$

$$T_{max} = 42.13 \text{ } ^\circ\text{C}$$

และสมการความสัมพันธ์ระหว่างอุณหภูมิและค่า ke ที่ได้ ของ *L. mesenteroides* TISTR473 สามารถเขียนได้ดังนี้

$$K_e = \left(0.0068 \cdot (T_c - 1.00) \cdot (1 - e^{(0.292 \cdot (T_c - 42.13))}) \right)^2 \quad (33)$$

6. การหาความสัมพันธ์ระหว่างผลได้ของเซลล์จากซูโครัส ($Y_{X/S}$) กับอุณหภูมิ

จากการเปรียบเทียบเส้นคงที่เหมาะสมทำให้ได้ค่าพารามิเตอร์เป็นค่าผลได้ของเซลล์จากซูโครัส ($Y_{X/S}$) ที่อุณหภูมิต่างๆ (ภาพ 45) พบว่าค่า $Y_{X/S}$ เปลี่ยนแปลงตามอุณหภูมิซึ่งสามารถหาความสัมพันธ์ระหว่างค่า $Y_{X/S}$ กับอุณหภูมิโดยสมการ เชิงเส้น (Linear equation) ดังนี้

$$Y_{X/S} = a \cdot T_c + y_0 \quad (34)$$

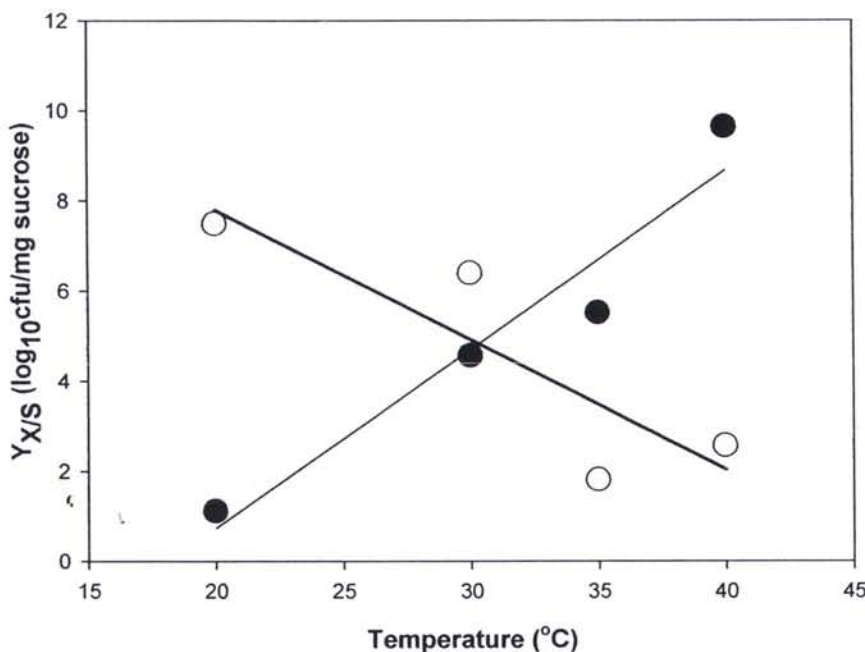
เมื่อ

$Y_{X/S}$ คือ ค่าผลได้ของเซลล์จากซูโครัส ($\log_{10} \text{cfu/mg sucrose}$)

a คือ ค่าความชัน

y_0 คือ จุดตัดแกน y

T_c คือ อุณหภูมิ ($^\circ\text{C}$)



ภาพ 45 ความสัมพันธ์ระหว่างค่าผลได้ของเซลล์จากซูครอส ($Y_{X/S}$) กับอุณหภูมิของ *W. cibaria* (●) และ *L. mesenteroides* TISTR 473 (○)

จากภาพ 45 จะเห็นได้ว่าค่าผลได้ของเซลล์จากซูครอสของ *W. cibaria* มีค่าเพิ่มขึ้น เมื่ออุณหภูมิสูงขึ้น ในขณะที่ค่าผลได้ของเซลล์จากซูครอสของ *L. mesenteroides* TISTR 473 มีค่าลดลงเมื่ออุณหภูมิสูงขึ้น ที่เป็นเช่นนี้อาจเนื่องมาจากการที่ว่าไปค่า $Y_{X/S}$ เป็นค่าผลได้ของเซลล์ที่เป็นหนันกากเซลล์แห้ง ซึ่งมีหน่วยเป็นกรัมเซลล์ต่อกรัมซูครอส แต่ในการศึกษาครั้งนี้ไม่สามารถทำการชั่งน้ำหนักของเซลล์แห้งได้ เนื่องจากจุลินทรีย์ทั้งสองสายพันธุ์ที่นำมาทำการศึกษา (*W. cibaria* และ *L. mesenteroides* TISTR473) เป็นจุลินทรีย์ที่มีความสามารถในสร้างเด็กซ์แทรนทำให้อาหารมีลักษณะเหนียวแน่นดึงไม่สามารถทำการปั่นเหวี่ยงเพื่อแยกເຂาตัวเซลล์ออกจากเด็กซ์แทรนได้ ดังนั้นในการวัดปริมาณจุลินทรีย์จึงนับเซลล์จุลินทรีย์ที่มีชีวิตซึ่งมีหน่วยเป็น cfu/ml ซึ่งอาจส่งผลให้ค่า $Y_{X/S}$ ที่ได้มีความแปรปรวนได้ เมื่อทำการพล็อตกราฟหาค่าความชันระหว่างค่า $Y_{X/S}$ กับอุณหภูมิจะได้ค่าความชัน (a) และจุดตัดแกน y ดังนี้

1. สำหรับ *W. cibaria*

$$\alpha = 3.96 \times 10^{-1}$$

$$y_0 = -7.183$$

ดังนั้นสมการความสัมพันธ์ระหว่างอุณหภูมิและค่า $Y_{X/S}$ ที่ได้ ของ *W. cibaria* สามารถเขียนได้ดังนี้

$$Y_{X/S} = 3.96 \times 10^{-1} \cdot T_c - 7.183 \quad (35)$$

2. สำหรับ *L. mesenteroides* TISTR473

$$\alpha = -2.878 \times 10^{-1}$$

$$y_0 = 13.55$$

และสมการความสัมพันธ์ระหว่างอุณหภูมิและค่า $Y_{X/S}$ ที่ได้ ของ *L. mesenteroides* TISTR473 สามารถเขียนได้ดังนี้

$$Y_{X/S} = -2.878 \times 10^{-1} \cdot T_c + 13.55 \quad (36)$$

7. การหาความสัมพันธ์ระหว่างอัตราการผลิตเอนไซม์จำเพาะสูงสุด (QE_{max}) กับอุณหภูมิ

จากการเปรียบเทียบเส้นตรงที่เหมาะสมทำให้ได้ค่าพารามิเตอร์เป็นอัตราการผลิตเอนไซม์จำเพาะสูงสุด (QE_{max}) ที่อุณหภูมิต่างๆ (ภาพ 46) พบว่าค่า QE_{max} เปลี่ยนแปลงตามอุณหภูมิซึ่งสามารถหาความสัมพันธ์ระหว่างค่า QE_{max} กับอุณหภูมิโดยสมการเออมพิริคอล (Empirical equation) ดังนี้

$$QE_{max} = QE_{max0} \cdot e^{-c_Q \cdot T_c} \quad (37)$$

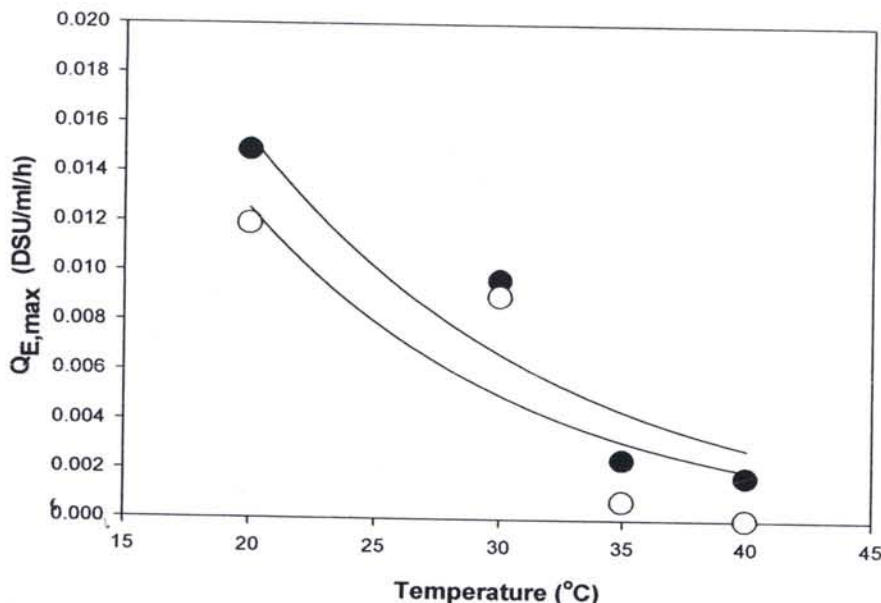
เมื่อ

QE_{max} คือ อัตราการผลิตเอนไซม์จำเพาะสูงสุด (DSU/ml/h)

QE_{max0} คือ อัตราการผลิตเอนไซม์จำเพาะสูงสุดเริ่มต้น (DSU/ml/h)

c_Q คือ ค่าคงที่

T_c คือ อุณหภูมิที่เวลาใดๆ (°C)



ภาพ 46 แสดงความสัมพันธ์ระหว่างอัตราการผลิตเอ็นไซม์จำเพาะสูงสุด ($Q_{E,max}$) กับอุณหภูมิของ *W. cibaria* (●) และ *L. mesenteroides* TISTR 473 (○)

เมื่อทำการเปรียบเทียบเส้นโค้งที่เหมาะสมของค่า $Q_{E,max}$ และสมการเออมพ์ริคัลในโปรแกรม Berkeley Madonna จะได้ค่าคงที่ของสมการดังนี้

1. ค่าคงที่ของสมการสำหรับ *W. cibaria*

$$Q_{E,max0} = 0.081 \text{ DSU/ml}$$

$$c_Q = 0.083$$

ดังนั้นสมการความสัมพันธ์ระหว่างอุณหภูมิและค่า $Q_{E,max}$ ที่ได้ของ *W. cibaria* สามารถเขียนได้ดังนี้

$$Q_{E,max} = 0.081 \cdot e^{(-0.083 \cdot T_c)} \quad (38)$$

2. ค่าคงที่ของสมการของ *L. mesenteroides* TISTR473

$$Q_{E,max0} = 0.078 \text{ DSU/ml}$$

$$c_Q = 0.091$$

และสมการความสัมพันธ์ระหว่างอุณหภูมิกับค่า $Q_{E,max}$ ที่ได้ ของ *L. mesenteroides* TISTR473 สามารถเขียนได้ดังนี้

$$Q_{E,max} = 0.078 \cdot e^{(-0.091 \cdot T_C)} \quad (39)$$

จากการทดลองสามารถสรุปแบบจำลองทางคณิตศาสตร์ที่นำไปใช้ในการอธิบายการเปลี่ยนแปลงของการเจริญเติบโต การผลิตเอนไซม์เด็กซ์แทรนซูเครส การใช้ซูโครส การผลิตเด็กซ์แทรนและการผลิตฟรุกโตสที่สัมพันธ์กับอุณหภูมิของ *W. cibaria* ได้ดังนี้

1. แบบจำลองการเจริญเติบโตของเชลล์

$$\frac{dX_R}{dt} = -\mu \cdot X_R$$

$$\frac{dX_S}{dt} = \mu \cdot X_R - k_d \cdot X_S$$

โดยที่

$$\mu = k \left(1 - \frac{X_R}{X_{Ras}} \right)$$

เมื่อ

$$k = 2.34 \times 10^4 \cdot e^{-2.74 \times 10^4 / 8.314 \cdot (T_K)}$$

$$X_{Ras} = 6.25$$

$$k_d = 8.062 \times 10^{-3} \cdot e^{(0.037 \cdot T_C)}$$

และ

X_S คือ ปริมาณของเชลล์ที่เกิดต่อความร้อน (\log_{10} cfu/ml)

X_R คือ ปริมาณของเชลล์ที่ทนต่อความร้อน (\log_{10} cfu/ml)

k คือ อัตราการเจริญเติบโตจำเพาะสูงสุด (h^{-1})

μ คือ อัตราการเจริญเติบโตจำเพาะ (h^{-1})

X_{Ras} คือ ปริมาณสูงสุดของเชลล์ที่ทนต่อความร้อน (\log_{10} cfu/ml)

k_d ค่าคงที่ของอัตราการตาย (h^{-1})

เมื่อแทนค่าที่ได้จากสมการความสัมพันธ์ระหว่างอุณหภูมิกับค่าพารามิเตอร์แต่ละตัวลงในแบบจำลองการเติบโตที่นำมาใช้จะทำให้ได้แบบจำลองทางคณิตศาสตร์ที่นำไปใช้ในการอธิบายการเปลี่ยนแปลงของการเติบโตของ *W. cibaria* ดังนี้

$$\frac{dX_R}{dt} = -2.34 \times 10^4 \cdot e^{-2.74 \times 10^4 / 8.314 \cdot (T_K)} \cdot \left(1 - \frac{X_R}{6.25}\right) \cdot X_R$$

$$\frac{dX_S}{dt} = 2.34 \times 10^4 \cdot e^{-2.74 \times 10^4 / 8.314 \cdot (T_K)} \cdot \left(1 - \frac{X_R}{6.25}\right) \cdot X_R - 8.062 \times 10^{-3} \cdot e^{(0.037 \cdot T_C)} \cdot X_S$$

2. แบบจำลองการผลิตเอนไซม์เด็กซ์แทรนซูเครส

$$\frac{dE}{dt} = Q_E \cdot X_S = Q_{E,max} \cdot \left(1 - \frac{E}{E_{max}}\right) X_S$$

โดยที่

$$E_{max} = 908.33 \cdot e^{(-0.229 \cdot T_C)}$$

$$Q_{E,max} = 0.081 \cdot e^{(-0.083 \cdot T_C)}$$

เมื่อ

X_S คือ ปริมาณของเซลล์ที่ไวต่อความร้อน (\log_{10} cfu/ml)

Q_E คือ อัตราการผลิตเอนไซม์จำเพาะ (DSU/ml/h)

$Q_{E,max}$ คือ อัตราการผลิตเอนไซม์จำเพาะสูงสุด (DSU/ml/h)

E คือ ความเข้มข้นของเอนไซม์ที่ผลิตได้ (DSU/ml)

E_{max} คือ ความเข้มข้นของเอนไซม์ที่ผลิตได้สูงสุด (DSU/ml)

เมื่อแทนค่าที่ได้จากสมการความสัมพันธ์ระหว่างอุณหภูมิกับค่าพารามิเตอร์แต่ละตัวลงในแบบจำลองการผลิตเอนไซม์เด็กซ์แทรนซูเครสที่นำมาใช้จะทำให้ได้แบบจำลองทางคณิตศาสตร์ที่นำไปใช้ในการอธิบายการเปลี่ยนแปลงของการผลิตเอนไซม์เด็กซ์แทรนซูเครสของ *W. cibaria* ดังนี้

$$\frac{dE}{dt} = 0.081 \cdot e^{(-0.083 \cdot T_C)} \cdot \left(1 - \frac{E}{908.33 \cdot e^{(-0.229 \cdot T_C)}}\right) X_S$$

3. แบบจำลองการผลิตเด็กซ์แทรน

$$\frac{dD}{dt} = \frac{M_G - M_W}{M_S} \cdot K_e \cdot E \cdot S$$

โดยที่

$$k_e = \left(0.0075 \cdot (T_c - 1.00) \cdot (1 - e^{(0.10 \cdot (T_c - 45.32))}) \right)^2$$

เมื่อ

D	คือ ความเข้มข้นของเด็กซ์แทรน (mg/ml)
S	คือ ความเข้มข้นของซูโครัส (mg/ml)
E	คือ ความเข้มข้นของเอนไซม์ที่ผลิตได้ (DSU/ml)
M_D, M_S และ M_W	คือ มวลโมเลกุลของเด็กซ์แทรน ซูโครัส และน้ำ ตามลำดับ
K_e	คือ ค่าคงที่ของอัตราการผลิตเอนไซม์ (ml/DSU h)

เมื่อแทนค่าที่ได้จากสมการความสัมพันธ์ระหว่างอุณหภูมิกับค่าพารามิเตอร์แต่ละตัวลงในแบบจำลองการผลิตเด็กซ์แทรนที่นำมาใช้จะทำให้ได้แบบจำลองทางคณิตศาสตร์ที่นำไปใช้ในการอธิบายการเปลี่ยนแปลงของการผลิตเด็กซ์แทรนของ *W. cibaria* ดังนี้

$$\frac{dD}{dt} = \frac{180.16 - 18}{342.3} \cdot \left(0.0075 \cdot (T_c - 1.00) \cdot (1 - e^{(0.10 \cdot (T_c - 45.32))}) \right)^2 \cdot E \cdot S$$

4. แบบจำลองการผลิตฟรุกโตส

$$\frac{dF}{dt} = \frac{M_F}{M_S} \cdot K_e \cdot E \cdot S$$

โดยที่

$$k_e = \left(0.0075 \cdot (T_c - 1.00) \cdot (1 - e^{(0.10 \cdot (T_c - 45.32))}) \right)^2$$

เมื่อ

F	คือ ความเข้มข้นของฟรุกโตส (mg/ml)
S	คือ ความเข้มข้นของซูโครัส (mg/ml)
E	คือ ความเข้มข้นของเอนไซม์ที่ผลิตได้ (DSU/ml)
M_F และ M_S	คือ มวลโมเลกุลของฟรุกโตสและซูโครัส
K_e	ค่าคงที่ของอัตราการผลิตเอนไซม์ (ml/DSU h)

เมื่อแทนค่าที่ได้จากสมการความสัมพันธ์ระหว่างอุณหภูมิกับค่าพารามิเตอร์แต่ละตัวลงในแบบจำลองการผลิตฟрукโตสที่นำมาใช้จะทำให้ได้แบบจำลองทางคณิตศาสตร์ที่นำไปใช้ในการอธิบายการเปลี่ยนแปลงของการผลิตฟruktoสของ *W. cibaria* ดังนี้

$$\frac{dF}{dt} = \frac{180.16}{342.3} \cdot \left(0.0075 \cdot (T_c - 1.00) \cdot (1 - e^{(0.10 \cdot (T_c - 45.32))}) \right)^2 \cdot E \cdot S$$

5. แบบจำลองการใช้ซูโครส

$$\frac{dS}{dt} = - \left(\frac{1}{Y_{XS}} \right) \cdot \frac{dX}{dt} - K_e \cdot E \cdot S$$

โดยที่

$$k_e = \left(0.0075 \cdot (T_c - 1.00) \cdot (1 - e^{(0.10 \cdot (T_c - 45.32))}) \right)^2$$

$$Y_{X/S} = 3.96 \times 10^{-1} \cdot T_c - 7.183$$

เมื่อ

$Y_{X/S}$ คือ ผลได้ของเซลล์จากซูโครส ($\log_{10} \text{cfu}/\text{mg sucrose}$)

E คือ ความเข้มข้นของเอนไซม์ที่ผลิตได้ (DSU/ml)

S คือ ความเข้มข้นของซูโครส (mg/ml/l)

K_e คือ ค่าคงที่ ($\text{ml}/\text{DSU}/\text{h}$)

เมื่อแทนค่าที่ได้จากสมการความสัมพันธ์ระหว่างอุณหภูมิกับค่าพารามิเตอร์แต่ละตัวลงในแบบจำลองการใช้ซูโครสที่นำมาใช้จะทำให้ได้แบบจำลองทางคณิตศาสตร์ที่นำไปใช้ในการอธิบายการเปลี่ยนแปลงของการใช้ซูโครสของ *W. cibaria* ดังนี้

$$\frac{dS}{dt} = - \left(\frac{1}{3.96 \times 10^{-1} \cdot T_c - 7.183} \right) \cdot \frac{dX}{dt} - \left(0.0075 \cdot (T_c - 1.00) \cdot (1 - e^{(0.10 \cdot (T_c - 45.32))}) \right)^2 \cdot E \cdot S$$

สำหรับ *L. mesenteroides* TISTR473 สามารถสรุปแบบจำลองทางคณิตศาสตร์ที่นำไปใช้ในการอธิบายการเจริญเติบโต การผลิตเอนไซม์เด็กซ์แทรนซูเครส การเรซูเครส การผลิตเด็กซ์แทรนและการผลิตฟรุกโตสที่สัมพันธ์กับอุณหภูมิได้ดังนี้

1. แบบจำลองการเจริญเติบโตของเชลล์

$$\frac{dX_R}{dt} = -\mu \cdot X_R$$

$$\frac{dX_S}{dt} = \mu \cdot X_R - k_d \cdot X_S$$

โดยที่

เมื่อ

$$\mu = k \left(1 - \frac{X_R}{X_{Ras}} \right)$$

$$k = 2.22 \times 10^6 \cdot e^{-3.86 \times 10^4 / 8.314 \cdot (T_K)}$$

$$X_{Ras} = 6.26$$

$$k_d = 7.343 \times 10^{-4} \cdot e^{(0.121 \cdot T_C)}$$

และ

X_S คือ ปริมาณของเชลล์ที่ไวต่อความร้อน (\log_{10} cfu/ml)

X_R คือ ปริมาณของเชลล์ที่ทนต่อความร้อน (\log_{10} cfu/ml)

k คือ อัตราการเจริญเติบโตจำเพาะสูงสุด (h^{-1})

μ คือ อัตราการเจริญเติบโตจำเพาะ (h^{-1})

X_{Ras} คือ ปริมาณสูงสุดของเชลล์ที่ทนต่อความร้อน (\log_{10} cfu/ml)

k_d ค่าคงที่ของอัตราการตาย (h^{-1})



เมื่อแทนค่าที่ได้จากสมการความสัมพันธ์ระหว่างอุณหภูมิกับค่าพารามิเตอร์แต่ละตัวลงในแบบจำลองการเติบโตที่นำมาใช้จะทำให้ได้แบบจำลองทางคณิตศาสตร์ที่นำไปใช้ในการอธิบายการเปลี่ยนแปลงของการเติบโตของ *L. mesenteroides* TISTR473 ดังนี้

$$\frac{dX_R}{dt} = -2.22 \times 10^6 \cdot e^{-3.86 \times 10^4 / 8.314 \cdot (T_K)} \cdot \left(1 - \frac{X_R}{6.26} \right) \cdot X_R$$

$$\frac{dX_S}{dt} = 2.22 \times 10^6 \cdot e^{-3.86 \times 10^4 / 8.314 \cdot T_K} \cdot \left(1 - \frac{X_R}{6.26}\right) \cdot X_R - 7.343 \times 10^{-4} \cdot e^{(0.121 \cdot T_C)} \cdot X_S$$

2. แบบจำลองการผลิตเอนไซม์เด็กซ์แทรนซูเครส

$$\frac{dE}{dt} = Q_E \cdot X = Q_{E,max} \cdot \left(1 - \frac{E}{E_{max}}\right) X_S$$

โดยที่

$$E_{max} = 75.68 \cdot e^{(-0.102 \cdot T_C)}$$

$$Q_{E,max} = 0.078 \cdot e^{(-0.091 \cdot T_C)}$$

เมื่อ

X_S	คือ ปริมาณของเซลล์ที่ไวต่อความร้อน (\log_{10} cfu/ml)
Q_E	คือ อัตราการผลิตเอนไซม์จำเพาะ (DSU/ml/h)
$Q_{E,max}$	คือ อัตราการผลิตเอนไซม์จำเพาะสูงสุด (DSU/ml/h)
E	คือ ความเข้มข้นของเอนไซม์ที่ผลิตได้ (DSU/ml)
E_{max}	คือ ความเข้มข้นของเอนไซม์ที่ผลิตได้สูงสุด (DSU/ml)

เมื่อแทนค่าที่ได้จากสมการความสัมพันธ์ระหว่างอุณหภูมิกับค่าพารามิเตอร์แต่ละตัวลงในแบบจำลองการผลิตเอนไซม์เด็กซ์แทรนซูเครสที่นำมาใช้จะทำให้ได้แบบจำลองทางคณิตศาสตร์ที่นำไปใช้ในการอธิบายการเปลี่ยนแปลงของการผลิตเอนไซม์เด็กซ์แทรนซูเครสของ *L. mesenteroides* TISTR 473 ดังนี้

$$\frac{dE}{dt} = 0.078 \cdot e^{(-0.091 \cdot T_C)} \cdot \left(1 - \frac{E}{75.68 \cdot e^{(-0.102 \cdot T_C)}}\right) X_S$$

3. แบบจำลองการผลิตเด็กซ์แทรน

$$\frac{dD}{dt} = \frac{M_G - M_W}{M_S} \cdot K_e \cdot E \cdot S$$

โดยที่

$$k_e = \left(0.0068 \cdot (T_C - 1.00) \cdot \left(1 - e^{(0.292 \cdot (T_C - 42.13))}\right)\right)^2$$

เมื่อ

D

คือ ความเข้มข้นของเด็กซ์แทรน (mg/ml)

S	คือ ความเข้มข้นของซูโคโรส (mg/ml)
E	คือ ความเข้มข้นของเอนไซม์ที่ผลิตได้ (DSU/ml)
M_D, M_S และ M_W	คือ มวลโมเลกุลของเด็กซ์แทรน ซูโคโรส และน้ำ ตามลำดับ
K_e	คือ ค่าคงที่ของอัตราการผลิตเอนไซม์ (ml/DSU h)

เมื่อแทนค่าที่ได้จากการความสัมพันธ์ระหว่างอุณหภูมิกับค่าพารามิเตอร์แต่ละตัวลงในแบบจำลองการผลิตเด็กซ์แทรนที่นำมาใช้ทำให้ได้แบบจำลองทางคณิตศาสตร์ที่นำไปใช้ในการอธิบายการเปลี่ยนแปลงของการผลิตเด็กซ์แทรนของ *L. mesenteroides* TISTR473 ดังนี้

$$\frac{dD}{dt} = \frac{180.16 - 18}{342.3} \cdot \left(0.0068 \cdot (T_C - 1.00) \cdot (1 - e^{(0.292 \cdot (T_C - 42.13))}) \right)^2 \cdot E \cdot S$$

4. แบบจำลองการผลิตฟรุกโตส

$$\frac{dF}{dt} = \frac{M_F}{M_S} \cdot K_e \cdot E \cdot S$$

โดยที่

เมื่อ

F	คือ ความเข้มข้นของฟรุกโตส (mg/ml)
S	คือ ความเข้มข้นของซูโคโรส (mg/ml)
E	คือ ความเข้มข้นของเอนไซม์ที่ผลิตได้ (DSU/ml)
M_F และ M_S	คือ มวลโมเลกุลของฟรุกโตสและซูโคโรส
K_e	คือ ค่าคงที่ของอัตราการผลิตเอนไซม์ (ml/DSU h)

เมื่อแทนค่าที่ได้จากการความสัมพันธ์ระหว่างอุณหภูมิกับค่าพารามิเตอร์แต่ละตัวลงในแบบจำลองการผลิตฟรุกโตสที่นำมาใช้ทำให้ได้แบบจำลองทางคณิตศาสตร์ที่นำไปใช้ในการอธิบายการเปลี่ยนแปลงของการผลิตฟรุกโตสของ *L. mesenteroides* TISTR473 ดังนี้

$$\frac{dF}{dt} = \frac{180.16}{342.3} \cdot \left(0.0068 \cdot (T_C - 1.00) \cdot (1 - e^{(0.292 \cdot (T_C - 42.13))}) \right)^2 \cdot E \cdot S$$

5. แบบจำลองการใช้ซูโครัส

$$\frac{dS}{dt} = - \left(\frac{1}{Y_{XS}} \right) \cdot \frac{dX}{dt} - K_e \cdot E \cdot S$$

โดยที่

$$k_e = \left(0.0068 \cdot (T_c - 1.00) \cdot (1 - e^{(0.292 \cdot (T_c - 42.13))}) \right)^2$$

$$Y_{X/S} = -2.878 \times 10^{-1} \cdot T_c + 13.55$$

เมื่อ

$Y_{X/S}$	คือ ผลได้ของเชลล์จากซูโครัส (\log_{10} cfu/mg sucrose)
E	คือ ความเข้มข้นของเอนไซม์ที่ผลิตได้ (DSU/ml)
S	คือ ความเข้มข้นของซูโครัส (mg/ml)
K_e	ค่าคงที่ (ml/DSU/h)

เมื่อแทนค่าที่ได้จากสมการความสัมพันธ์ระหว่างอุณหภูมิกับค่าพารามิเตอร์แต่ละตัวลงในแบบจำลองการใช้ซูโครัสที่นำมาใช้จะทำให้ได้แบบจำลองทางคณิตศาสตร์ที่นำไปใช้ในการอธิบายการเปลี่ยนแปลงของการใช้ซูโครัสของ *L. mesenteroides* TISTR473 ดังนี้

$$\frac{dS}{dt} = - \left(\frac{1}{-2.878 \times 10^{-1} \cdot T_c + 13.55} \right) \cdot \frac{dX}{dt} - \left(0.0068 \cdot (T_c - 1.00) \cdot (1 - e^{(0.292 \cdot (T_c - 42.13))}) \right)^2 \cdot E \cdot S$$

การทวนสอบความถูกต้องของแบบจำลองทางคณิตศาสตร์

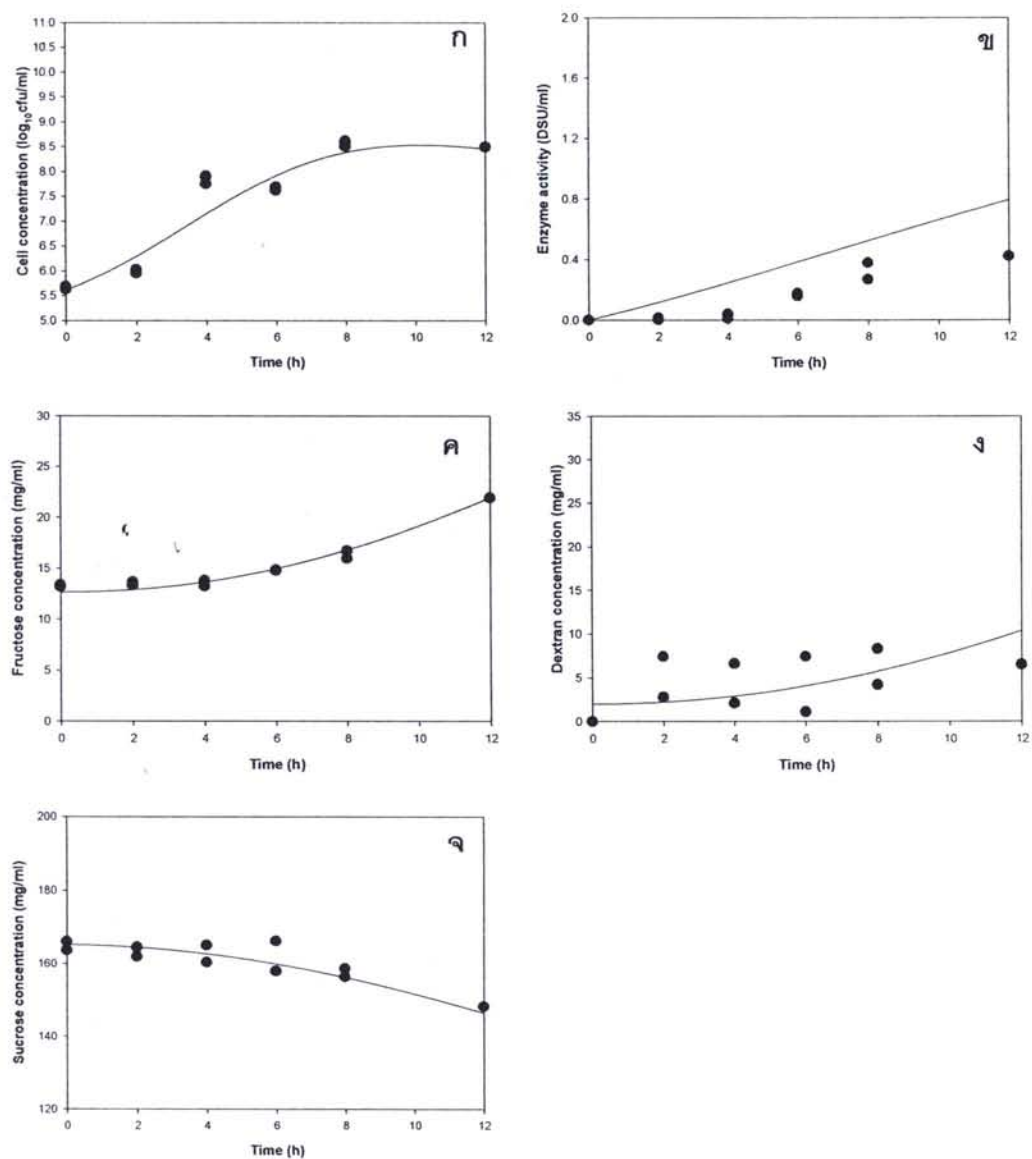
การทวนสอบความถูกต้อง (Validation) ของแบบจำลองเปรียบเทียบกับข้อมูลที่ได้จาก การทดลองจริง โดยมีส่วนราชการเพาะเลี้ยง W. cibaria ในน้ำอ้อยที่อุณหภูมิ 25 องศาเซลเซียส ปรับพีเอชให้อยู่ในช่วง 5.0 – 5.5 มีปริมาณเชือดตันประมาณ 5.0 – 6.0 \log_{10} cfu/ml จากภาพ 47 แสดงการเปรียบเทียบของข้อมูลที่ได้จากแบบจำลองเปรียบเทียบกับข้อมูลที่ได้จากการทดลองจริง ของ W. cibaria ที่อุณหภูมิ 25 องศาเซลเซียส เมื่อพิจารณาการเปรียบเทียบแบบจำลองการ เจริญเติบโตของจุลทรรศน์กับข้อมูลจริง (ภาพ 47ก) จะเห็นได้ว่าแบบจำลองสามารถอธิบายการเปลี่ยนแปลงของการเจริญเติบโตของ W. cibaria ได้ดี โดยมีการเบี่ยงเบนจากข้อมูลจริงเพียงเล็กน้อย สามารถพิจารณาได้จากค่า Weighted sum of squared errors (WSSE) ซึ่งเป็นค่าที่บ่งบอกถึงความคลาดเคลื่อนระหว่างค่าที่ได้จากการทดลองกับค่าที่ได้จากการทำนายจากแบบจำลอง โดยจากการเปรียบเทียบแบบจำลองการเจริญเติบโตของจุลทรรศน์กับข้อมูลจริงพบว่ามีค่า WSSE เท่ากับ 0.02

การเปรียบเทียบแบบจำลองการผลิตเอนไซม์เด็กซ์แทرنซูเครสกับข้อมูลจริง (ภาพ 47خ) พบว่า แบบจำลองที่ได้ไม่สามารถจับจุดสำคัญของการเปลี่ยนแปลงการผลิตเอนไซม์เด็กซ์แทرنซูเครสได้ โดยค่าที่ได้จากการทำนายจากแบบจำลองจะมีค่ามากกว่าค่าจากการทดลองจริง (Overestimate) อย่างไรก็ตาม แบบจำลองที่ได้สามารถอธิบายแนวโน้มการเปลี่ยนแปลงของข้อมูลจริงได้ โดยมีแนวโน้มการผลิตเอนไซม์เด็กซ์แทرنซูเครสมากขึ้นเมื่อเวลาในการเพาะเลี้ยงนานขึ้น ซึ่งการเปรียบเทียบแบบจำลองการผลิตเอนไซม์เด็กซ์แทرنซูเครสกับข้อมูลจริงมีค่า WSSE เท่ากับ 3.33

การเปรียบเทียบแบบจำลองการผลิตฟรอกโตสกับข้อมูลจริง (ภาพ 47ค) พบว่า แบบจำลองที่ได้สามารถอธิบายการเปลี่ยนแปลงของข้อมูลจริงได้เป็นอย่างดี โดยจากการเปรียบเทียบแบบจำลองการผลิตฟรอกโตสกับข้อมูลจริงพบว่ามีค่า WSSE เท่ากับ 0.006

การเปรียบเทียบแบบจำลองการผลิตเด็กซ์แทรนกับข้อมูลจริง (ภาพ 17ง) พบว่า แบบจำลองที่ได้สามารถอธิบายการเปลี่ยนแปลงของข้อมูลจริงได้ดี โดยการเปรียบเทียบแบบจำลองการผลิตเด็กซ์แทรนที่ได้กับข้อมูลจริงจะมีค่า WSSE เท่ากับ 1.38

การเปรียบเทียบแบบจำลองการใช้ซูโคโรสกับข้อมูลจริง (ภาพ 47จ) พบว่า แบบจำลองที่ได้สามารถอธิบายการเปลี่ยนแปลงของข้อมูลจริงได้ดี โดยการเปรียบเทียบแบบจำลองการใช้ซูโคโรสที่ได้กับข้อมูลจริงพบว่าจะมีค่า WSSE เท่ากับ 0.003 ซึ่งแสดงว่าค่าที่ได้จากการแบบจำลอง เปี่ยบเบนไปจากค่าที่ได้จากการทดลองจริงเพียงเล็กน้อย



ภาพ 47 การเปรียบเทียบค่าที่ได้จากแบบจำลองกับค่าที่ได้จากการทดลองของ *W. cibaria* ที่อุณหภูมิ 25°C ; (ก) การเติบโตของจุลินทรีย์; (ຂ) การผลิตเอนไซม์เด็กซ์แทรนชูเครส; (ຄ) การผลิตฟรุกโตส; (ງ) การผลิตเด็กซ์แทรน; (ດ) การใช้ชูโครส

สำหรับการทวนสอบความถูกต้อง (Validation) ของแบบจำลองเปรียบเทียบกับข้อมูลที่ได้จากการทดลองจริง โดยมีสภากาражาระเพาะเลี้ยง *L. mesenteroides* TISTR473 ในน้ำอ้อยที่อุณหภูมิ 25 องศาเซลเซียส ปรับพีเอชให้อยู่ในช่วง 5.0 – 5.5 มีปริมาณเชื้อตั้งต้นประมาณ 5.0 – 6.0 log₁₀ cfu/ml โดยเมื่อพิจารณาการเปรียบเทียบแบบจำลองการเติบโตของจุลินทรีย์กับข้อมูลจริง (ภาพ 48ก) พบว่าแบบจำลองที่ได้สามารถอธิบายการเปลี่ยนแปลงการเติบโตของ *L. mesenteroides* TISTR473 ได้ดี ดังนั้นค่าที่ได้จากแบบจำลองจึงเบี่ยงเบนจากข้อมูลจริงเพียงเล็กน้อย โดยการเปรียบเทียบแบบจำลองการเจริญเติบโตของจุลินทรีย์กับข้อมูลจริงจะมีค่า WSSE เท่ากับ 0.01

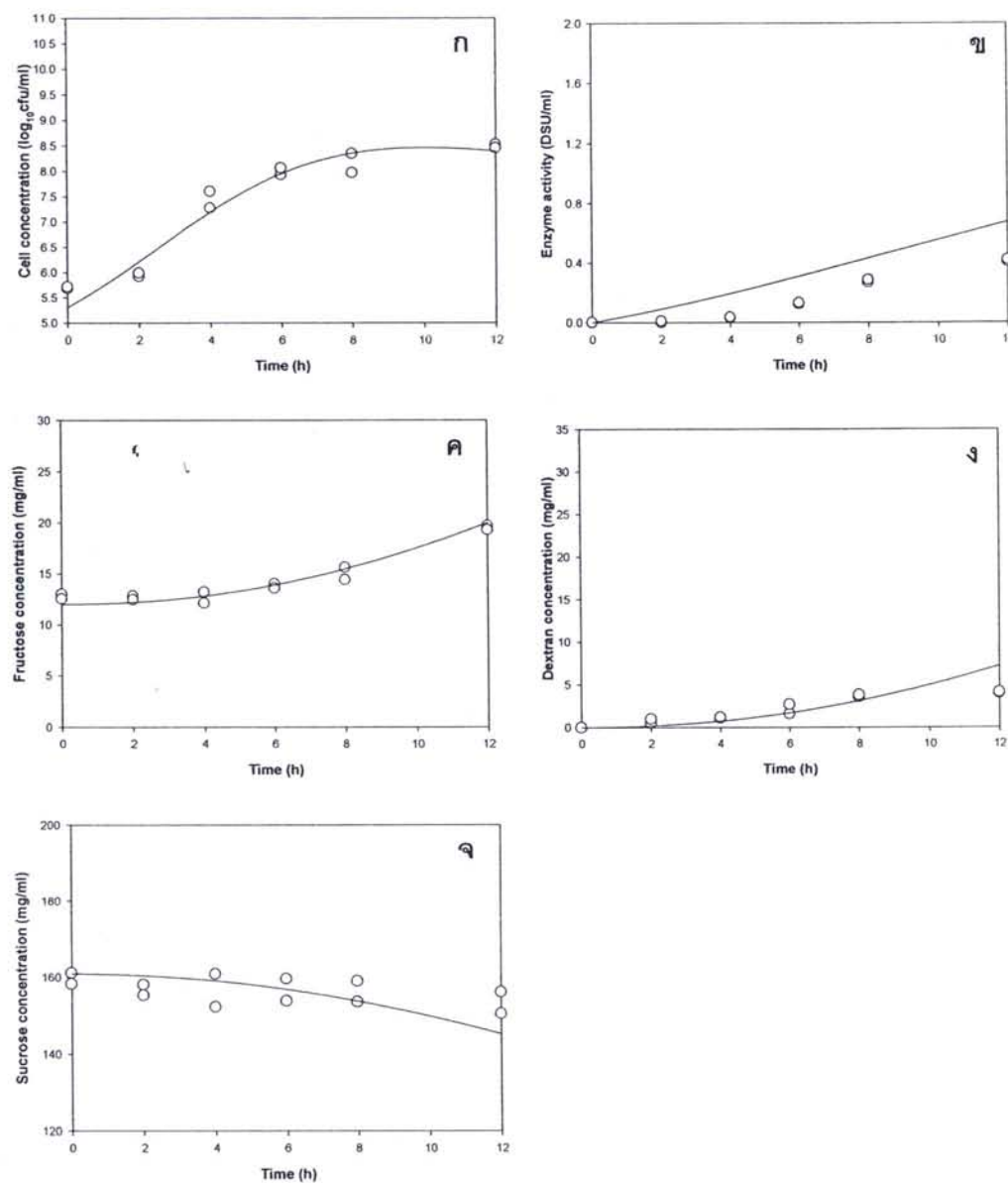
การเปรียบเทียบแบบจำลองการผลิตเอนไซม์เด็กซ์แทรนซูเครสกับข้อมูลจริง (ภาพ 48خ) พบว่า แบบจำลองที่ได้สามารถอธิบายแนวโน้มของข้อมูลจริงได้ โดยมีแนวโน้มการผลิตเอนไซม์เด็กซ์แทรนซูเครสมากขึ้นเมื่อเวลาในการเพาะเลี้ยงนานขึ้น ซึ่งค่าที่ได้จากแบบจำลองจะมีค่ามากกว่าค่าที่ได้จากการทดลองจริง โดยการเปรียบเทียบแบบจำลองการผลิตเอนไซม์เด็กซ์แทรนซูเครสกับข้อมูลจริงมีค่า WSSE เท่ากับ 1.80

การเปรียบเทียบแบบจำลองการผลิตฟรอกโดยสกัดข้อมูลจริง (ภาพ 48ค) พบว่า แบบจำลองที่ได้สามารถอธิบายการเปลี่ยนแปลงของข้อมูลจริงได้เป็นอย่างดี โดยจากการเปรียบเทียบแบบจำลองการผลิตฟรอกโดยสกัดข้อมูลจริงพบว่ามีค่า WSSE เท่ากับ 0.01

การเปรียบเทียบแบบจำลองการผลิตเด็กซ์แทรนกับข้อมูลจริง (ภาพ 18ง) พบว่า แบบจำลองที่ได้สามารถอธิบายการเปลี่ยนแปลงของข้อมูลจริงได้ดี โดยการเปรียบเทียบแบบจำลองการผลิตเด็กซ์แทรนที่ได้กับข้อมูลจริงจะมีค่า WSSE เท่ากับ 1.35

การเปรียบเทียบแบบจำลองการใช้ซูโครสกับข้อมูลจริง (ภาพ 48จ) พบว่า แบบจำลองที่ได้สามารถอธิบายการเปลี่ยนแปลงของข้อมูลจริงได้ โดยการเปรียบเทียบแบบจำลองการใช้ซูโครสที่ได้กับข้อมูลจริงพบว่าจะมีค่า WSSE เท่ากับ 0.01

จากการทดลองสามารถสรุปได้ว่าแบบจำลองที่ได้สามารถอธิบายการเปลี่ยนแปลงของการเติบโต การผลิตฟรอกโดยสกัด การผลิตเด็กซ์แทรน และการใช้ซูโครสของจุลินทรีย์ทั้งสองสายพันธุ์ได้ ในขณะที่แบบจำลองการผลิตเอนไซม์เด็กซ์แทรนซูเครสที่ได้สามารถอธิบายแนวโน้มการเปลี่ยนแปลงของข้อมูลจริงของจุลินทรีย์ทั้งสองสายพันธุ์ได้ โดยมีแนวโน้มการผลิตเอนไซม์เด็กซ์แทรนซูเครสมากขึ้นเมื่อเวลาในการเพาะเลี้ยงนานขึ้น

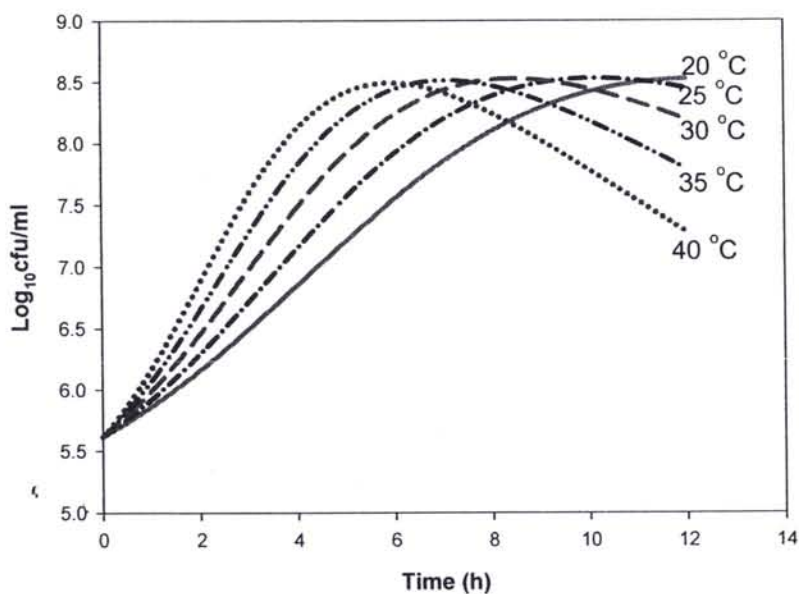


ภาพ 48 การเปรียบเทียบค่าที่ได้จากการทดลองกับค่าที่ได้จากการทดลองของ *L. mesenteroides* TISTR473 ที่ อุณหภูมิ 25 °C; (ก) การเติบโตของจุลินทรี; (ข) การผลิตเอนไซม์เด็กซ์แทรนซูครอส; (ค) การผลิตฟรุกโตส; (ง) การผลิตเด็กซ์แทรน; (จ) การใช้ซูครอส

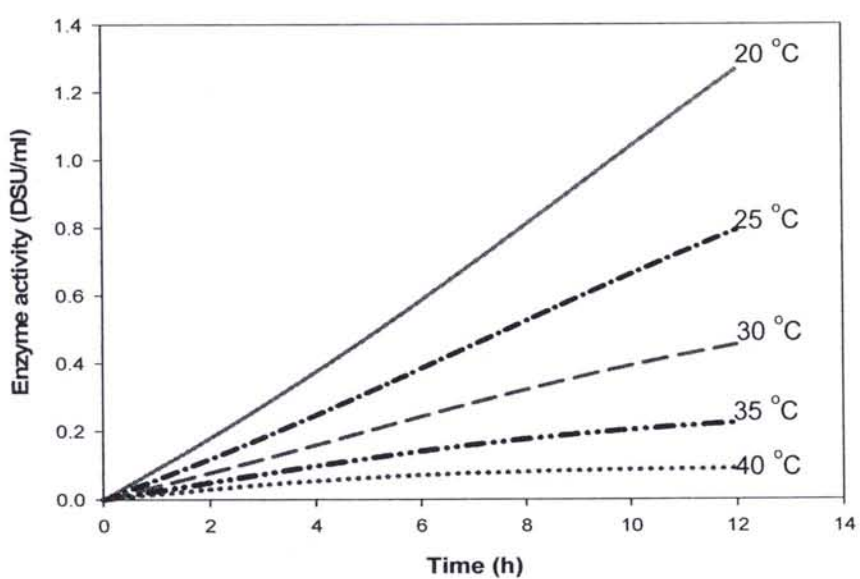
การประยุกใช้แบบจำลองการทำนายการเติบโต การผลิตเอนไซม์ การผลิตฟรุกโตส การผลิตเด็กซ์แทرنและการใช้ชูโครส

จากการนำแบบจำลองที่ได้มาประยุกต์ใช้เพื่อการทำนายการเติบโต การผลิตเอนไซม์ เด็กซ์แทرنชูเครส การผลิตฟรุกโตส การผลิตเด็กซ์แทرنและการใช้ชูโครสของ *W. cibaria* ที่พบปนเปื้อนในกระบวนการผลิตน้ำตาลทรายและมีความสามารถในการผลิตเด็กซ์แทرنได้สูง จากภาพ 49 แสดงการทำนายการเติบโตของ *W. cibaria* ที่อุณหภูมิ 20 25 30 35 และ 40 องศาเซลเซียส เมื่อมีการปนเปื้อนของ *W. cibaria* เริ่มต้นประมาณ $5.60 \log_{10} \text{cfu/ml}$ พบร่วมที่ทุกอุณหภูมิมีปริมาณการปนเปื้อนของจุลินทรีย์สูงสุดไม่แตกต่างกันคือประมาณ $8.50 \log_{10} \text{cfu/ml}$ โดยที่อุณหภูมิต่ำระยะเวลาที่ปริมาณจุลินทรีย์เติบโตถึง $8.50 \log_{10} \text{cfu/ml}$ จะมากกว่าที่อุณหภูมิสูงสังเกตได้จากที่อุณหภูมิ 40 องศาเซลเซียส มีปริมาณจุลินทรีย์เติบโตถึง $8.50 \log_{10} \text{cfu/ml}$ ในชั่วโมงที่ 5 ในขณะที่ 20 องศาเซลเซียส มีปริมาณจุลินทรีย์เติบโตถึง $8.50 \log_{10} \text{cfu/ml}$ ในชั่วโมงที่ 11 อย่างไรก็ตาม ที่อุณหภูมิสูงปริมาณจุลินทรีย์จะลดลงเร็วกว่าที่อุณหภูมิต่ำ สังเกตได้จากที่อุณหภูมิ 40 องศาเซลเซียส ปริมาณจุลินทรีย์ปนเปื้อนจะเริ่มลดลงหลังจากชั่วโมงที่ 6 โดยในชั่วโมงที่ 12 มีปริมาณจุลินทรีย์ปนเปื้อนเหลือรอดประมาณ $7.30 \log_{10} \text{cfu/ml}$ ในขณะที่ 20 องศาเซลเซียส ในชั่วโมงที่ 12 ยังคงมีปริมาณจุลินทรีย์คงที่ประมาณ $8.50 \log_{10} \text{cfu/ml}$ ซึ่งยังไม่มีการลดลงของปริมาณจุลินทรีย์ปนเปื้อน จากผลการทำนายการเติบโตของ *W. cibaria* จากแบบจำลองที่ได้แสดงให้เห็นว่าที่อุณหภูมิต่ำจุลินทรีย์สามารถเติบโตได้ดีโดยใช้ระยะเวลาในการเติบโตนานกว่าที่อุณหภูมิสูง โดยเมื่อเวลาผ่านไป 12 ชั่วโมง จุลินทรีย์ยังคงสามารถเติบโตได้ดีทำให้มีการปนเปื้อนในปริมาณสูง ในขณะที่อุณหภูมิสูงจุลินทรีย์สามารถเติบโตได้ดีในช่วงระยะเวลาสั้น โดยเมื่อเวลาผ่านไป 12 ชั่วโมง ที่อุณหภูมิ 40 องศาเซลเซียส มีปริมาณจุลินทรีย์ปนเปื้อนเหลือน้อยที่สุด

เมื่อพิจารณาด้านการผลิตเอนไซม์เด็กซ์แทรนชูเครสจากการทำนายจากแบบจำลองที่ได้ (ภาพ 50) พบร่วมที่อุณหภูมิ 20 องศาเซลเซียส มีการผลิตเอนไซม์เด็กซ์แทรนชูเครสสูงสุด โดยพิจารณาจากการมีระดับกิจกรรมเอนไซม์เด็กซ์แทรนชูเครสสูงสุด โดยระดับกิจกรรมเอนไซม์เด็กซ์แทรนชูเครสมีแนวโน้าสูงขึ้นอย่างต่อเนื่องที่อุณหภูมิ 20 องศาเซลเซียส และในชั่วโมงที่ 12 ระดับกิจกรรมเอนไซม์เด็กซ์แทรนชูเครสสูงถึง 1.3 DSU/ml ในขณะที่เมื่ออุณหภูมิสูงขึ้นระดับกิจกรรมเอนไซม์เด็กซ์แทรนชูเครสมีแนวโน้ลลดลง และที่ 40 องศาเซลเซียส มีระดับกิจกรรมเอนไซม์เด็กซ์แทรนชูเครสเพียงประมาณ 0.09 DSU/ml



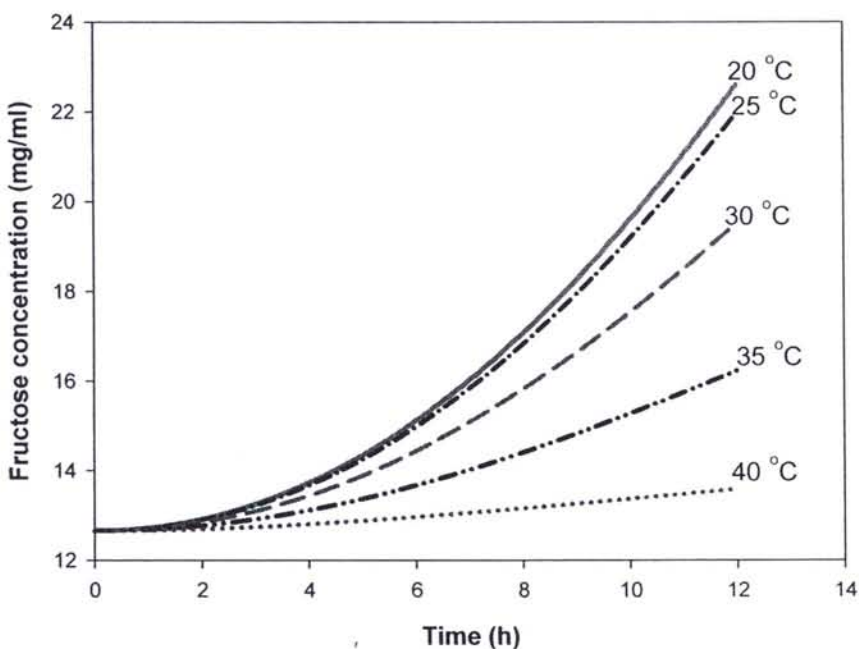
ภาพ 49 การทำนายการเติบโตของ *W. cibaria* ที่ปั่นเปื้อนในกระบวนการผลิตน้ำตาลทรายที่อุณหภูมิต่าง ๆ จากแบบจำลองที่ได้



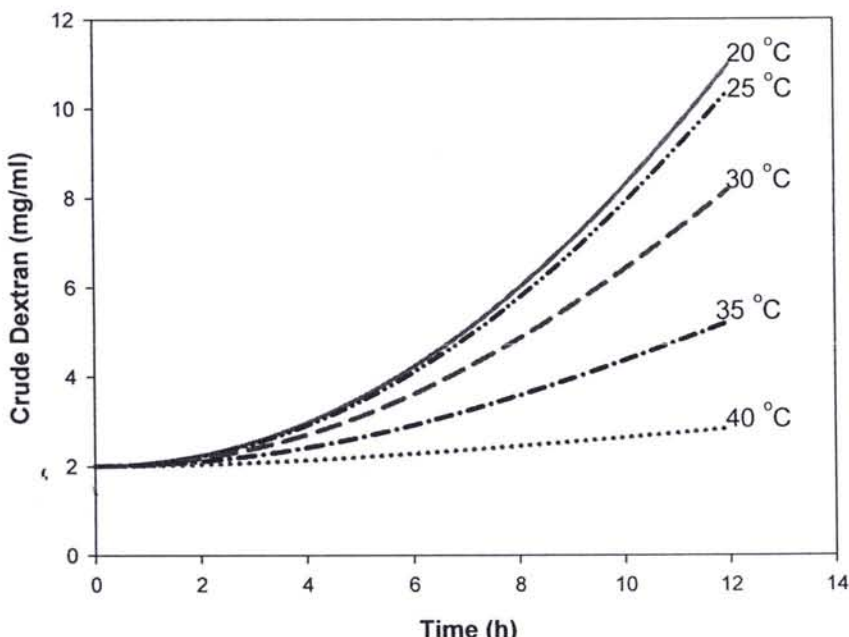
ภาพ 50 การทำนายการผลิตเอนไซม์เด็กซ์แทรนซูเครสของ *W. cibaria* ที่ปั่นเปื้อนในกระบวนการผลิตน้ำตาลทรายที่อุณหภูมิต่าง ๆ จากแบบจำลองที่ได้

เมื่อพิจารณด้านการผลิตฟรุกโตสจากการทำนายของแบบจำลองที่ได้ (ภาพ 51) โดยมีปริมาณฟรุกโตสตั้งต้นประมาณ 12.70 mg/ml พบว่า ที่อุณหภูมิ 20 องศาเซลเซียส มีการผลิตฟรุกโตสสูงสุด โดยในชั่วโมงที่ 12 มีปริมาณฟรุกโตสที่เกิดขึ้นสูงถึง 22.59 mg/ml ซึ่งมีปริมาณฟรุกโตสเพิ่มจากปริมาณฟรุกโตสตั้งต้นประมาณ 9.89 mg/ml และเมื่ออุณหภูมิสูงขึ้นการทำนายผลิตฟรุกโตสจะต่ำลง โดยที่อุณหภูมิ 40 องศาเซลเซียส มีปริมาณฟรุกโตสที่เกิดขึ้นต่ำที่สุด ซึ่งในชั่วโมงที่ 12 มีปริมาณฟรุกโตสเกิดขึ้นเพียง 13.53 mg/ml โดยมีปริมาณฟรุกโตสเพิ่มจากปริมาณฟรุกโตสตั้งต้นเพียง 0.89 mg/ml

เมื่อพิจารณด้านการผลิตเด็กซ์แทรนจากการทำนายของแบบจำลองที่ได้ (ภาพ 52) โดยมีปริมาณเด็กซ์แทรนตั้งต้นประมาณ 2.05 mg/ml พบว่า ที่อุณหภูมิ 20 องศาเซลเซียส มีการผลิตเด็กซ์แทรนสูงสุด โดยในชั่วโมงที่ 12 มีปริมาณเด็กซ์แทรนประมาณ 11.07 mg/ml ซึ่งมีปริมาณเด็กซ์แทรนเพิ่มจากปริมาณตั้งต้นประมาณ 9.02 mg/ml และเมื่ออุณหภูมิสูงขึ้นการทำนายผลิตเด็กซ์แทรนมีแนวโน้มต่ำลง โดยที่อุณหภูมิ 40 องศาเซลเซียส มีการผลิตเด็กซ์แทรนต่ำที่สุด โดยชั่วโมงที่ 12 มีปริมาณเด็กซ์แทรนเกิดขึ้นเพียง 2.87 mg/ml โดยมีปริมาณเด็กซ์แทรนเพิ่มจากปริมาณเด็กซ์แทรนตั้งต้นเพียง 0.82 mg/ml



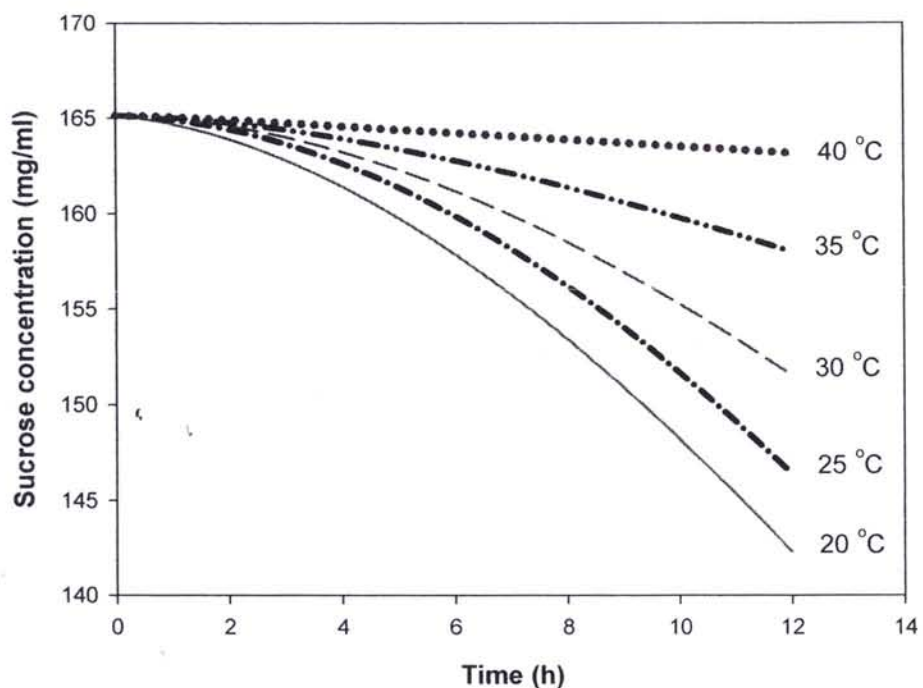
ภาพ 51 การทำนายการทำผลิตฟรุกโตสของ *W. cibaria* ที่ปั่นเปื้อนในกระบวนการผลิตน้ำตาลทรายที่อุณหภูมิต่างๆ จากแบบจำลองที่ได้



ภาพ 52 การทำนายการผลิตเด็กซ์แทرنของ *W. cibaria* ที่ปั่นเปื้อนในกระบวนการผลิตน้ำตาลทรายที่อุณหภูมิต่าง ๆ จากแบบจำลองที่ได้

เมื่อพิจารณาด้านการใช้ชูโครสจากการทำนายของแบบจำลองที่ได้ (ภาพ 53) โดยมีปริมาณชูโครสตั้งต้นประมาณ 165.33 mg/ml พบว่า ที่อุณหภูมิ 20 องศาเซลเซียส มีการใช้ชูโครสสูงที่สุด โดยมีปริมาณชูโครสลดต่ำลงมากที่สุดและมีแนวโน้มลดลงมากขึ้นอย่างต่อเนื่อง ซึ่งในช่วงไม่งที่ 12 มีปริมาณชูโครสเหลือเพียงประมาณ 142.32 mg/ml นั้นคือมีการสูญเสียชูโครสประมาณ 23.01 mg/ml การทำนายการสูญเสียชูโครสจากแบบจำลองที่ได้แสดงให้เห็นว่ามีการสูญเสียชูโครสสูงที่สุดที่อุณหภูมิ 20 องศาเซลเซียส รองลงมาคือที่ 25 30 35 และ 40 องศาเซลเซียส ซึ่งการสูญเสียชูโครสจะลดต่ำลงเมื่ออุณหภูมิเพิ่มขึ้น และที่อุณหภูมิ 40 องศาเซลเซียส มีการสูญเสียชูโครสต่ำที่สุด โดยในช่วงไม่งที่ 12 มีปริมาณชูโครสเหลือประมาณ 163.39 mg/ml นั้นคือมีการสูญเสียชูโครสเพียง 1.94 mg/ml

จากการทำนายของแบบจำลองที่ได้สามารถสรุปได้ว่าที่อุณหภูมิ 40 องศาเซลเซียส สามารถยับยั้งการเติบโต การผลิตเอนไซม์เด็กซ์แทรนชูโครส การผลิตเด็กซ์แทรนและฟรูก็โตสได้ที่สุด และที่อุณหภูมิ 40 องศาเซลเซียส สามารถลดการสูญเสียชูโครสเนื่องจาก *W. cibaria* ที่ปั่นเปื้อนในกระบวนการผลิตน้ำตาลทรายได้ดีที่สุด



ภาพ 53 การทำงานการใช้ซูโคเรสของ *W. cibaria* ที่ปั่นเปื้อนในกระบวนการผลิตน้ำตาล รายที่อุณหภูมิต่าง ๆ จากแบบจำลองที่ได้